

太陽大気の輻射磁気流体 シミュレーション

飯島 陽久

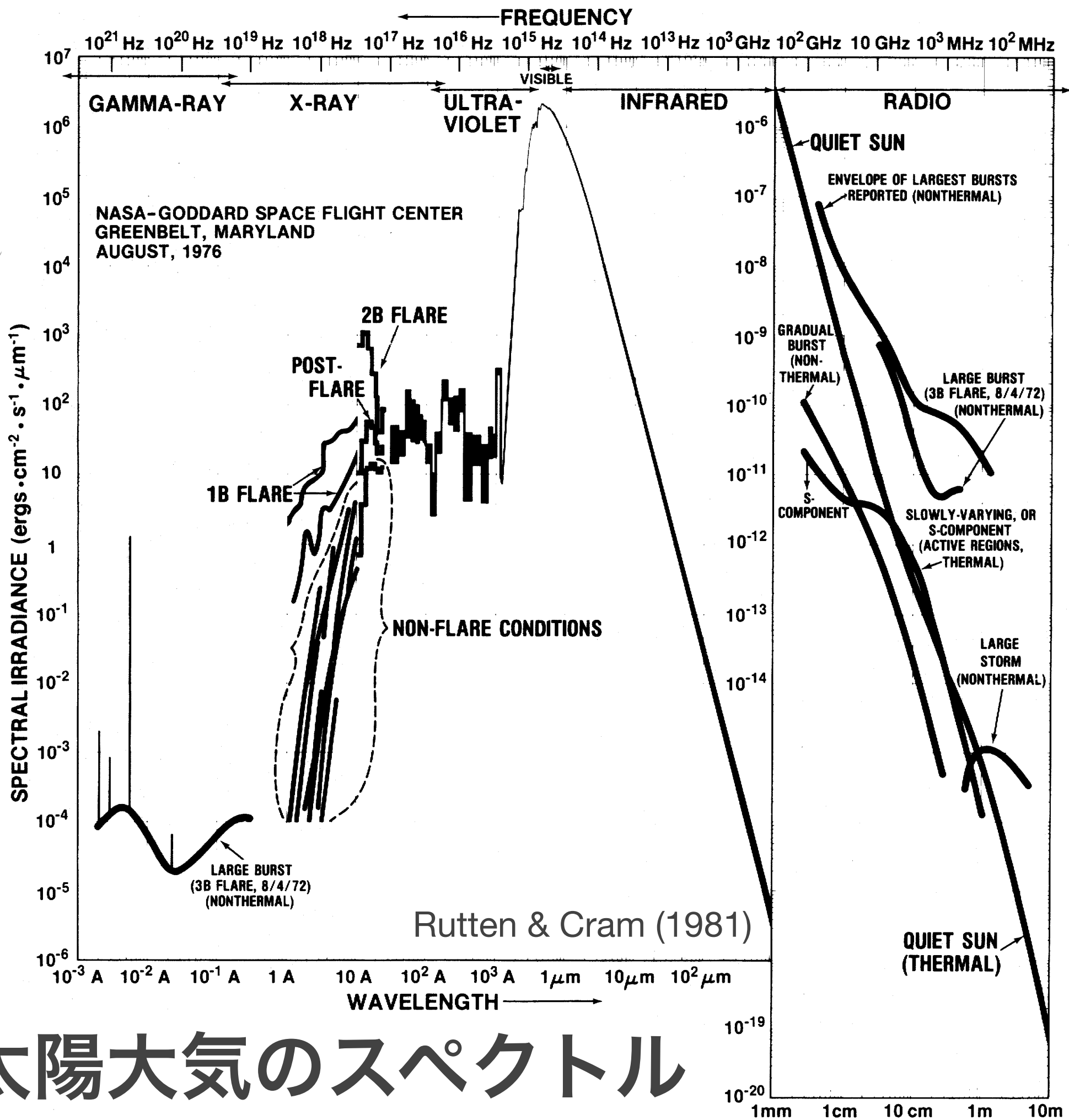
名古屋大学 宇宙地球環境研究所

アウトライン

- 太陽の大気構造を知るには
- フォワードモデリングによるアプローチ
- 今後の研究課題

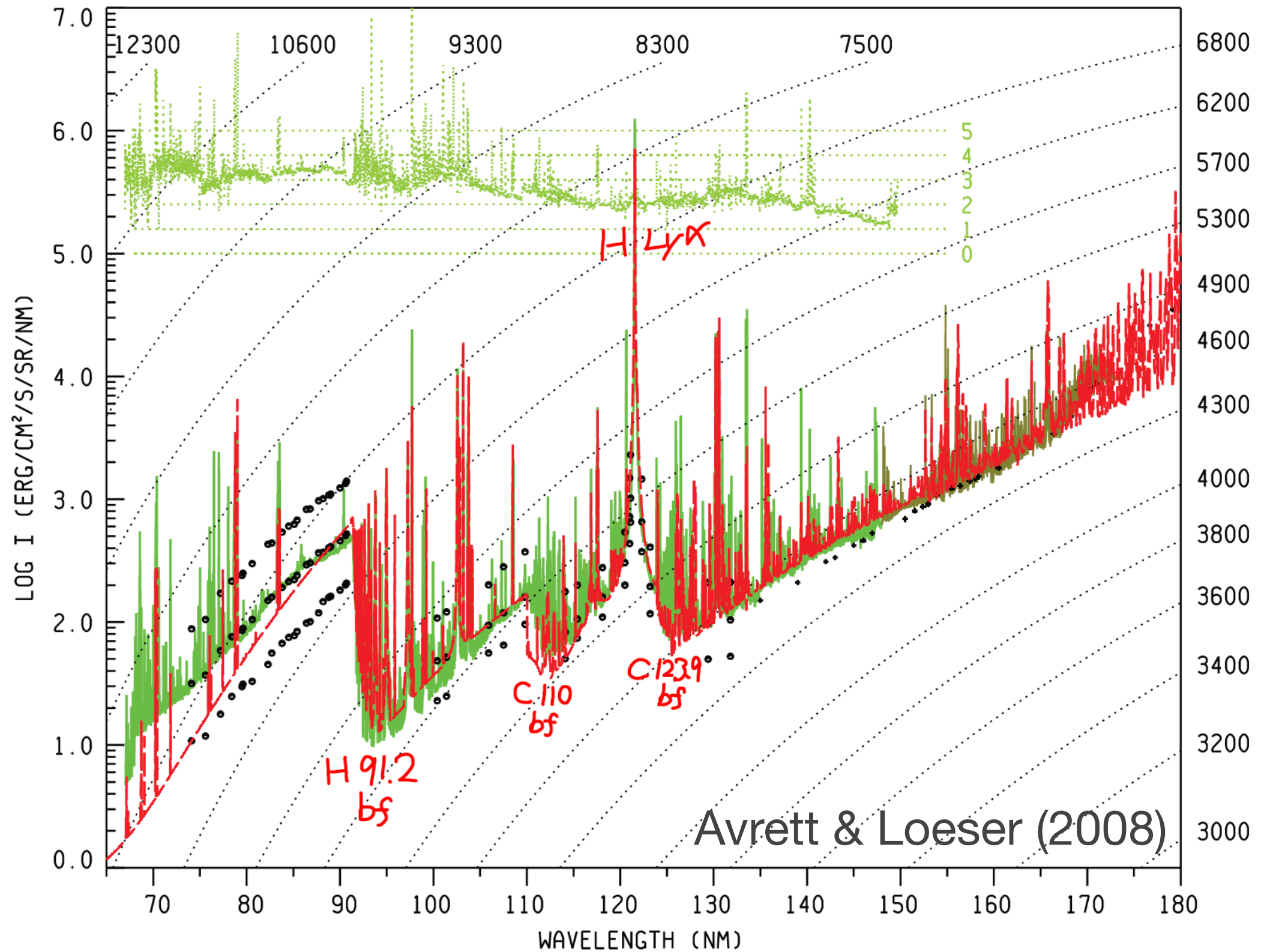
アウトライン

- 太陽の大気構造を知るには
- フォワードモデリングによるアプローチ
- 今後の研究課題



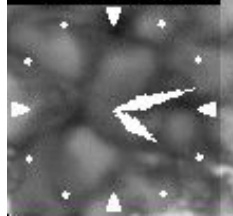
太陽大気のスเปクトル

紫外線のスペクトル例

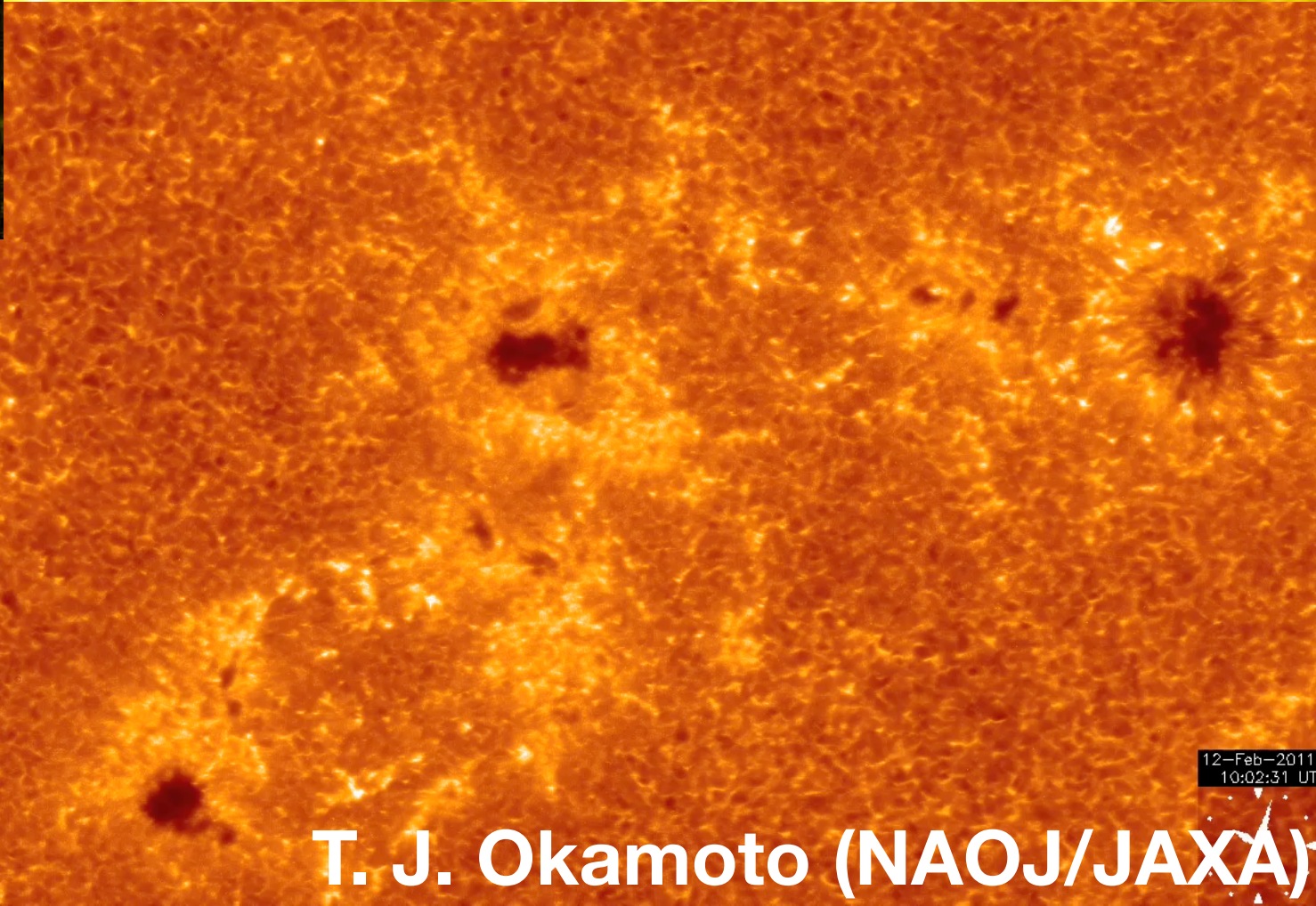
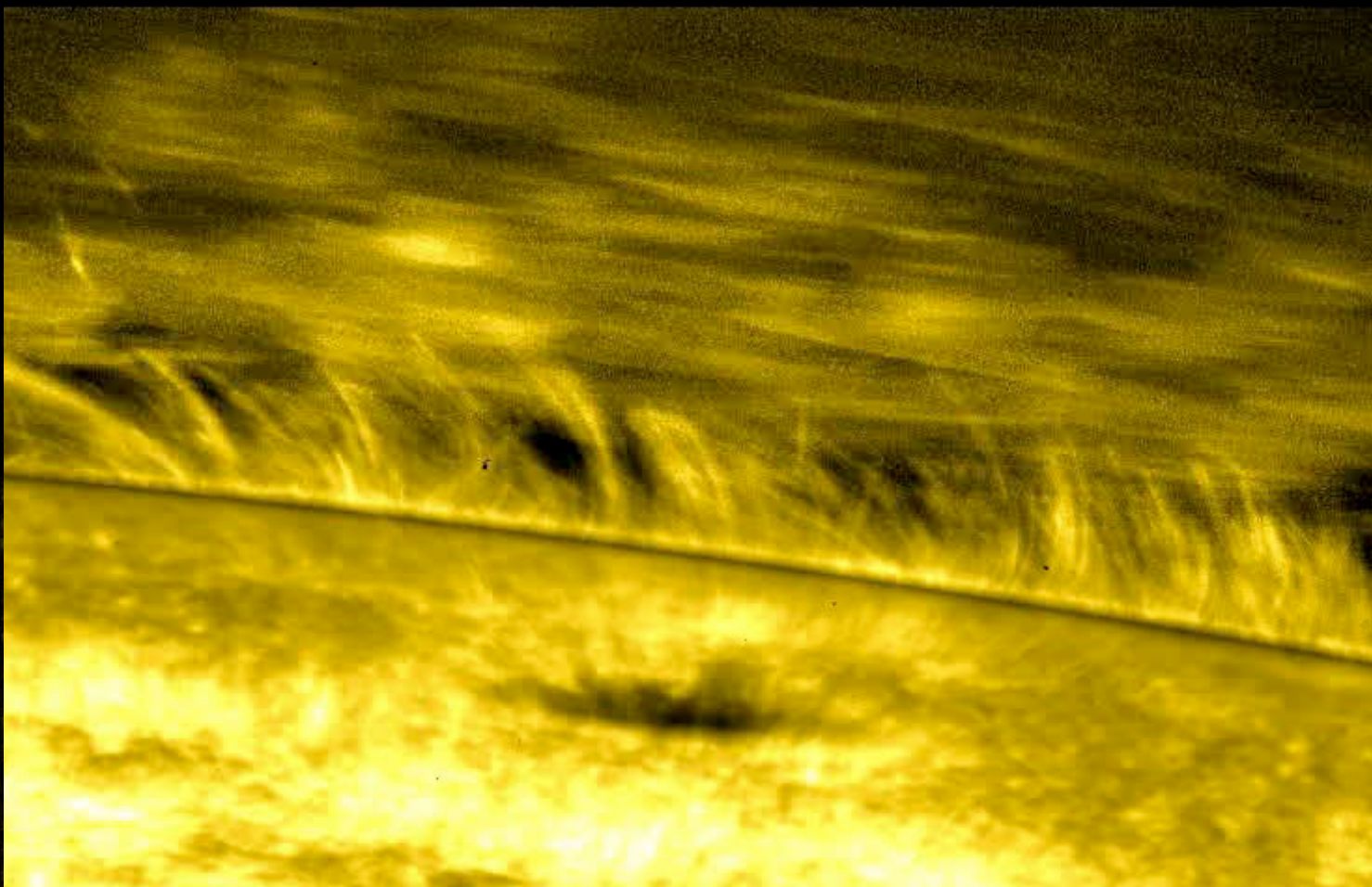
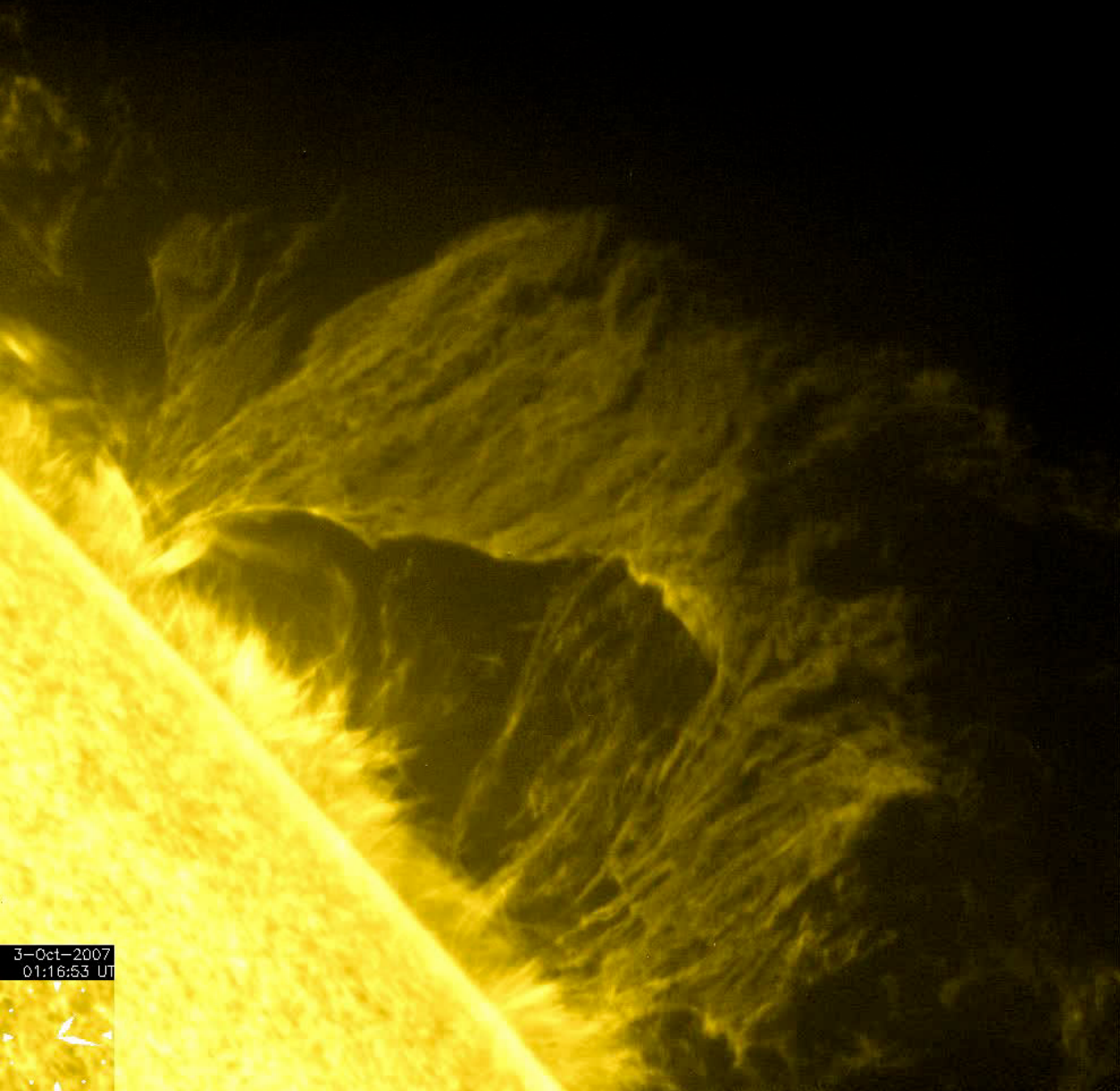


Hinode SOT Optical Photosphere

30-Dec-2006
04:12:29 UT



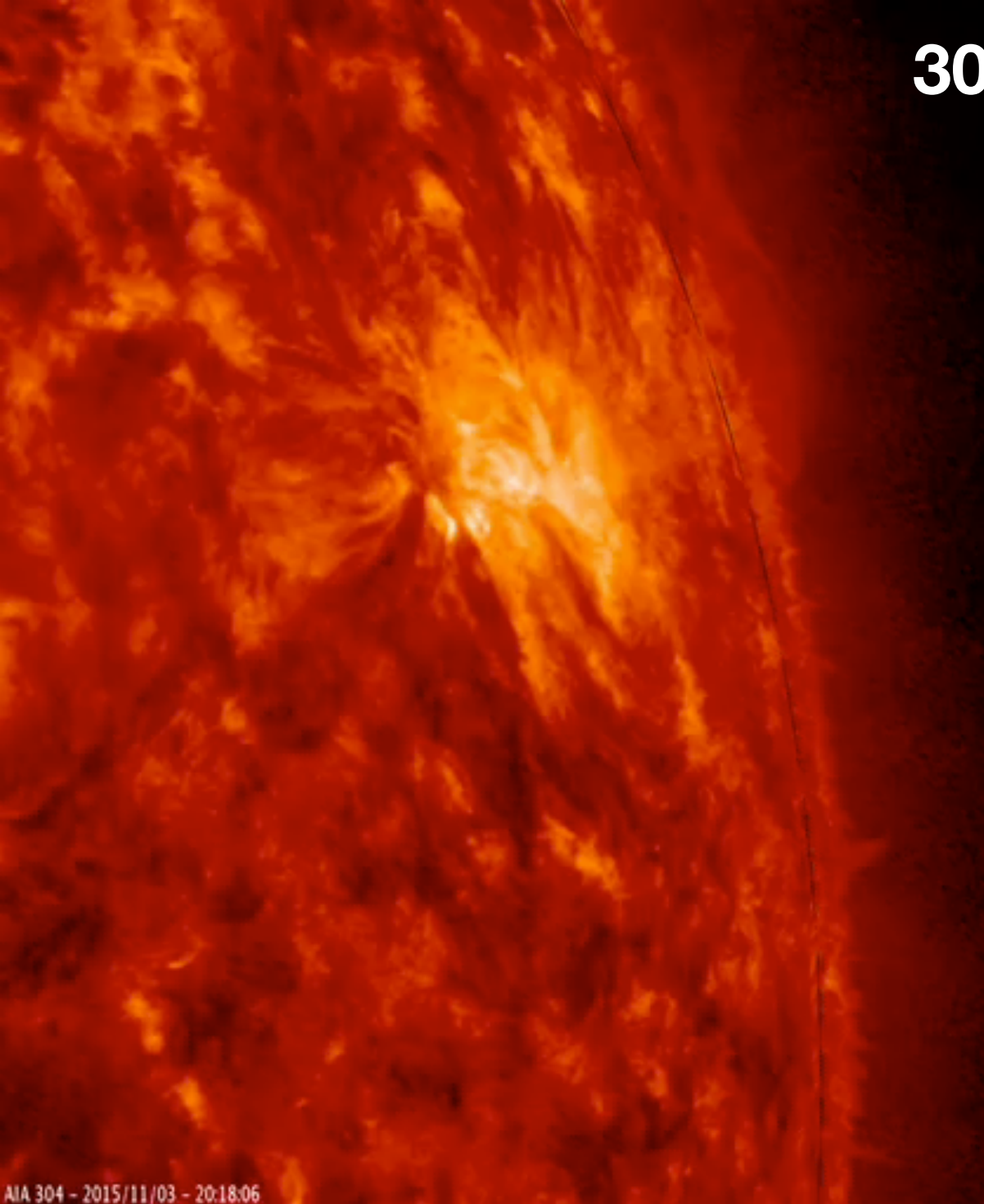
T. J. Okamoto (NAOJ/JAXA)



**Hinode SOT
Ca II H filter
Optical (~ 395 nm)
Photo.-Chrom.**

T. J. Okamoto (NAOJ/JAXA)

12-Feb-2011
10:02:31 UT

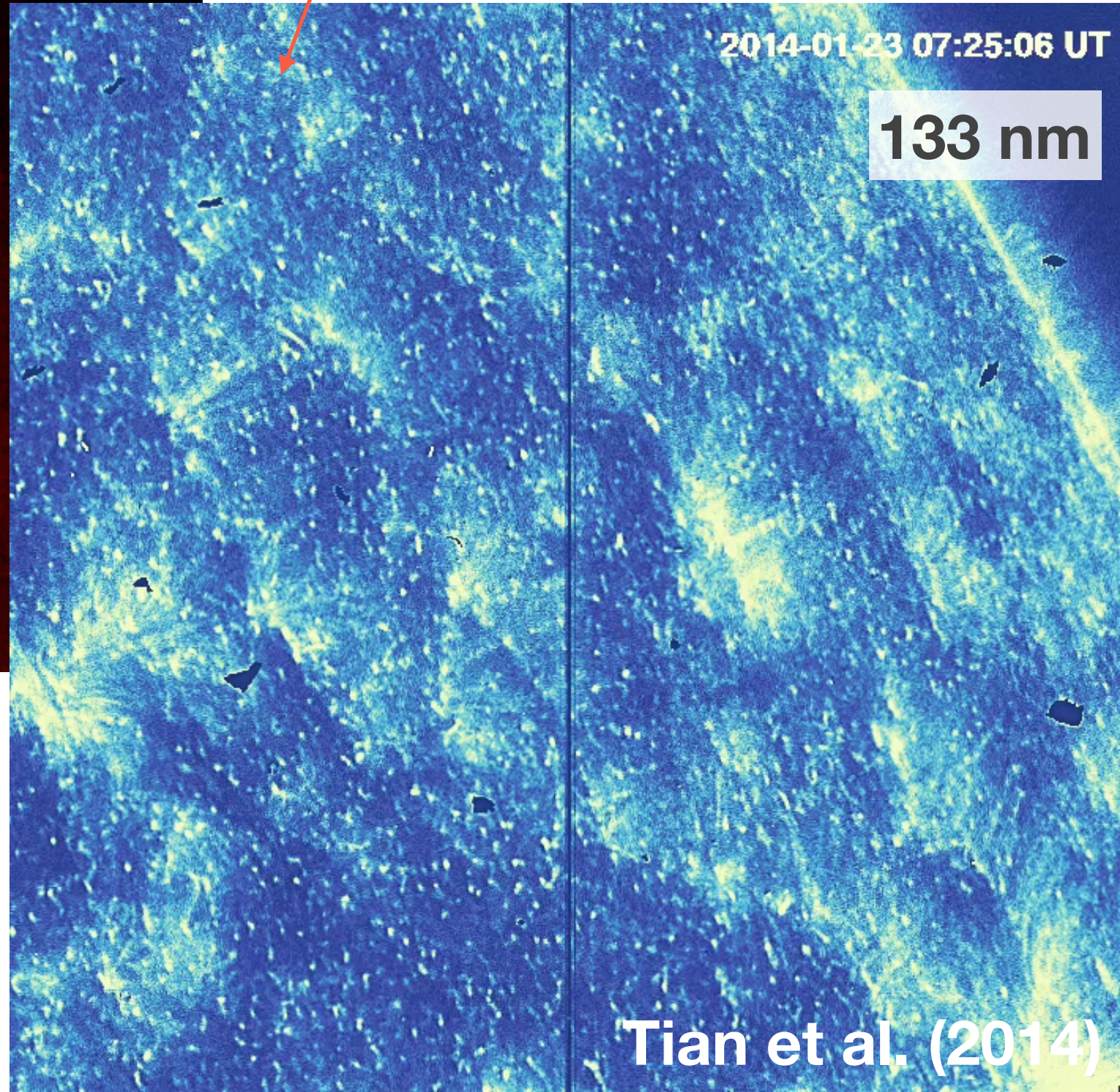


30.4 nm

**Supergranulation
Magnetic network**

**IRIS/Si IV SJ
FUV (~133 nm)
Chrom. ~ TR**

AIA 304 - 2015/11/03 - 20:18:06

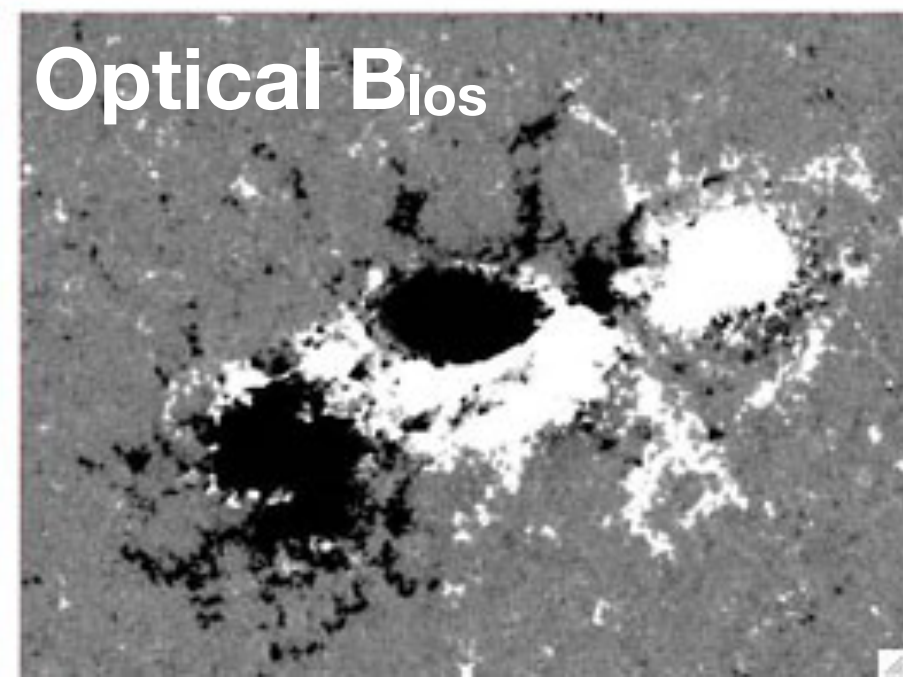
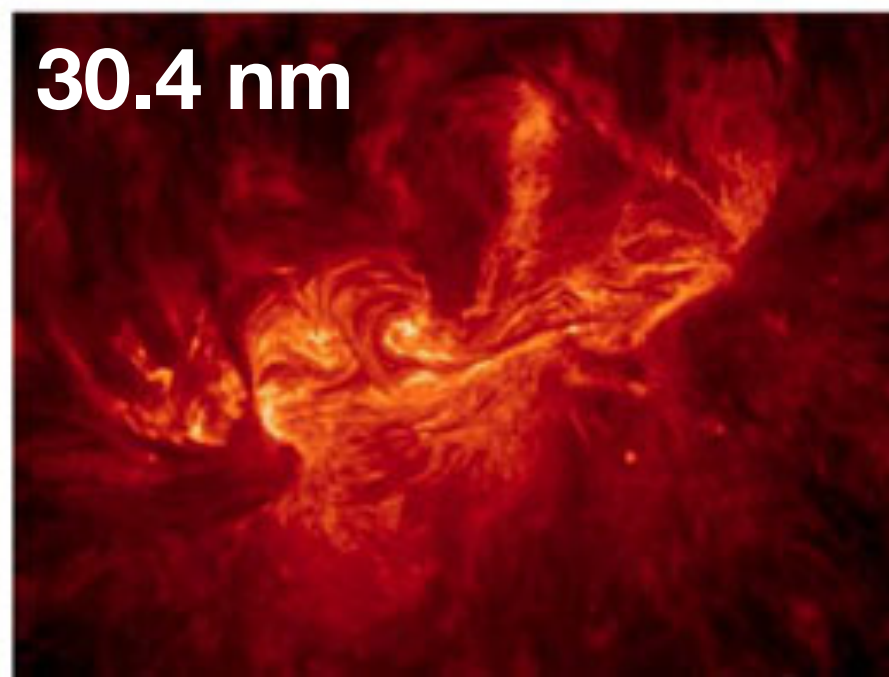
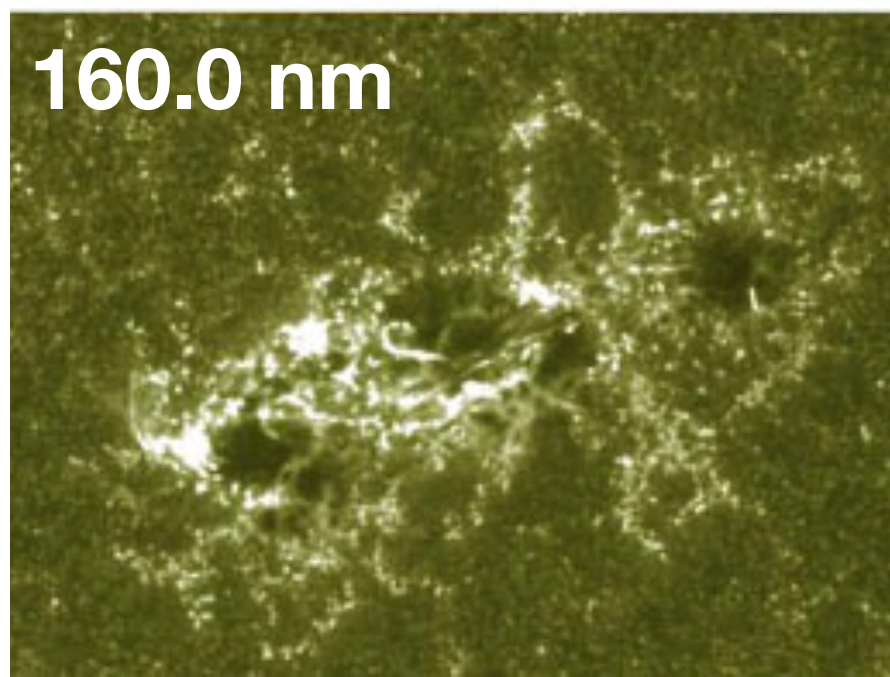
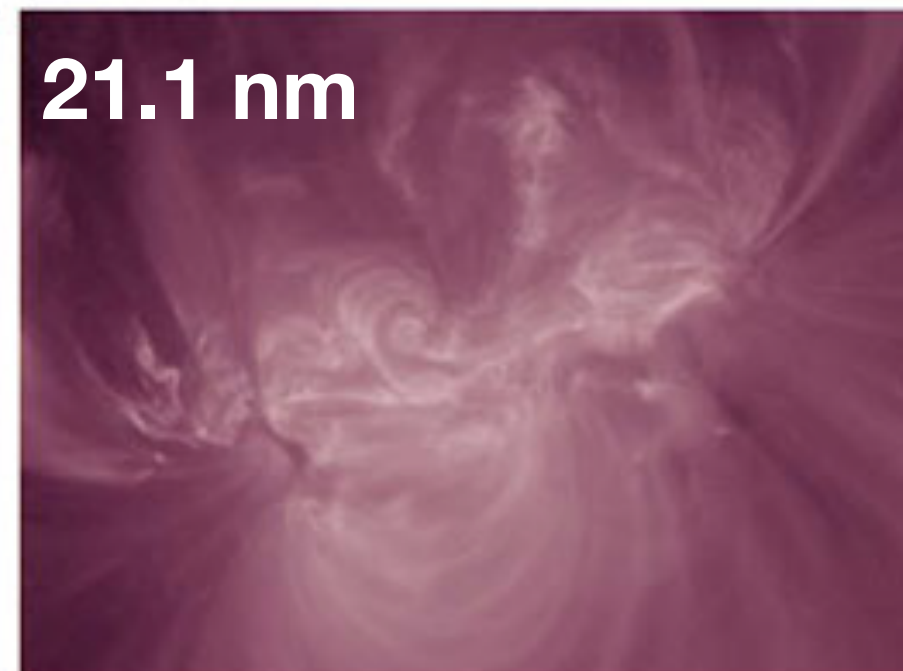
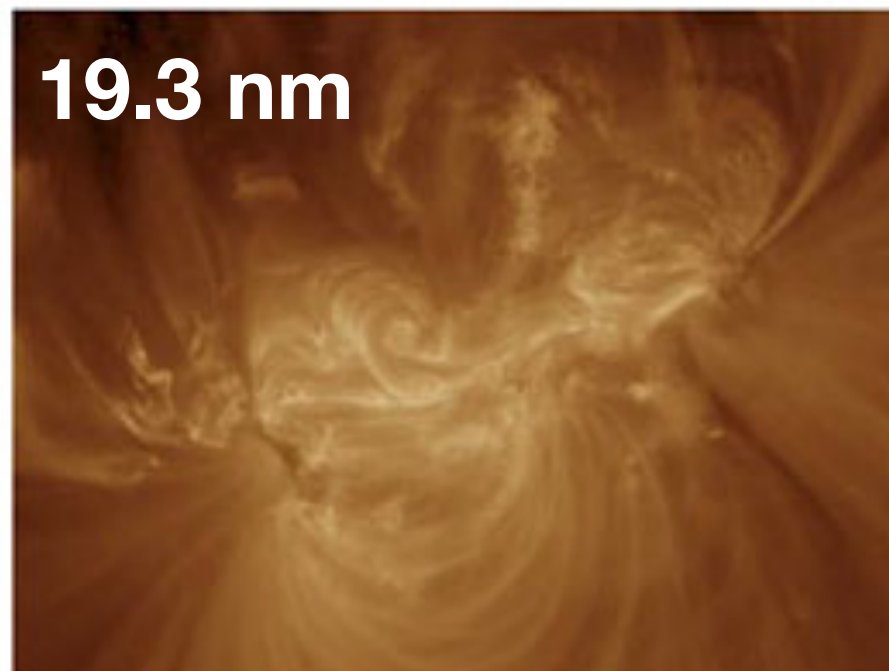
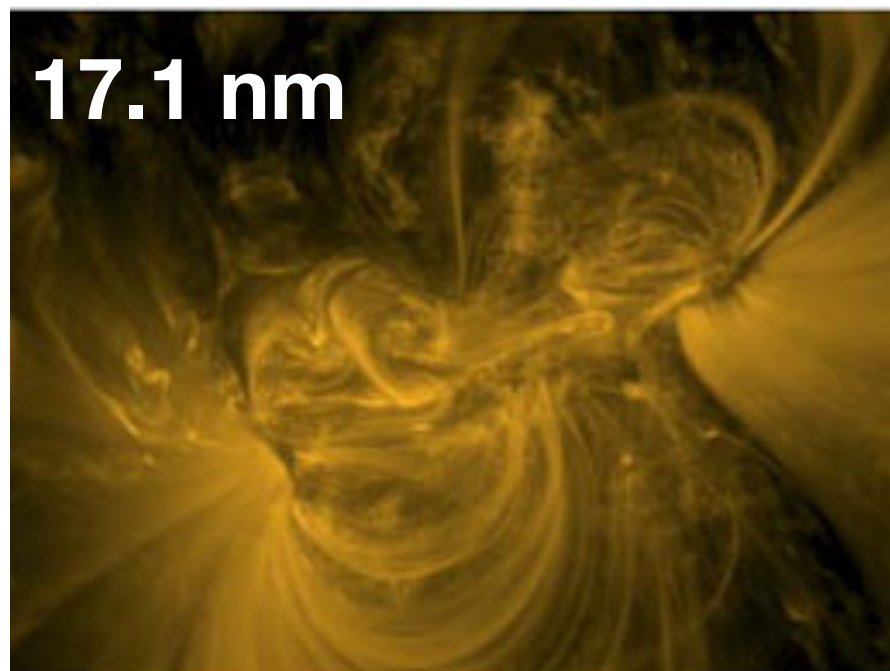
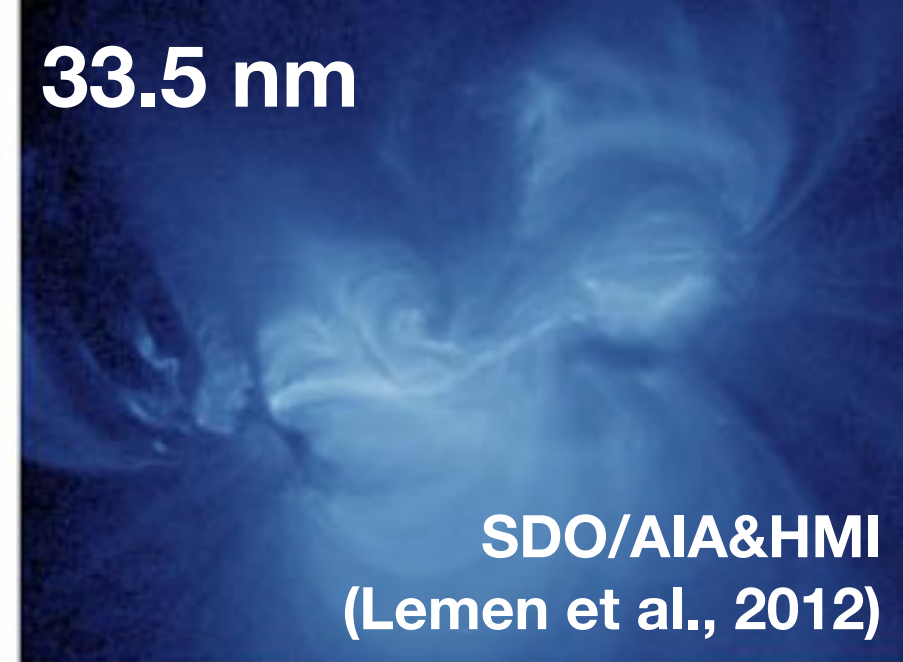
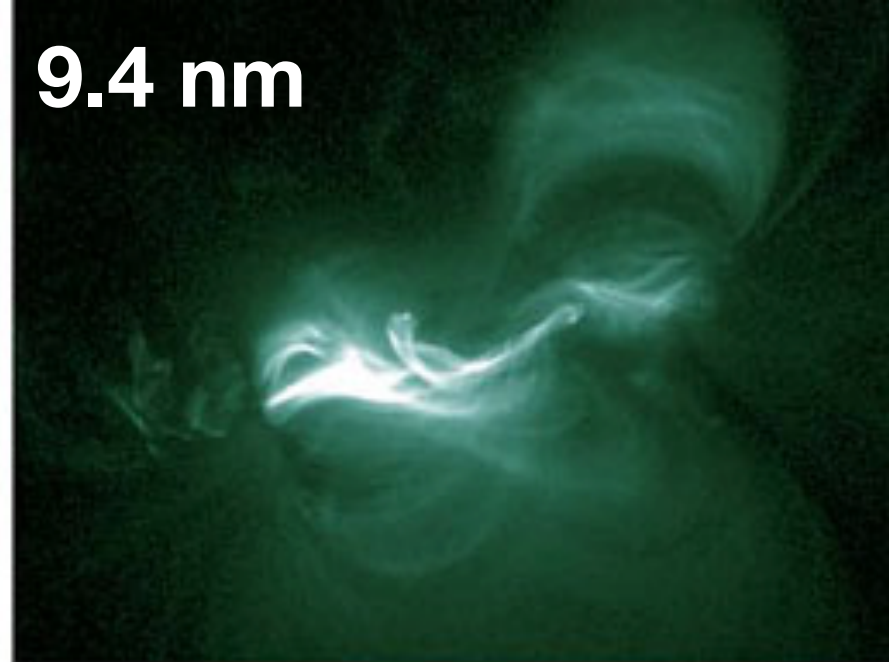
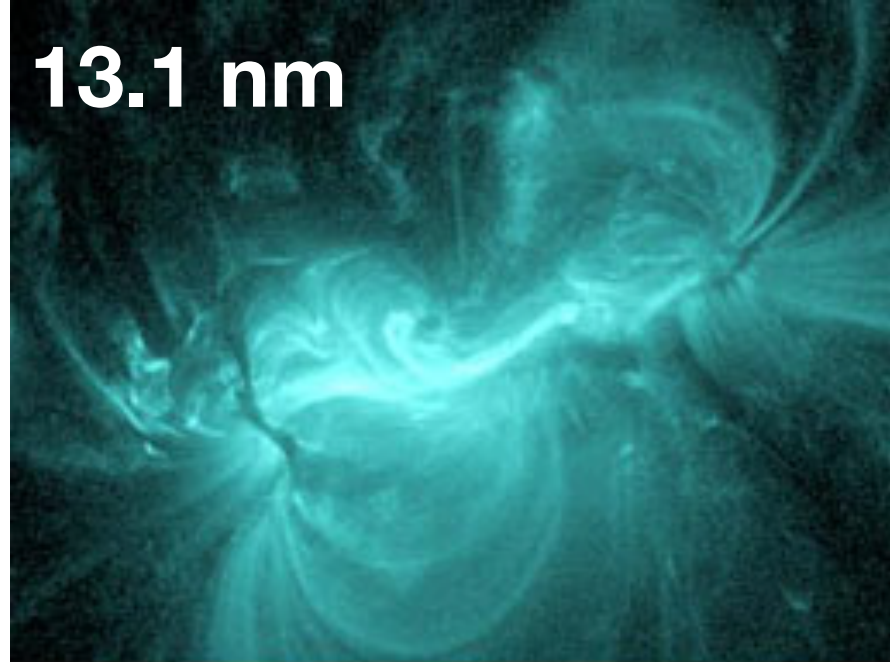


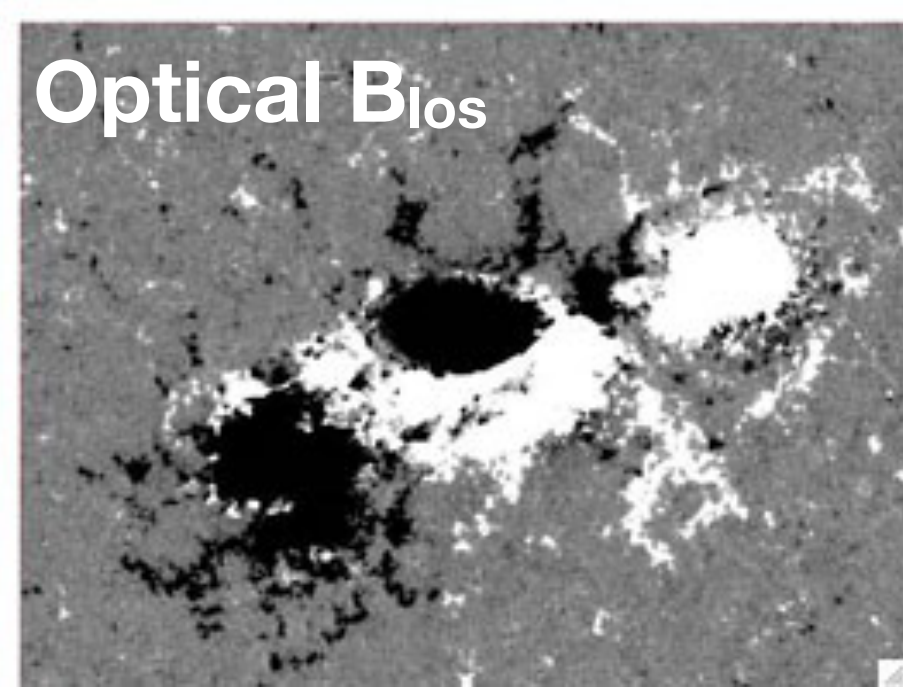
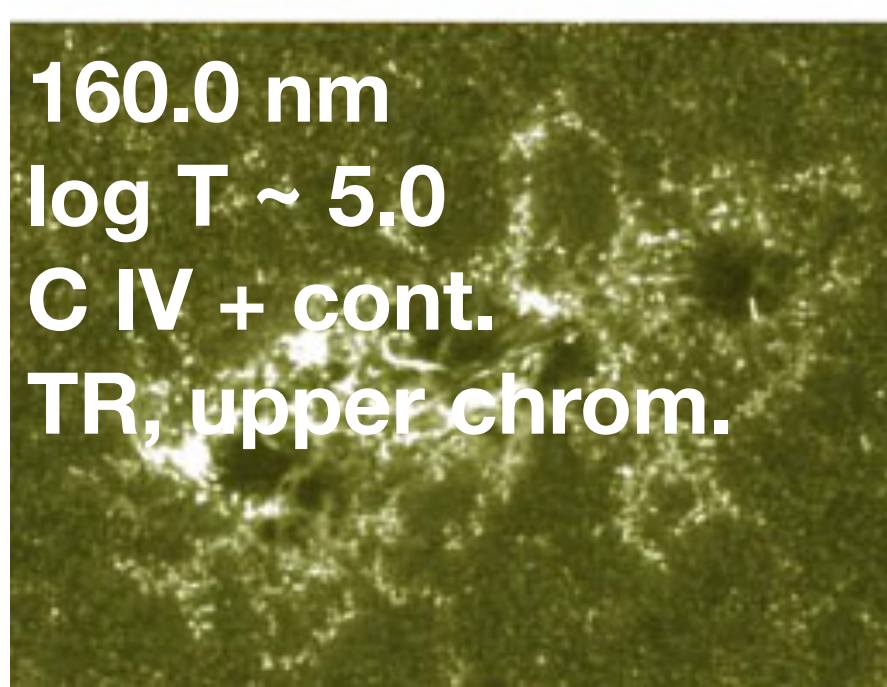
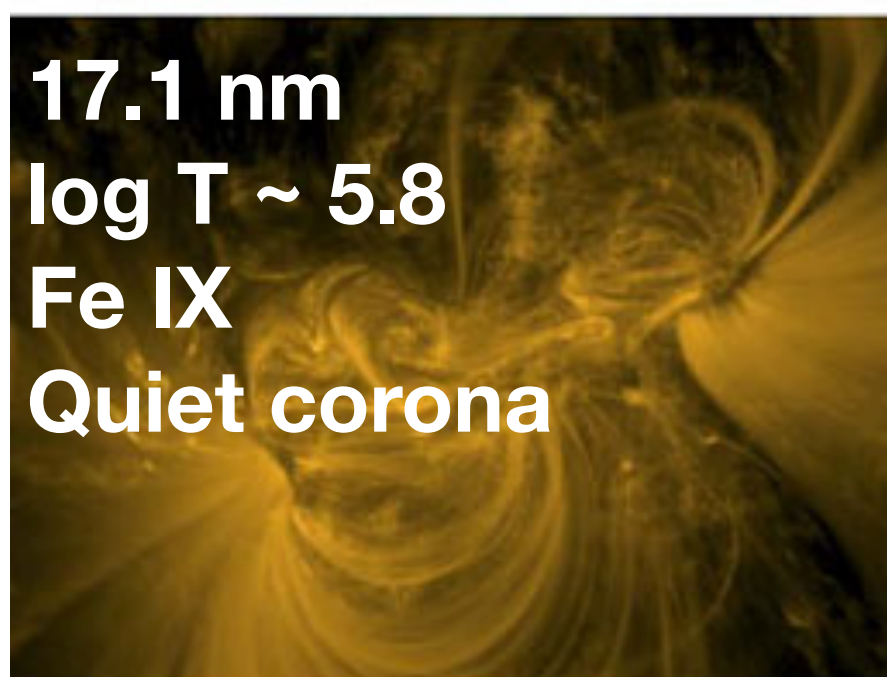
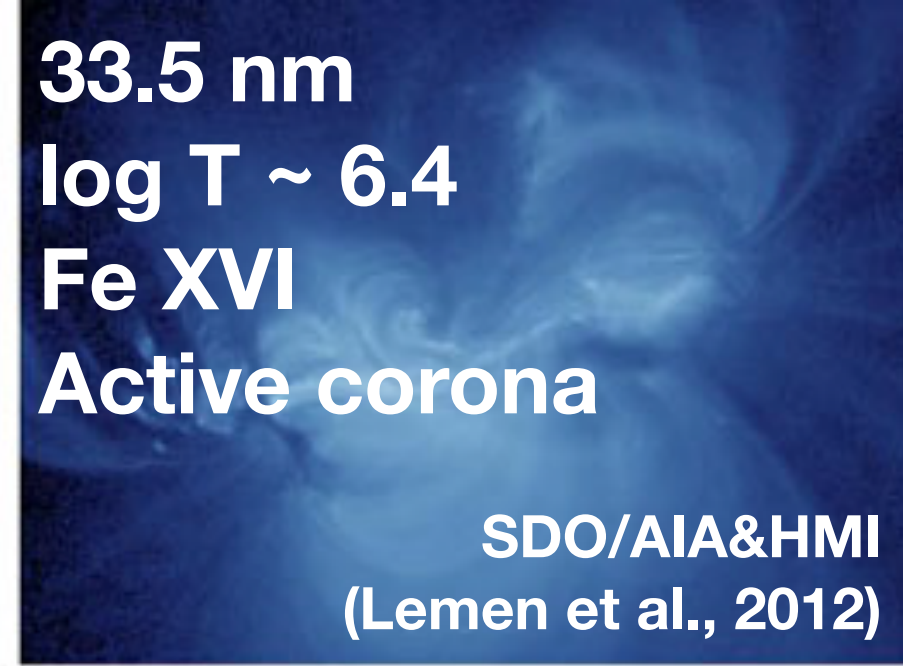
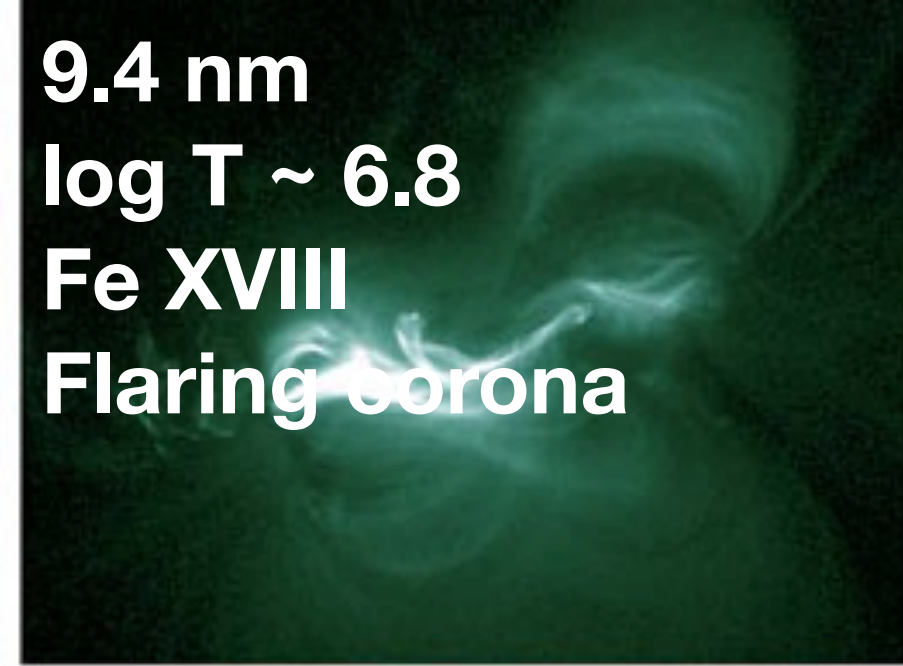
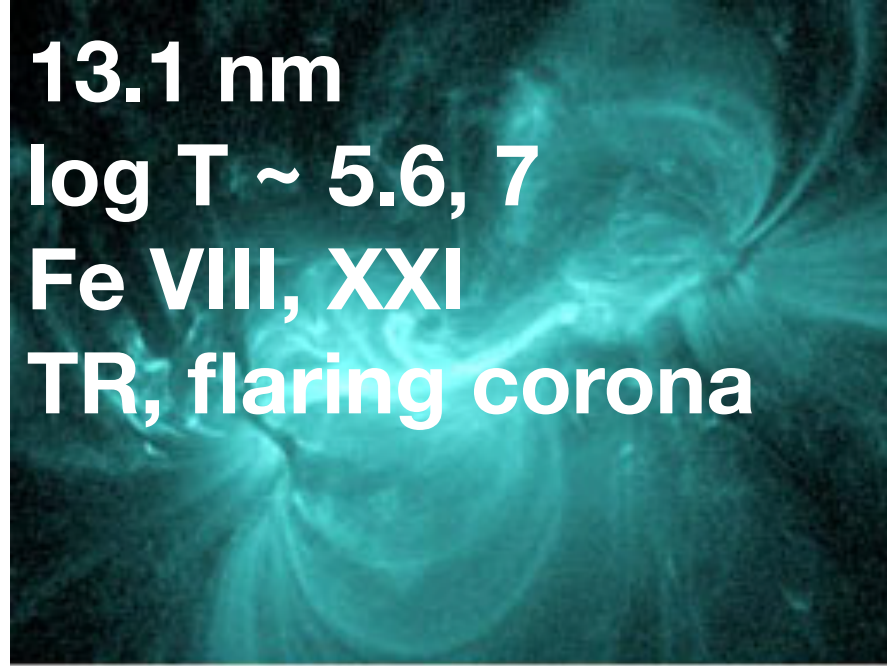
2014-01-23 07:25:06 UT

133 nm

Tian et al. (2014)

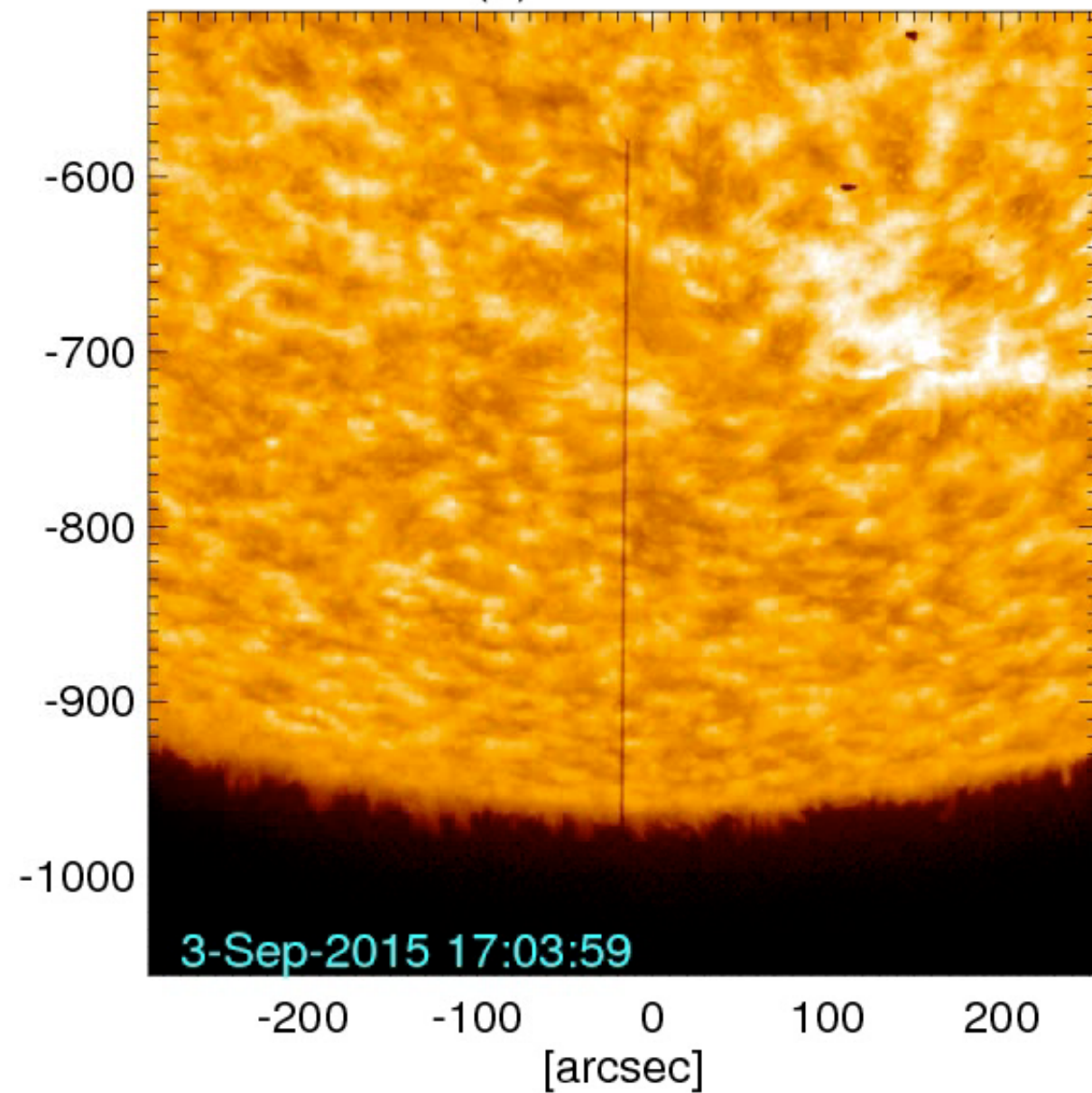
**SDO/AIA
EUV (~30.4 nm)
Chrom. ~ TR**



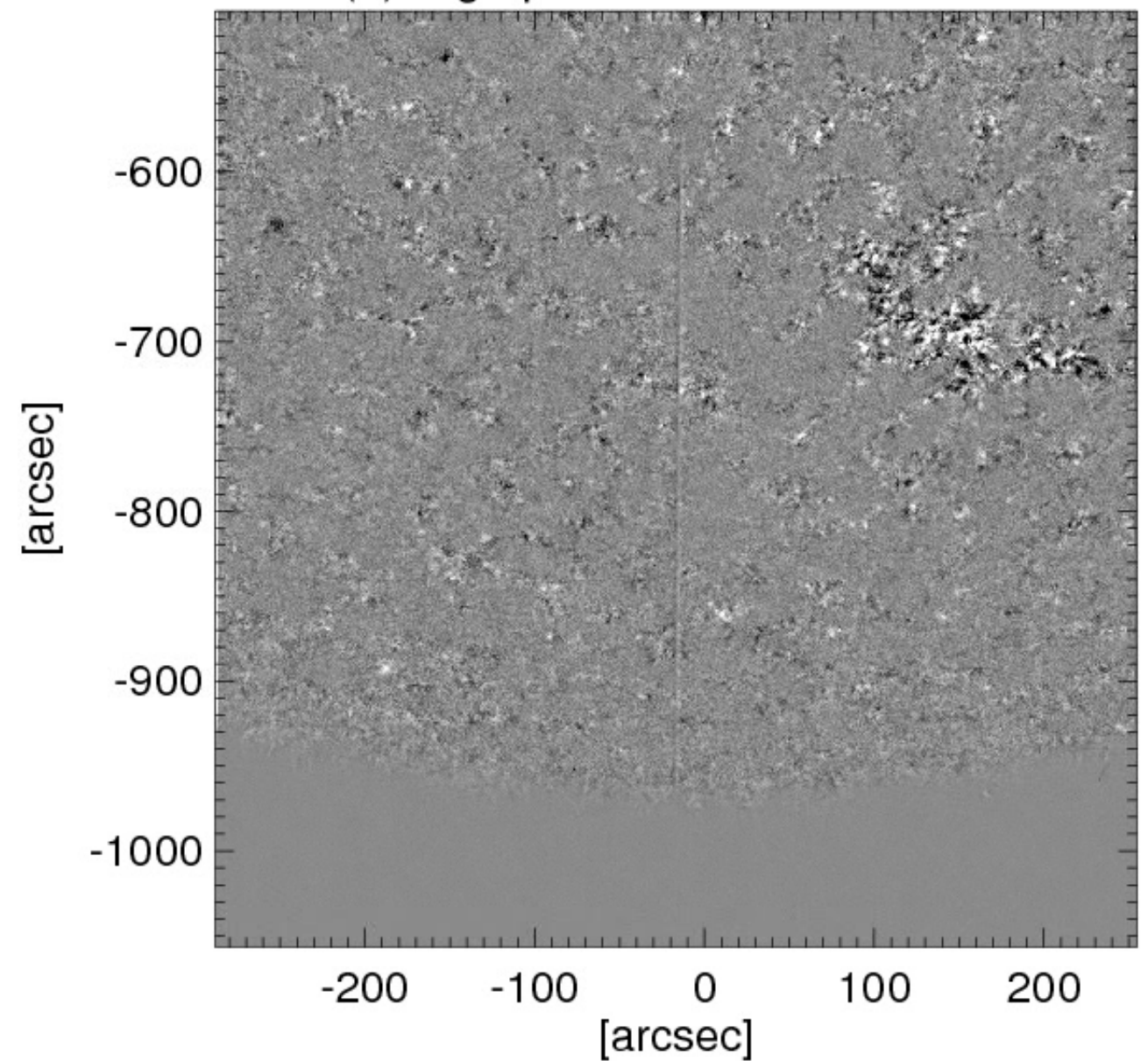


Lyman- α (121 nm) from TR

(a) CLASP/SJ

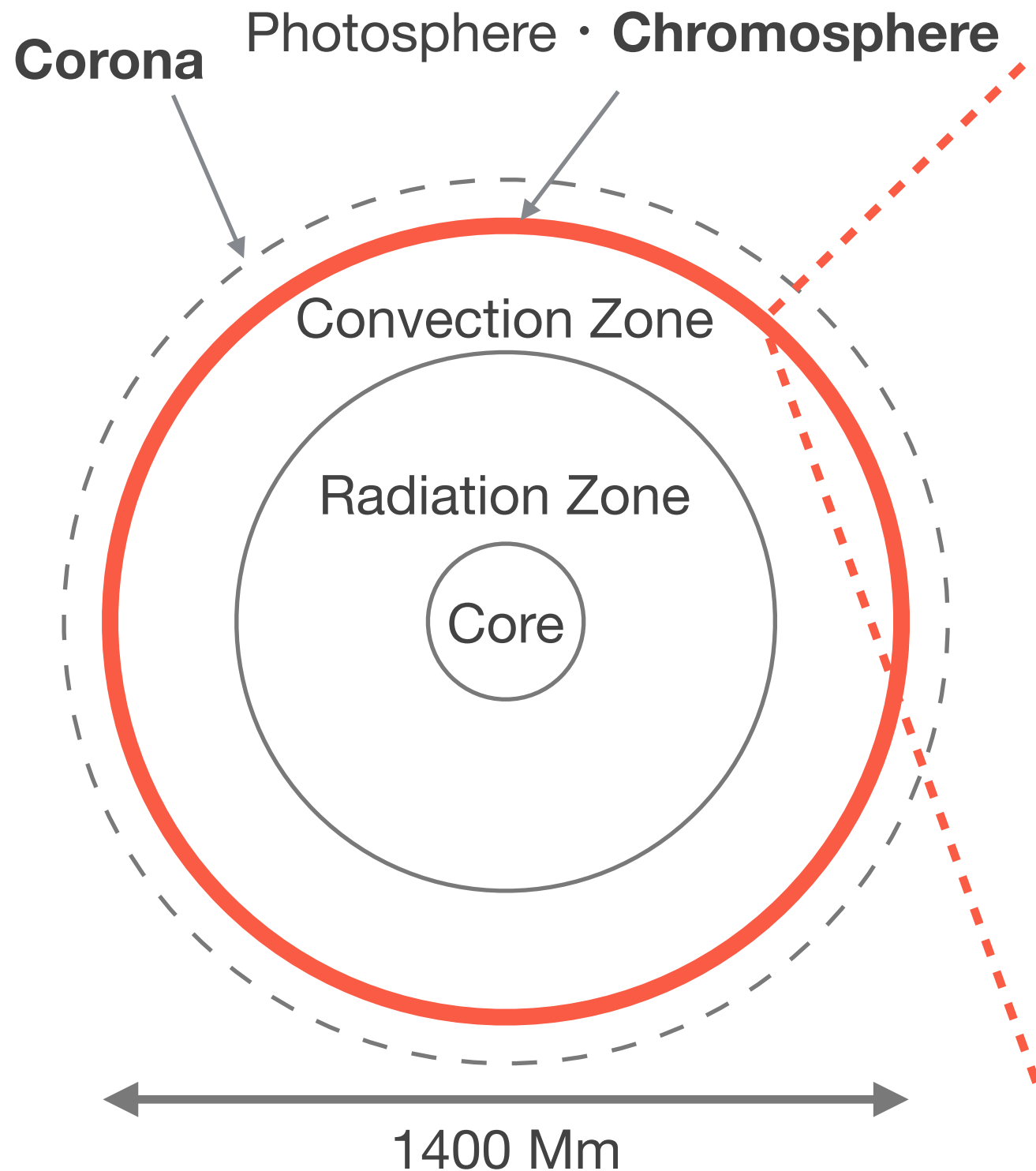


(b) High-pass-filtered CLASP/SJ

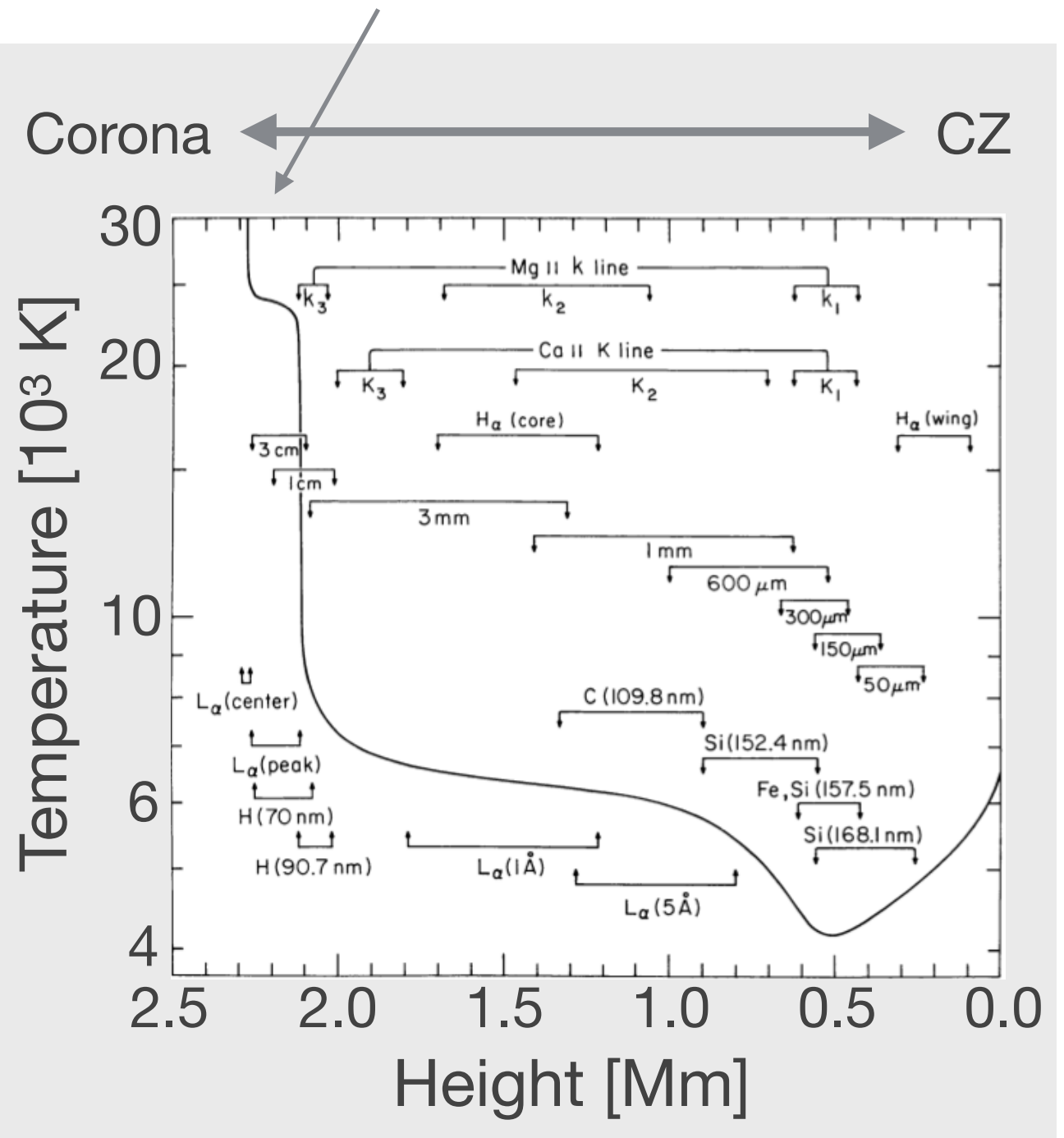


CLASP/SJ (Kubo et al., 2016)

太陽大気の鉛直構造

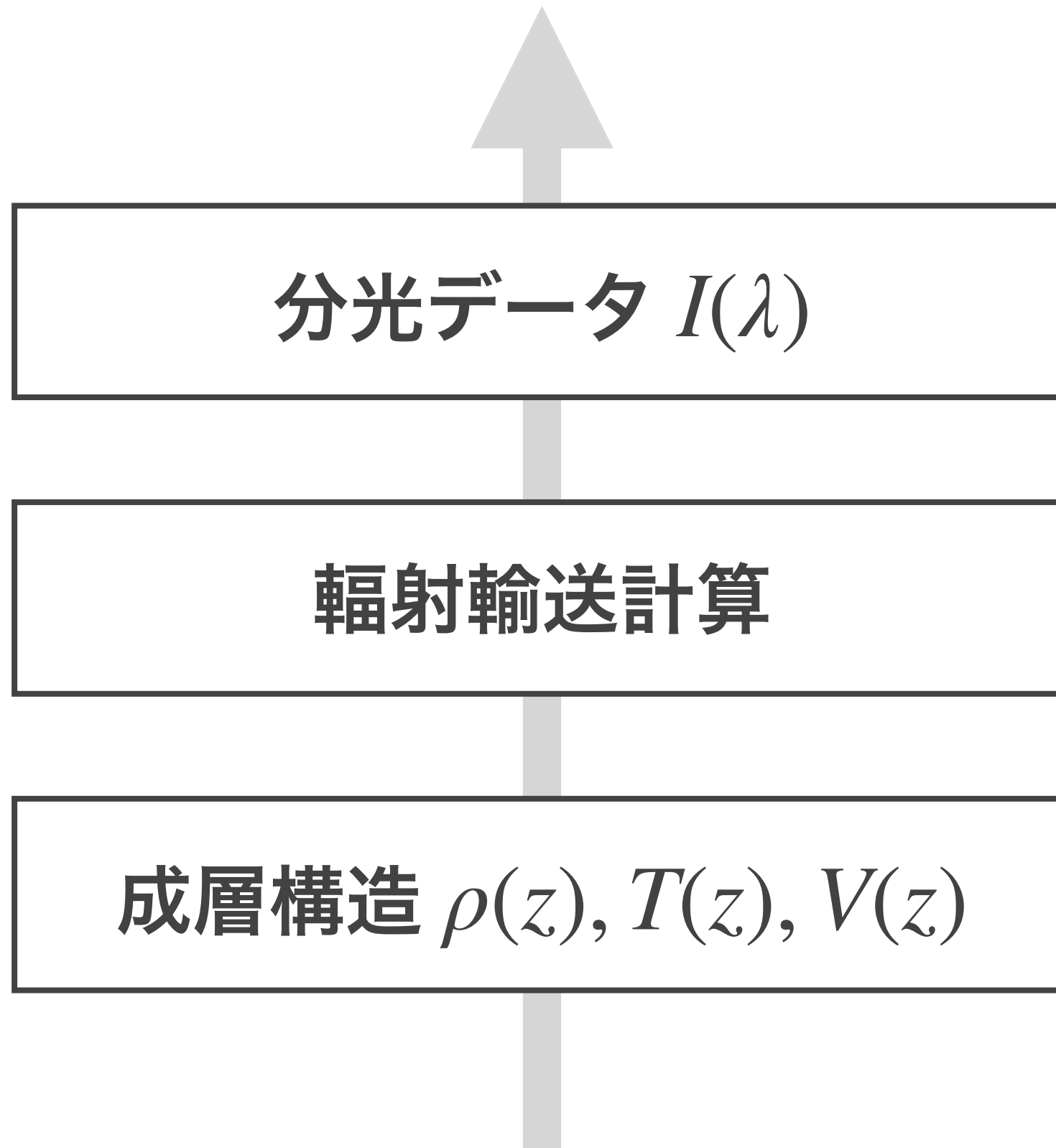


Chrom.-Corona Transition Region (TR)



Vernazza et al. (1981)

輻射輸送計算の順問題



太陽大気構造計算の逆問題

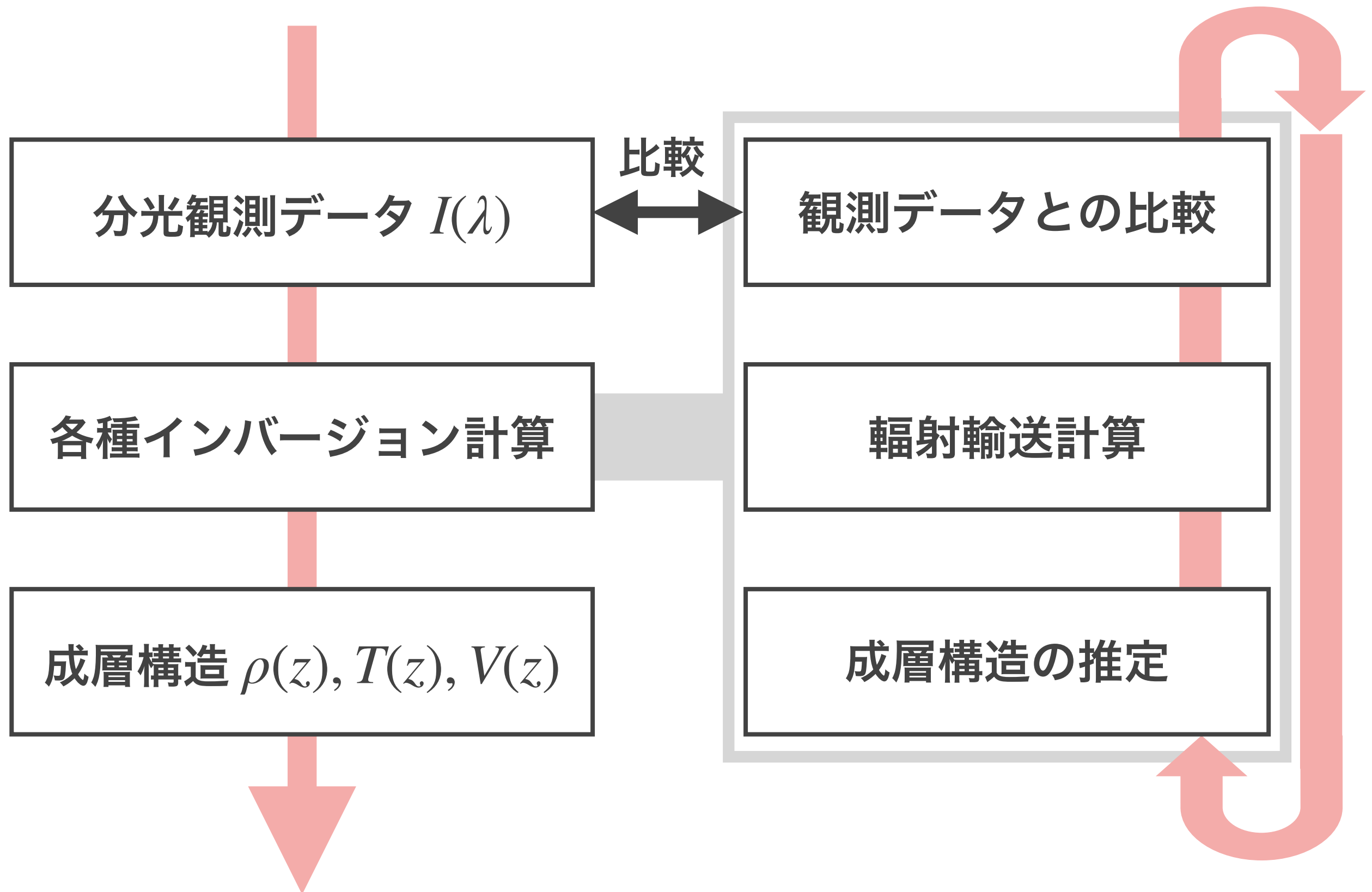
```
graph TD; A[分光観測データ  $I(\lambda)$ ] --> B[各種インバージョン計算]; B --> C[成層構造  $\rho(z), T(z), V(z)$ ];
```

分光観測データ $I(\lambda)$

各種インバージョン計算

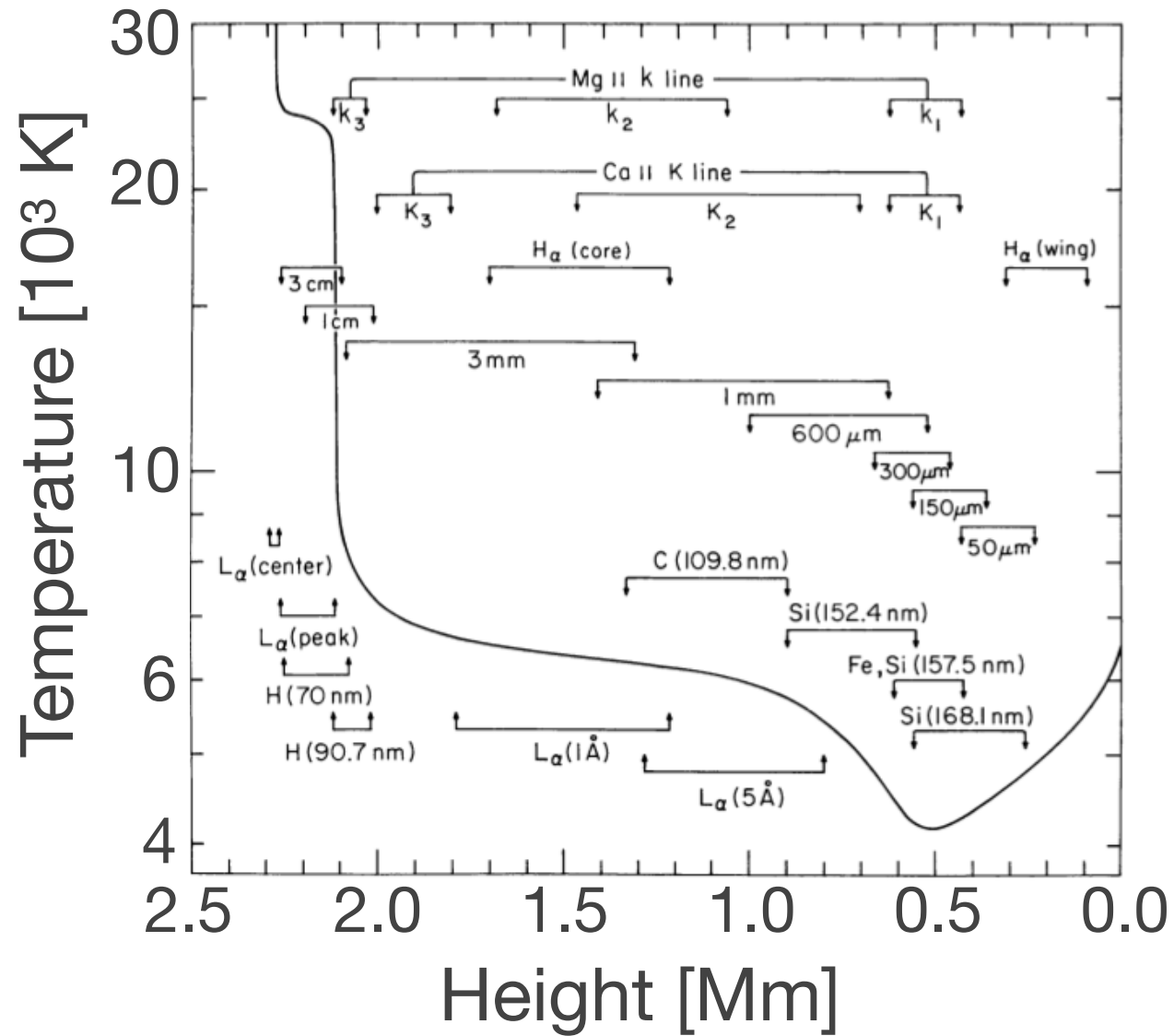
成層構造 $\rho(z), T(z), V(z)$

太陽大気構造計算の逆問題 | 単純な例



太陽からの光はどこを見ているのか

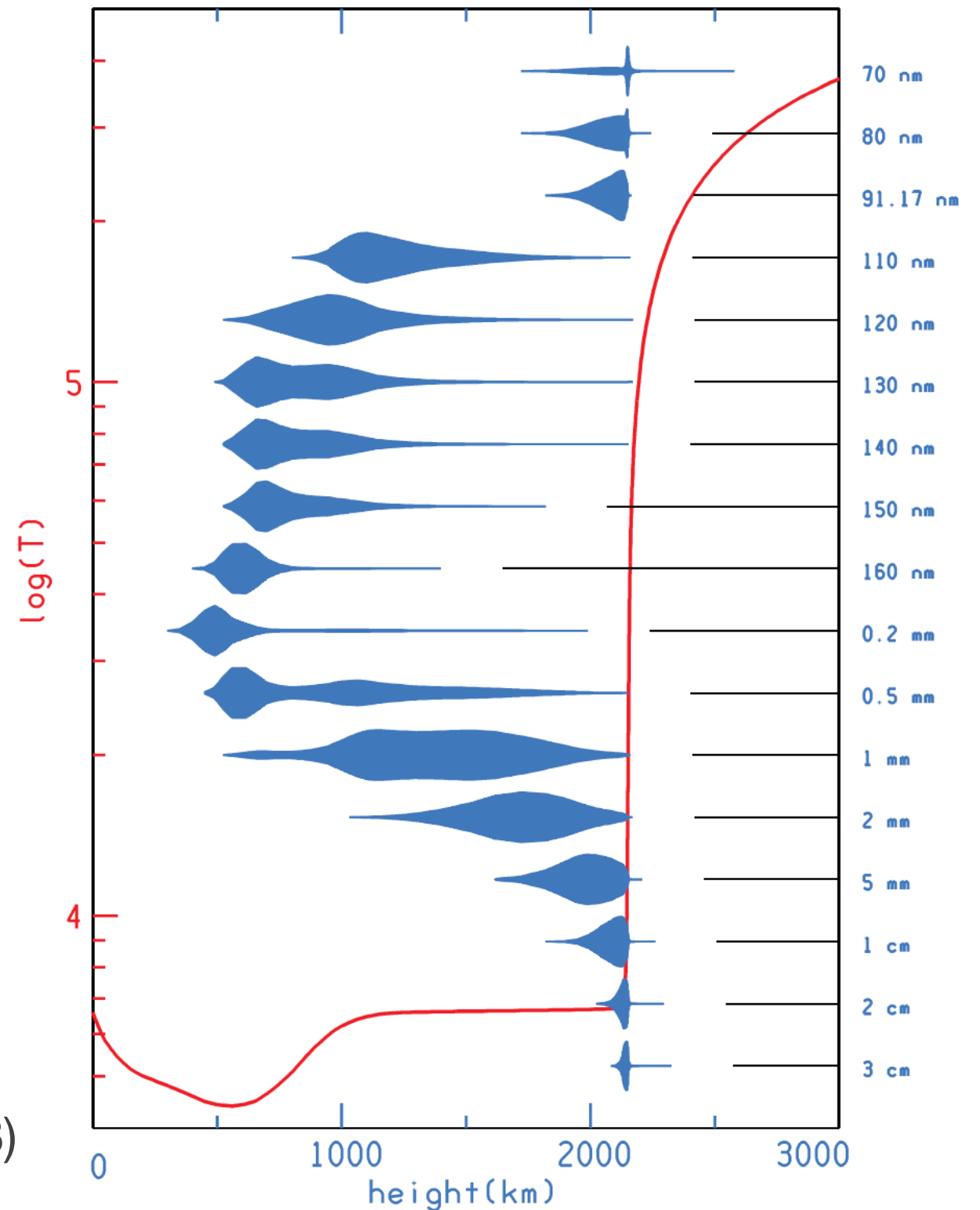
輝線の形成領域



Vernazza et al. (1981)

Avrett & Loeser (2008)

連続光の形成領域



静的大気モデルの弱点 | 非平衡電離・励起

$$\frac{\partial N_i}{\partial t} + \nabla \cdot (N_i \mathbf{V}) = \sum_{j \neq i} (N_j R_{ji} - N_i R_{ij})$$

$$R_{ij} = R_{ij}(N_e, T_e, J_{12}, J_{13}, \dots)$$

$$J_{ij} = \frac{1}{4\pi} \int_{4\pi} I_{ij} d\Omega, \quad \boldsymbol{\mu} \cdot \nabla I_{ij} = \alpha_{ij} [(1 - \epsilon_{ij}) J_{ij} + \epsilon_{ij} B_{ij} - I_{ij}]$$

$$\alpha_{ij} = \alpha_{ij}(N_e, T_e, N_1, N_2, \dots), \quad \epsilon_{ij} = \epsilon_{ij}(N_e, T_e, N_1, N_2, \dots)$$

Corona (~EUV): optically thin, but weakly non-equilibrium ionization

Chrom. (~FUV): optically thick, non-equilibrium ionization

Hydrostatic/SE 1D model is available (e.g., Vernazza et al., 1981).

Dynamic/3D model will be available in next decade (hopefully).

静的大気モデルの弱点 | 非平衡電離・励起

LTE (Local Thermodynamic Equilibrium)

$$\frac{\partial N_i}{\partial t} + \nabla \cdot (N_i \mathbf{V}) = \sum_{j \neq i} (N_j R_{ji} - N_i R_{ij})$$

$$R_{ij} = R_{ij}(N_e, T_e, J_{12}, J_{13}, \dots)$$

$$J_{ij} = \frac{1}{4\pi} \int_{4\pi} I_{ij} d\Omega, \quad \mu \cdot \nabla I_{ij} = \alpha_{ij} [(1 - \epsilon_{ij}) J_{ij} + \epsilon_{ij} B_{ij} - I_{ij}]$$

$$\alpha_{ij} = \alpha_{ij}(N_e, T_e, N_1, N_2, \dots), \quad \epsilon_{ij} = \epsilon_{ij}(N_e, T_e, N_1, N_2, \dots)$$

Corona (~EUV): optically thin, but weakly non-equilibrium ionization

Chrom. (~FUV): optically thick, non-equilibrium ionization

Hydrostatic/SE 1D model is available (e.g., Vernazza et al., 1981).

Dynamic/3D model will be available in next decade (hopefully).

静的大気モデルの弱点 | 非平衡電離・励起

Statistical equilibrium

$$\frac{\partial N_i}{\partial t} + \nabla \cdot (N_i \mathbf{V}) = \sum_{j \neq i} (N_j R_{ji} - N_i R_{ij})$$

$$R_{ij} = R_{ij}(N_e, T_e, J_{12}, J_{13}, \dots)$$

$$J_{ij} = \frac{1}{4\pi} \int_{4\pi} I_{ij} d\Omega, \quad \boldsymbol{\mu} \cdot \nabla I_{ij} = \alpha_{ij} [(1 - \epsilon_{ij}) J_{ij} + \epsilon_{ij} B_{ij} - I_{ij}]$$

$$\alpha_{ij} = \alpha_{ij}(N_e, T_e, N_1, N_2, \dots), \quad \epsilon_{ij} = \epsilon_{ij}(N_e, T_e, N_1, N_2, \dots)$$

Corona (~EUV): optically thin, but weakly non-equilibrium ionization

Chrom. (~FUV): optically thick, non-equilibrium ionization

Hydrostatic/SE 1D model is available (e.g., Vernazza et al., 1981).

Dynamic/3D model will be available in next decade (hopefully).

静的大気モデルの弱点 | 非平衡電離・励起

Non-equilibrium (optically thin; corona)

$$\frac{\partial N_i}{\partial t} + \nabla \cdot (N_i \mathbf{V}) = \sum_{j \neq i} (N_j R_{ji} - N_i R_{ij})$$

$$R_{ij} = R_{ij}(N_e, T_e, J_{12}, J_{13}, \dots)$$

$$J_{ij} = \frac{1}{4\pi} \int_{4\pi} I_{ij} d\Omega, \quad \boldsymbol{\mu} \cdot \nabla I_{ij} = \alpha_{ij} [(1 - \epsilon_{ij}) J_{ij} + \epsilon_{ij} B_{ij} - I_{ij}]$$

$$\alpha_{ij} = \alpha_{ij}(N_e, T_e, N_1, N_2, \dots), \quad \epsilon_{ij} = \epsilon_{ij}(N_e, T_e, N_1, N_2, \dots)$$

Corona (~EUV): optically thin, but weakly non-equilibrium ionization

Chrom. (~FUV): optically thick, non-equilibrium ionization

Hydrostatic/SE 1D model is available (e.g., Vernazza et al., 1981).

Dynamic/3D model will be available in next decade (hopefully).

静的大気モデルの弱点 | 非平衡電離・励起

Non-equilibrium (optically thick; chromosphere~TR)

$$\frac{\partial N_i}{\partial t} + \nabla \cdot (N_i \mathbf{V}) = \sum_{j \neq i} (N_j R_{ji} - N_i R_{ij})$$

$$R_{ij} = R_{ij}(N_e, T_e, J_{12}, J_{13}, \dots)$$

$$J_{ij} = \frac{1}{4\pi} \int_{4\pi} I_{ij} d\Omega, \quad \boldsymbol{\mu} \cdot \nabla I_{ij} = \alpha_{ij} [(1 - \epsilon_{ij}) J_{ij} + \epsilon_{ij} B_{ij} - I_{ij}]$$

$$\alpha_{ij} = \alpha_{ij}(N_e, T_e, N_1, N_2, \dots), \quad \epsilon_{ij} = \epsilon_{ij}(N_e, T_e, N_1, N_2, \dots)$$

Corona (~EUV): optically thin, but weakly non-equilibrium ionization

Chrom. (~FUV): optically thick, non-equilibrium ionization

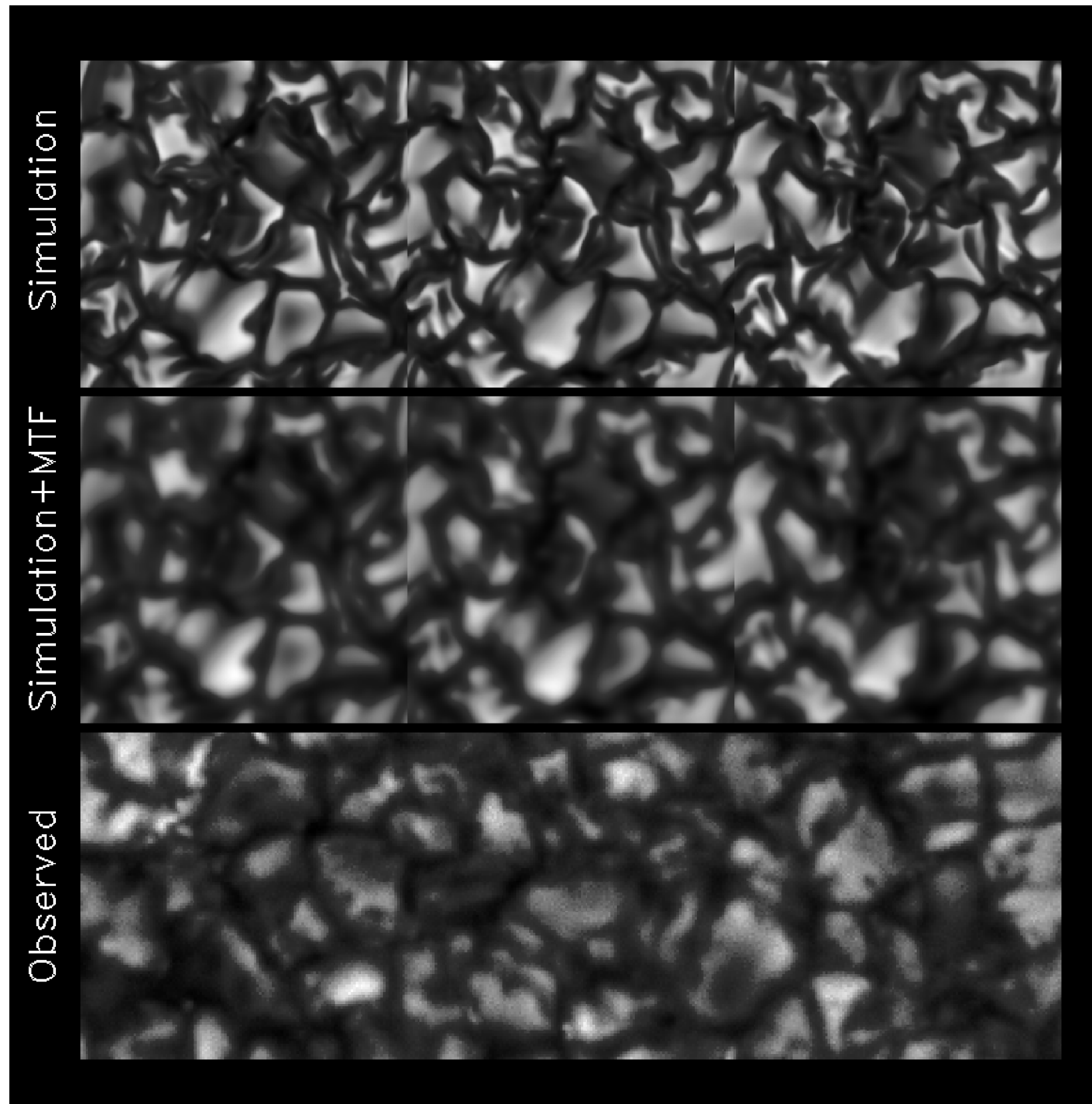
Hydrostatic/SE 1D model is available (e.g., Vernazza et al., 1981).

Dynamic/3D model will be available in next decade (hopefully).

アウトライン

- 太陽の大気構造を知るには
- **フォワードモデリングによるアプローチ**
- 今後の研究課題

Radiation MagnetoHydroDynamic model of Sun



**Photospheric
RMHD model**

||

MHD

+

LTE EOS

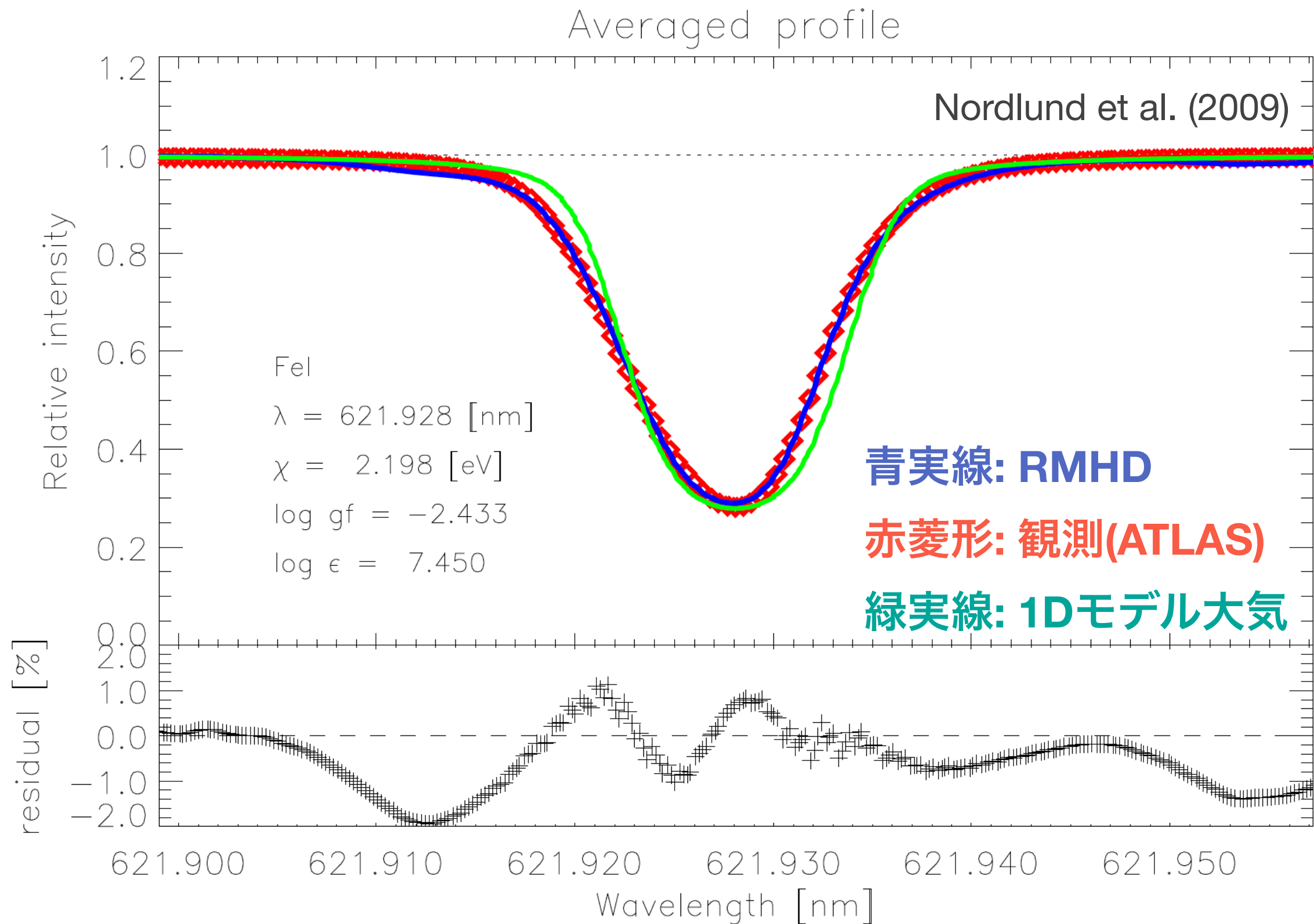
+

LTE radiation

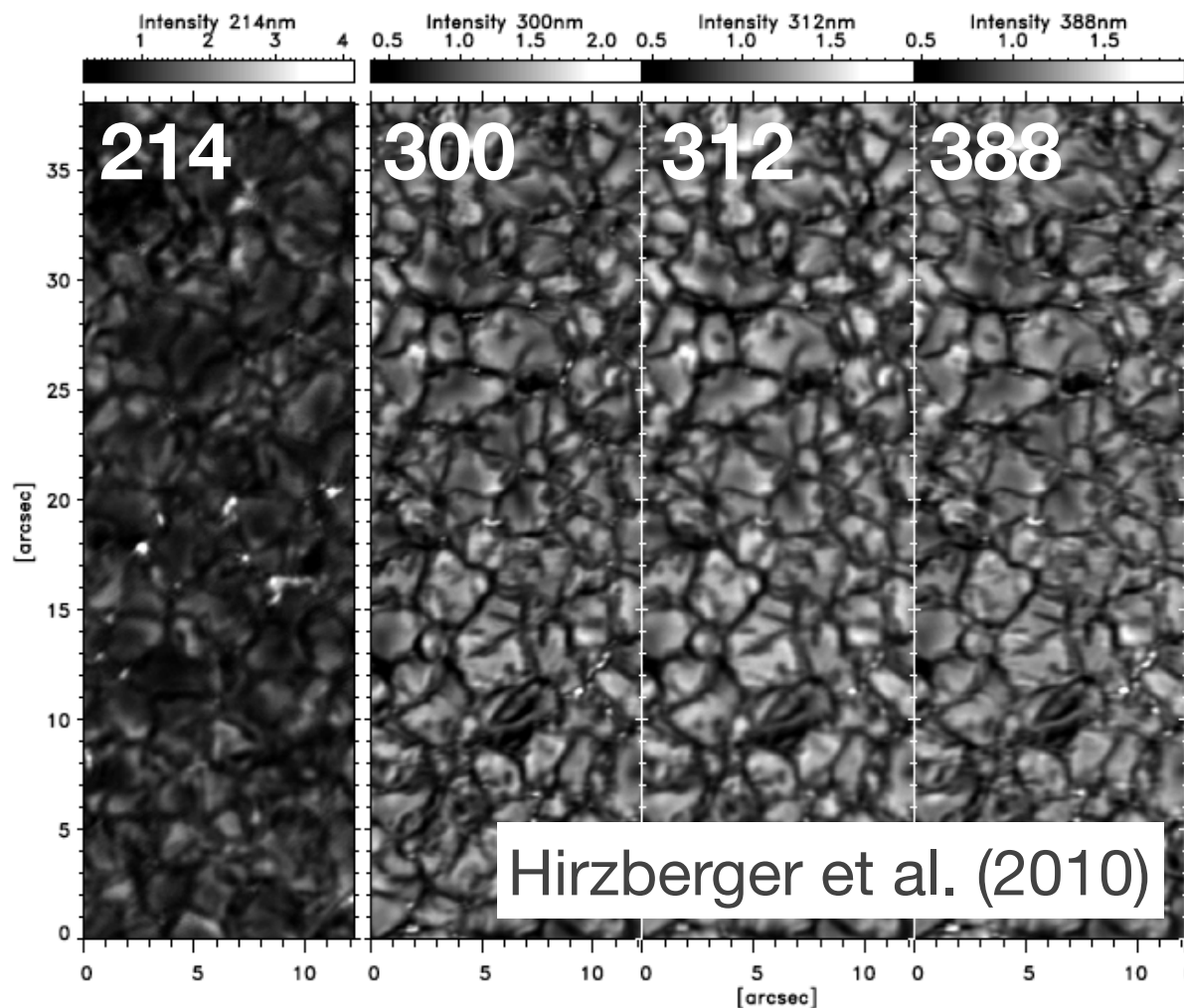
**Upper CZ to
photosphere**

Stein & Nordlund (1998)

光球RMHDの妥当性 | ライン形状



光球RMHDの妥当性 | 粒状斑のコントラスト



RMHD: MURaM

Observation: Sunrise I SuFI

312, 388 nm slit: agree

300, 214 nm slit: disagree

Possible source of disagreement:

- (1) Lack of physics in RMHD,
- (2) NLTE effect, (3) Scattered light.

Similar study by Danilovic+08 for 630 nm using Hinode/SP (RMHD ~ 1.2 Observation).

Table 1

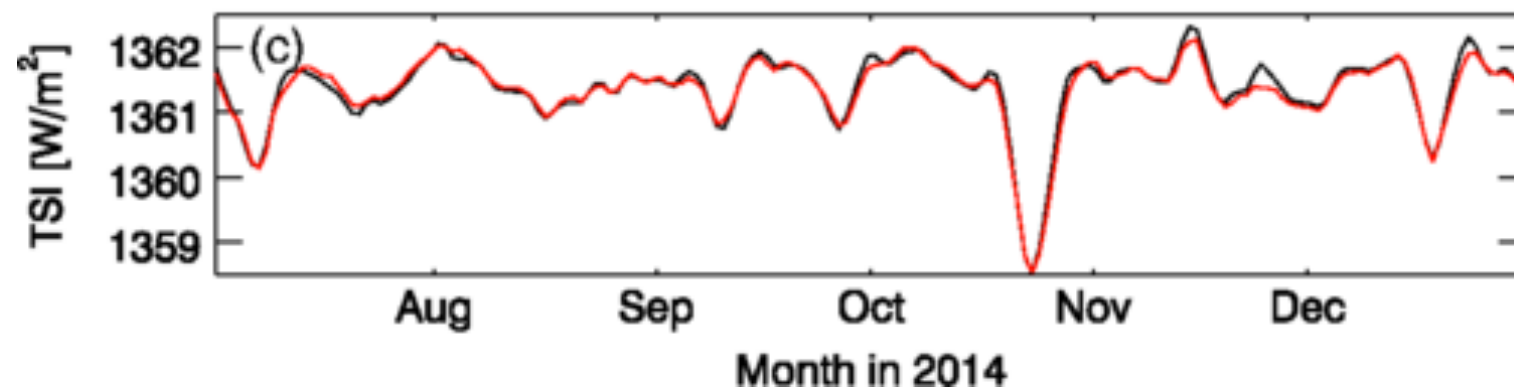
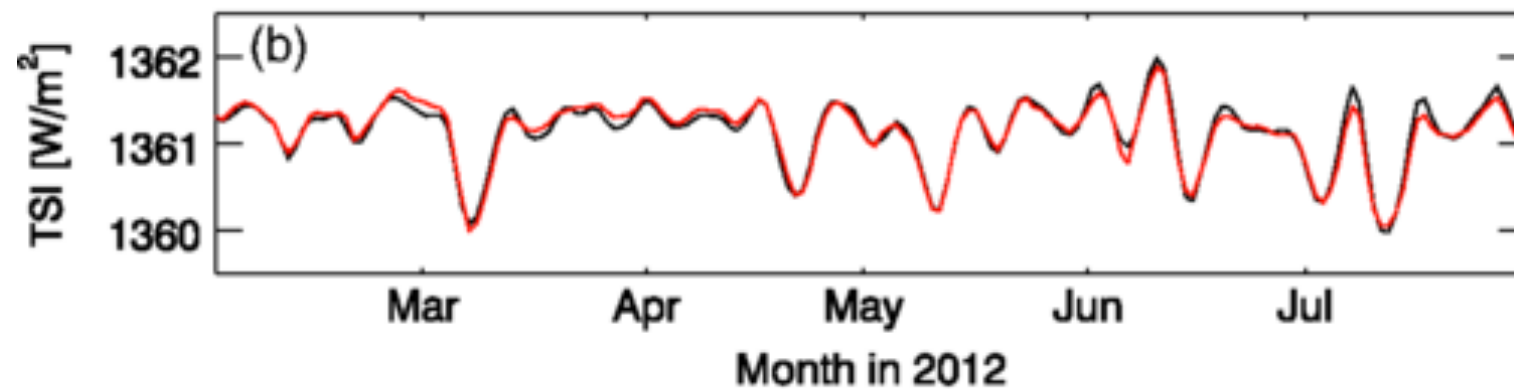
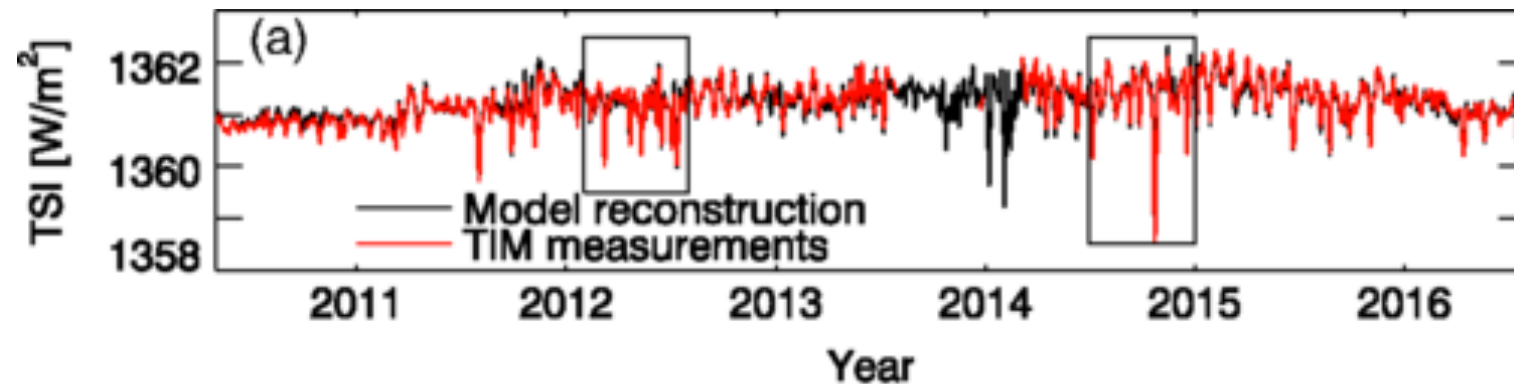
Mean-plus-one-sigma Values of δI_{rms} (see Figures 2 and 3) and Mean δI_{rms} Resulting from MHD Simulation Data (in %)

λ (nm)	June 9		June 11		MHD		MHD Stray Light	
	Level 2	Level 3	Level 2	Level 3	ODF	SPINOR	ODF	SPINOR
214	32.79 (31.80 + 0.98)	27.78 (27.05 + 0.73)	61.27 ^a
300	22.23 (21.63 + 0.60)	20.03 (19.52 + 0.52)	24.19 (22.98 + 1.21)	21.67 (20.94 + 0.73)	30.76	...	25.50	...
312	21.91 (20.84 + 1.07)	19.45 (18.79 + 0.66)	23.81 (22.34 + 1.47)	20.40 (19.58 + 0.82)	28.34	...	22.03	...
388	19.16 (18.28 + 0.89)	17.27 (16.73 + 0.55)	21.52 (20.09 + 1.43)	18.05 (17.11 + 0.94)	23.94	25.27	18.60	19.93
397	22.64 (21.33 + 1.30)	20.11 (19.19 + 0.92)	25.56 (23.81 + 1.75)	22.22 (20.60 + 1.61)

Notes. In the rightmost two columns, mean δI_{rms} of MHD data convolved with preliminary estimated levels of scattered light are given.

^a Mean δI_{rms} at 220 nm.

光球RMHDの妥当性 | 総放射量



Yeo et al. (2017)

RMHD: $B_r \rightarrow$ Intensity

HMI: B_r

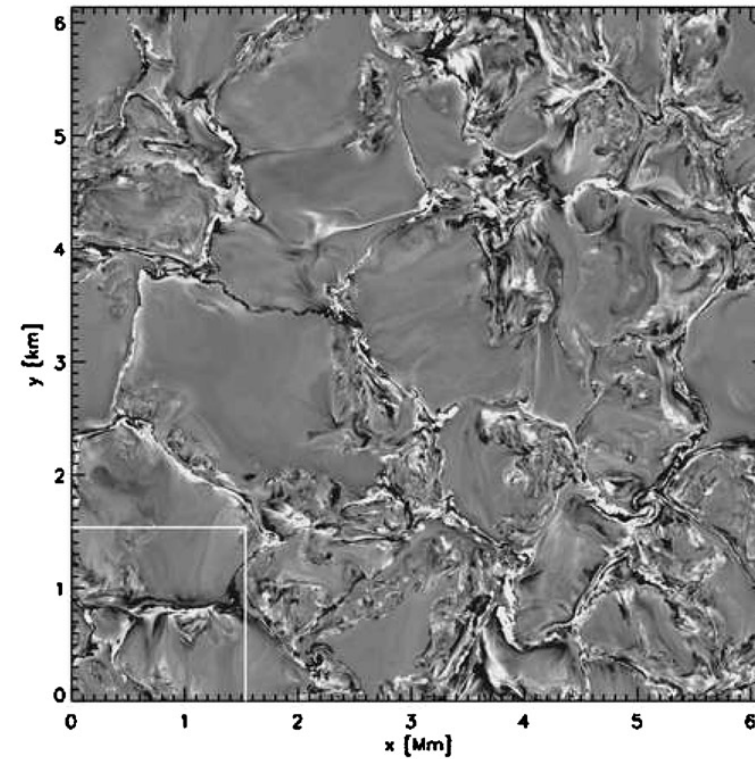
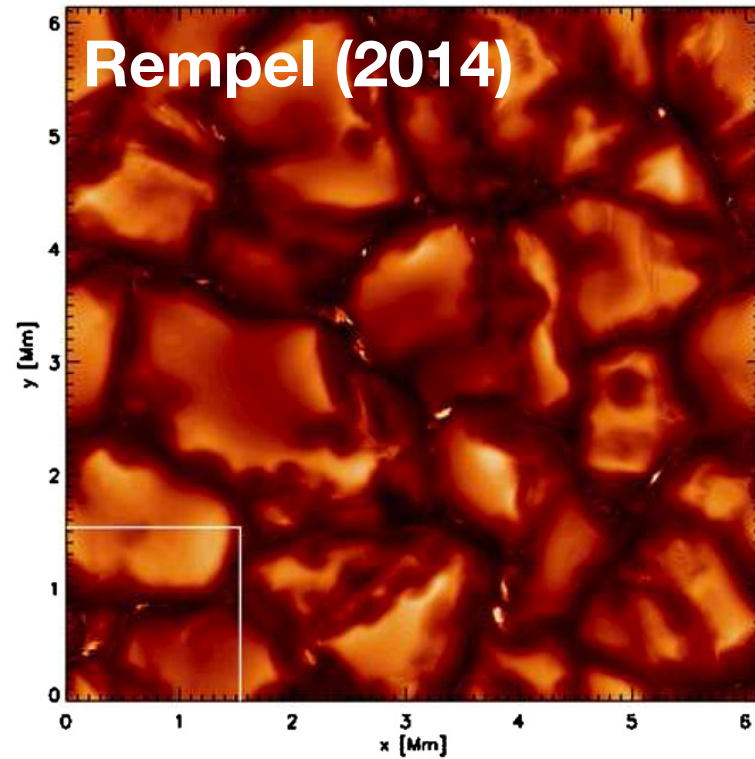
Pearson correlation coef.: **0.976**
(indicating the model replicates **95%** of the apparent variability)

The **rms difference between the model and observation (TIM or VIRGO) is comparable to the difference from observational instruments.**

The direct evidence that the solar surface magnetic activity is the dominant driver of solar irradiance variability.

Time series	R	rms difference (W/m^2)
Model and TIM	0.976	0.0836
Model and VIRGO	0.968	0.0941
TIM and VIRGO	0.975	0.0865

光球RMHDの妥当性 | 小スケールダイナモ



Simulation: at $\tau=1$

$$30 \leq \langle |B_z| \rangle \leq 85 \text{ G}$$

$$\langle B \rangle \leq 160 \text{ G}$$

Observations

Danilovic+10:

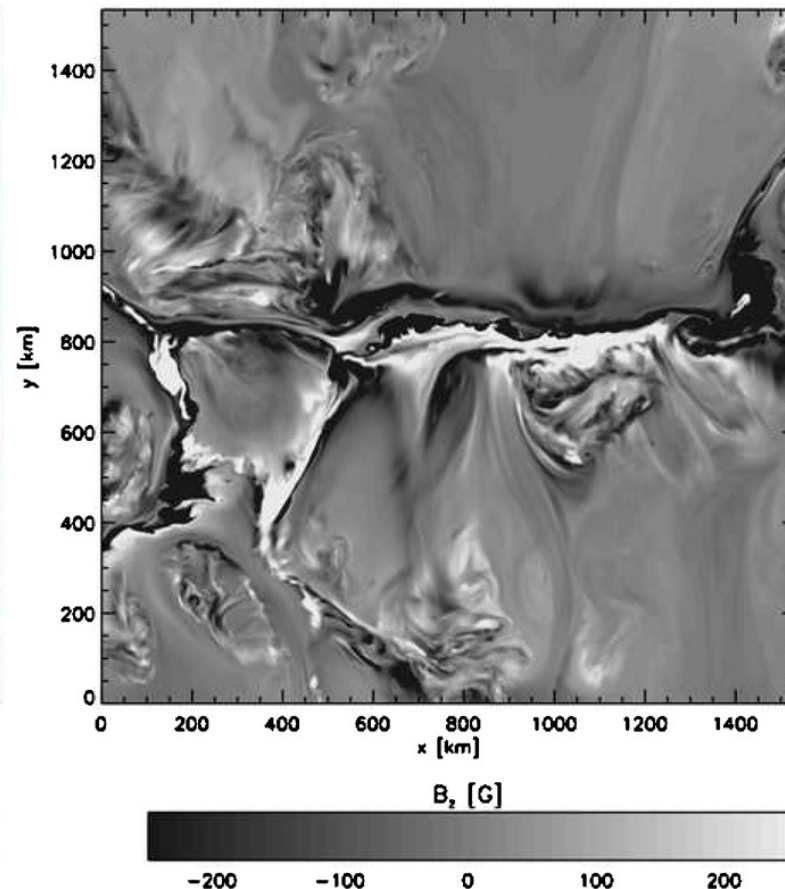
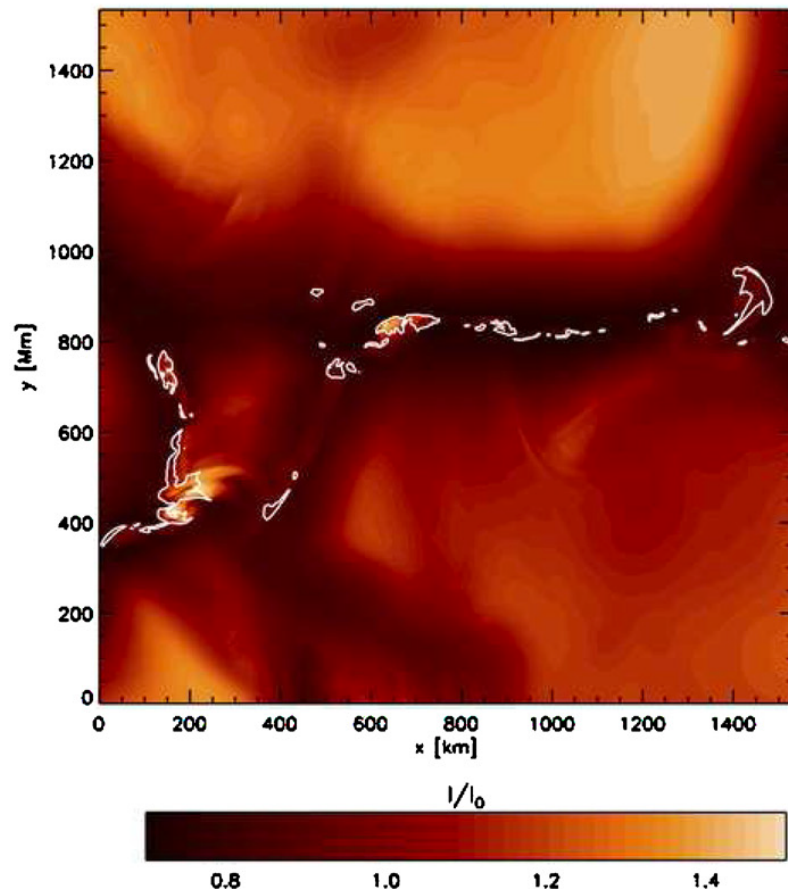
$$\langle |B_z| \rangle = 84 \text{ G}, \langle B \rangle = 170 \text{ G}$$

Orozco&Rubio12:

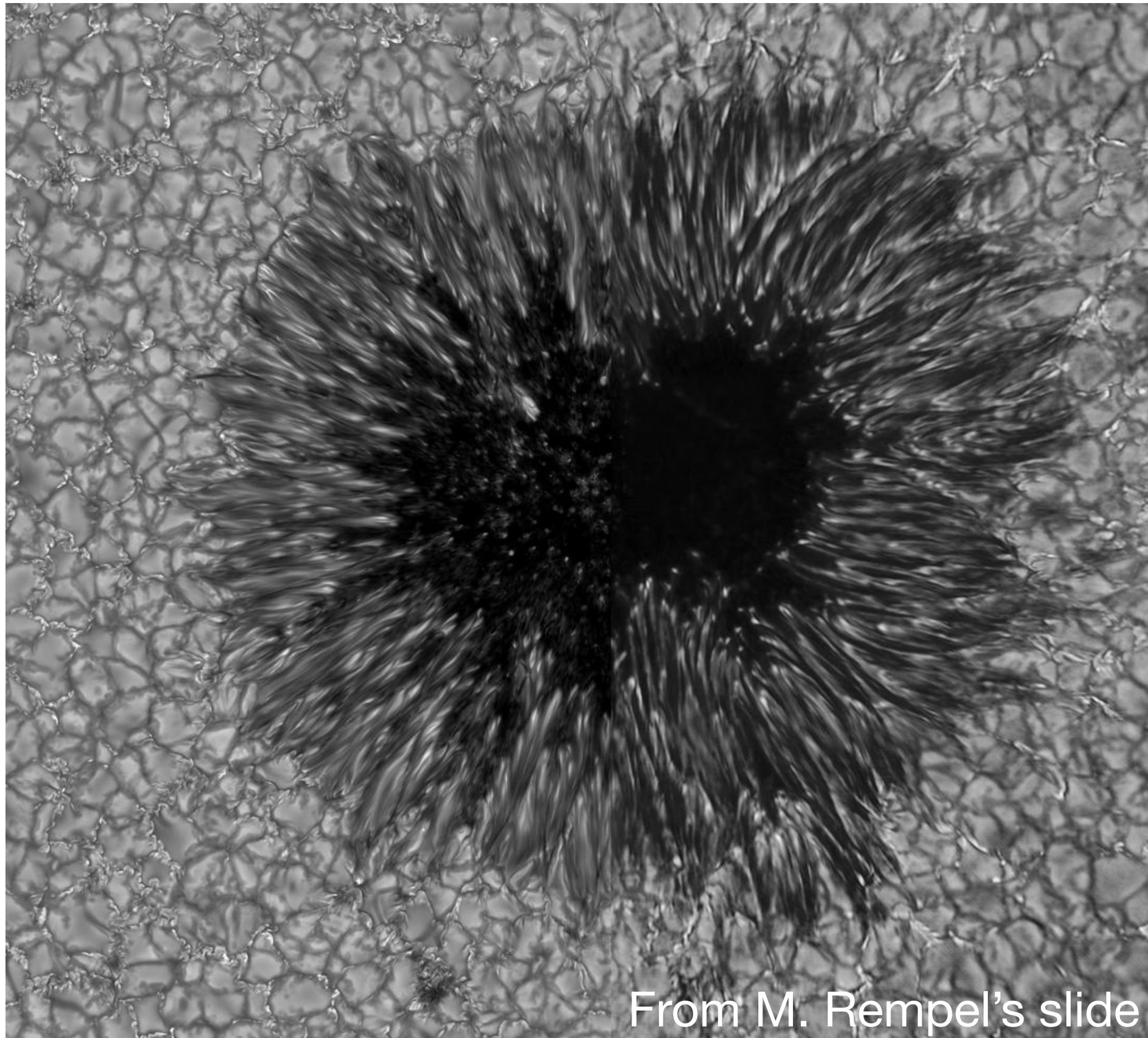
$$\langle |B_z| \rangle = 62 \text{ G}, \langle B \rangle = 220 \text{ G}$$

Trujillo Bueno04:

$\langle B \rangle \sim 130 \text{ G}$ at a few 100 km above $\tau=1$ (del Pino Aleman+18 shows TB04 agrees well with R14 by synthetic 3D RT.)

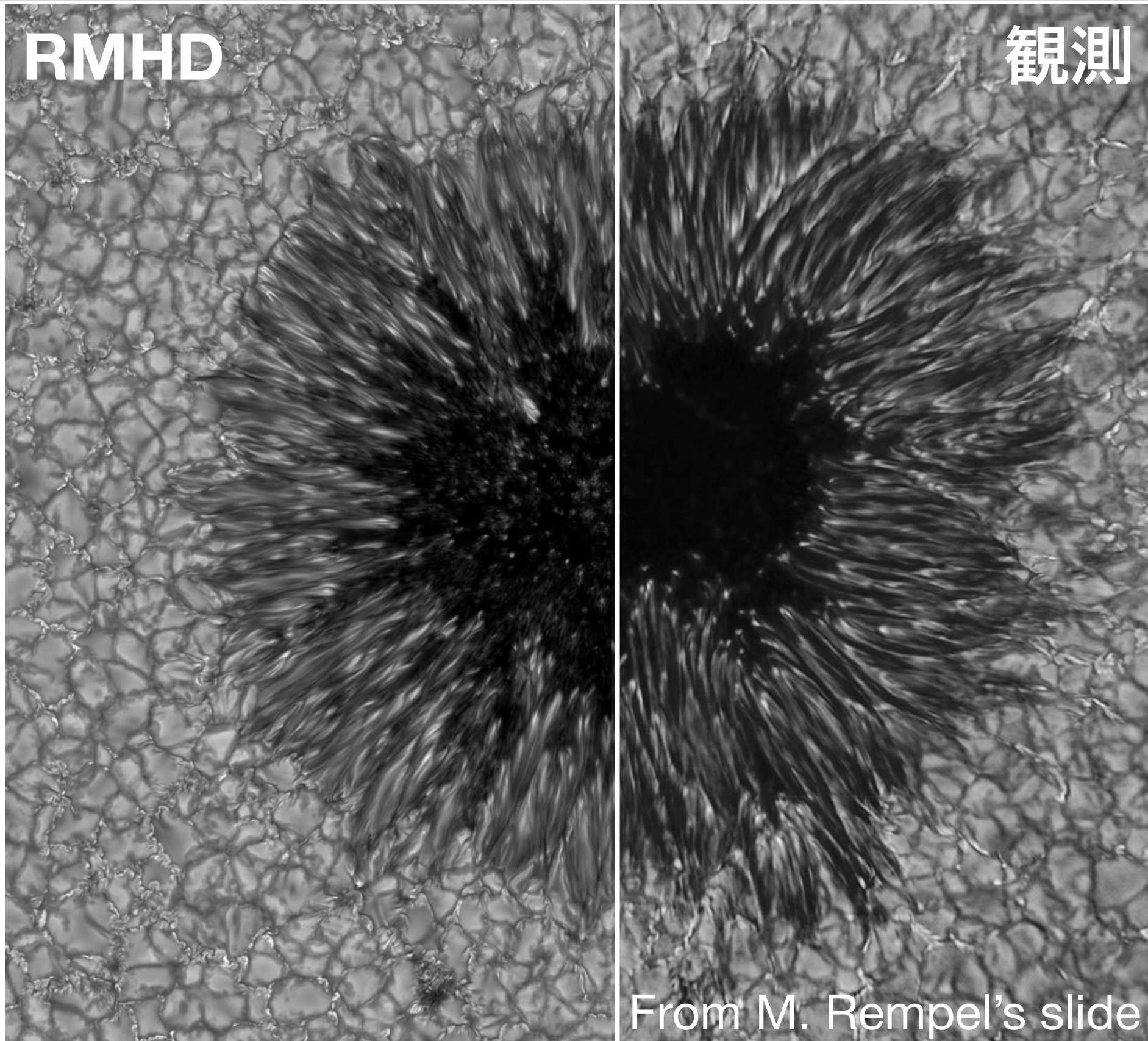


Q. 左半分と右半分、どちらがシミュレーション？

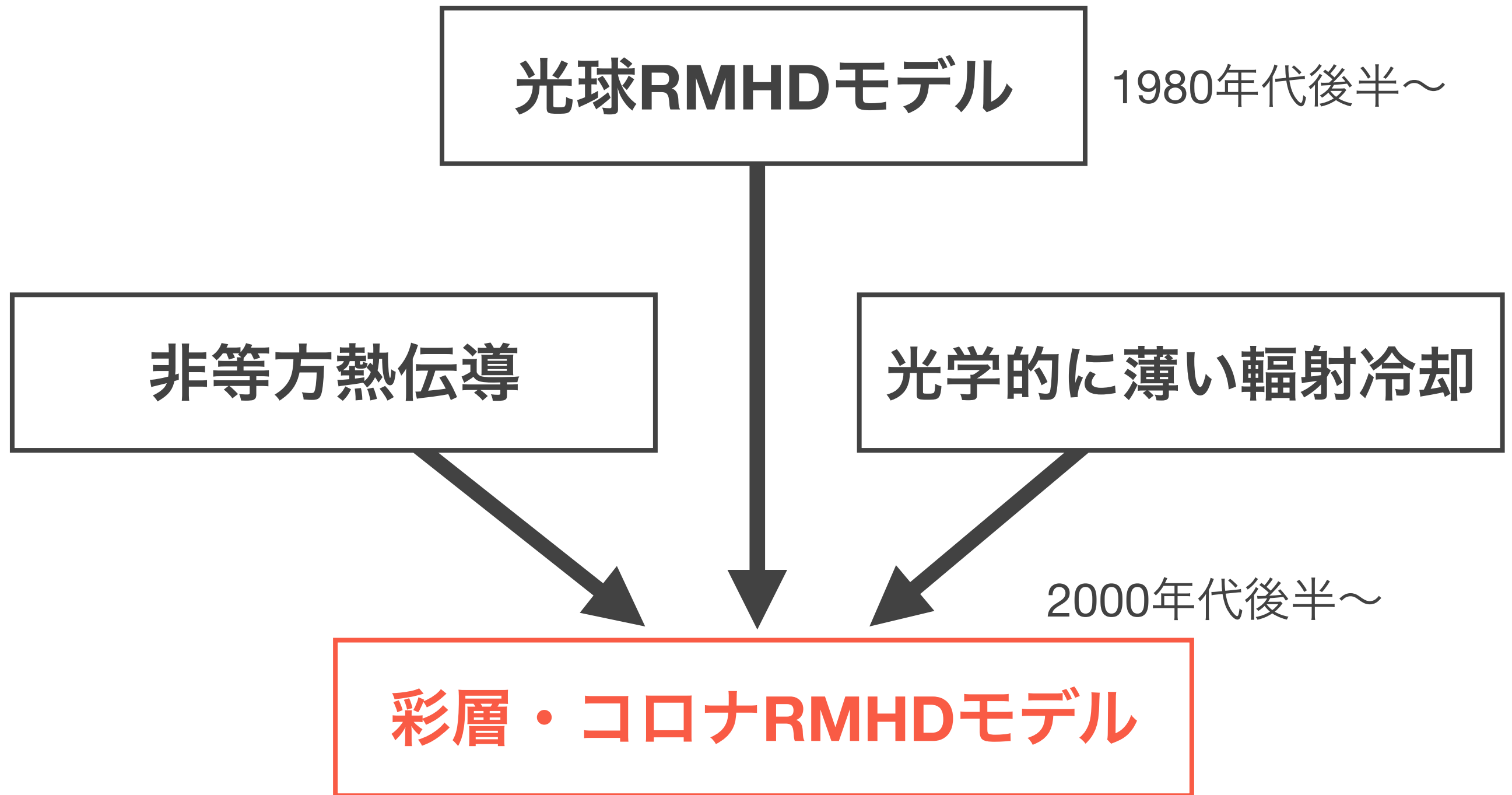


From M. Rempel's slide

A. 左半分がシミュレーション



彩層・コロナへの拡張



Magnetohydrodynamics

CT scheme with multi-dimensional reconstruction

Fifth-order WENO-Z reconstruction

Third-order SSP Runge-Kutta method

Radiative Energy Transfer

Short Characteristic method

OPAL Rosseland mean Opacity

Effectively optically thin radiative loss

Spitzer thermal conduction

Flux limiter for preserving monotonicity

Second-order Super TimeStepping method

Second-order operator splitting

Equation of State

LTE with hydrogen molecule formation

6 most abundant species

Interpolation from numerical table

RAMENS

Radiation **M**agnetohydrodynamics **E**xtensive **N**umerical **S**olver

Magnetohydrodynamics

CT scheme with multi-dimensional reconstruction

Fifth-order WENO-Z reconstruction

Third-order SSP Runge-Kutta method

Radiative Energy Transfer

Short Characteristic method

OPAL Rosseland mean Opacity

Effectively optically thin radiative loss

Spitzer thermal conduction

Flux limiter for preserving monotonicity

Second-order Super TimeStepping method

Second-order operator splitting

Equation of State

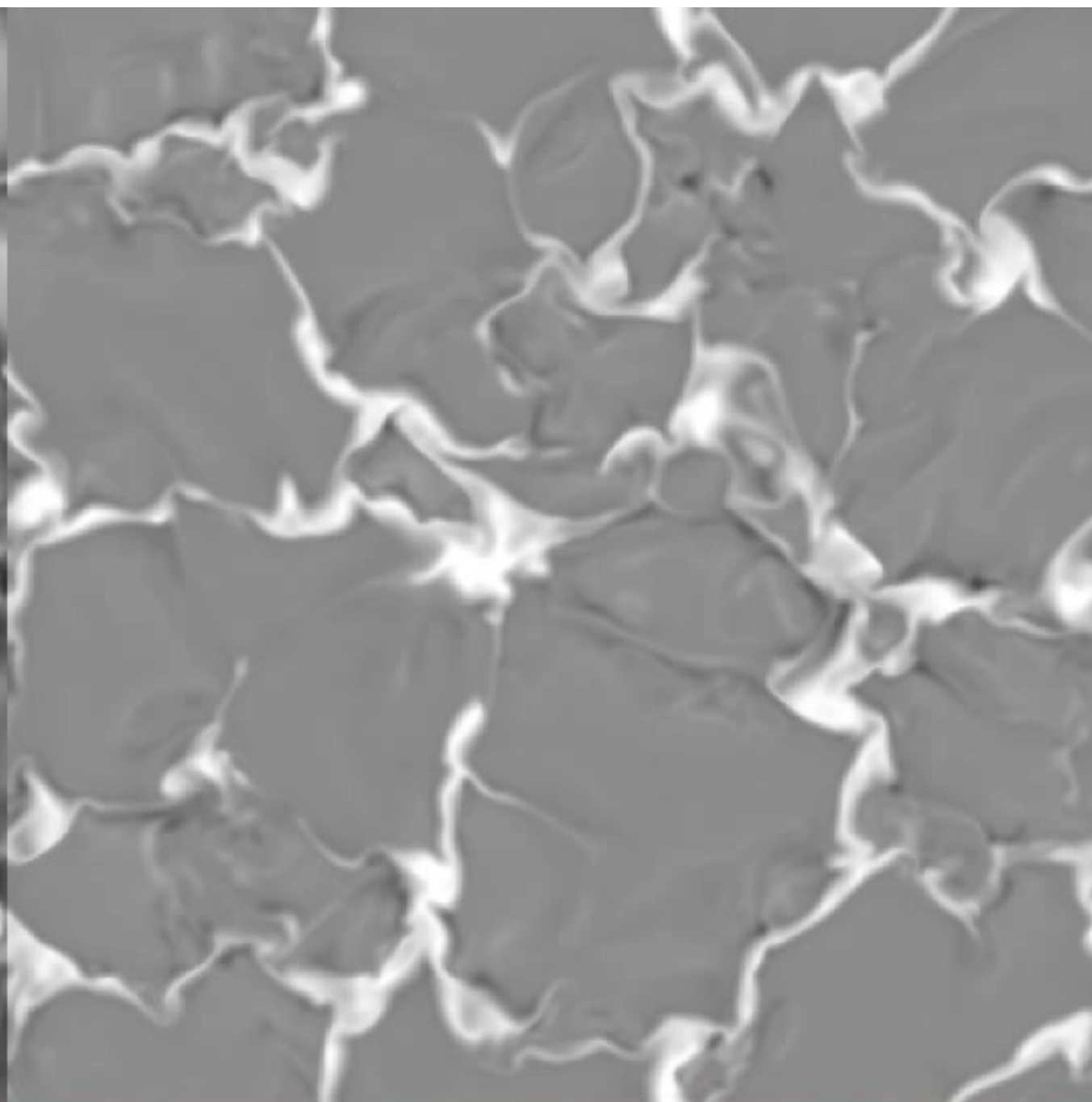
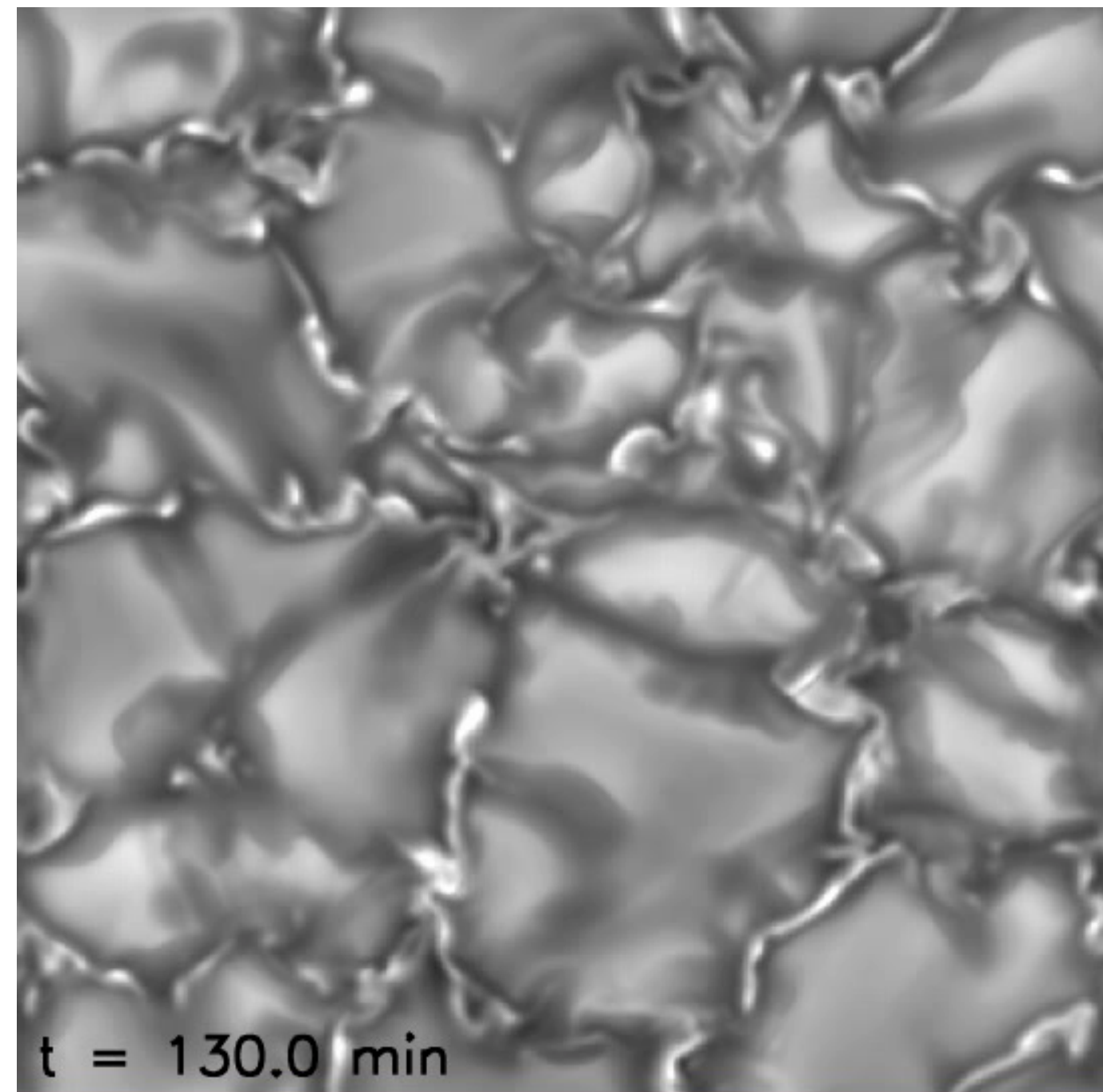
LTE with hydrogen molecule formation

6 most abundant species

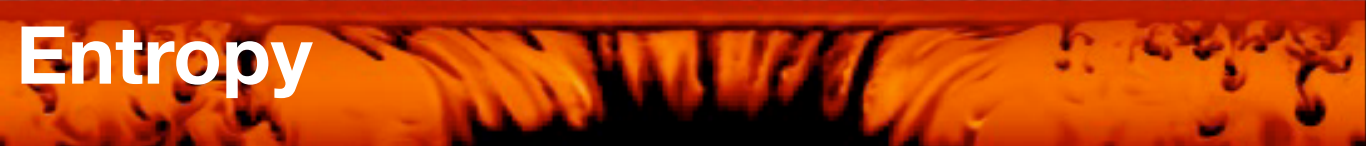
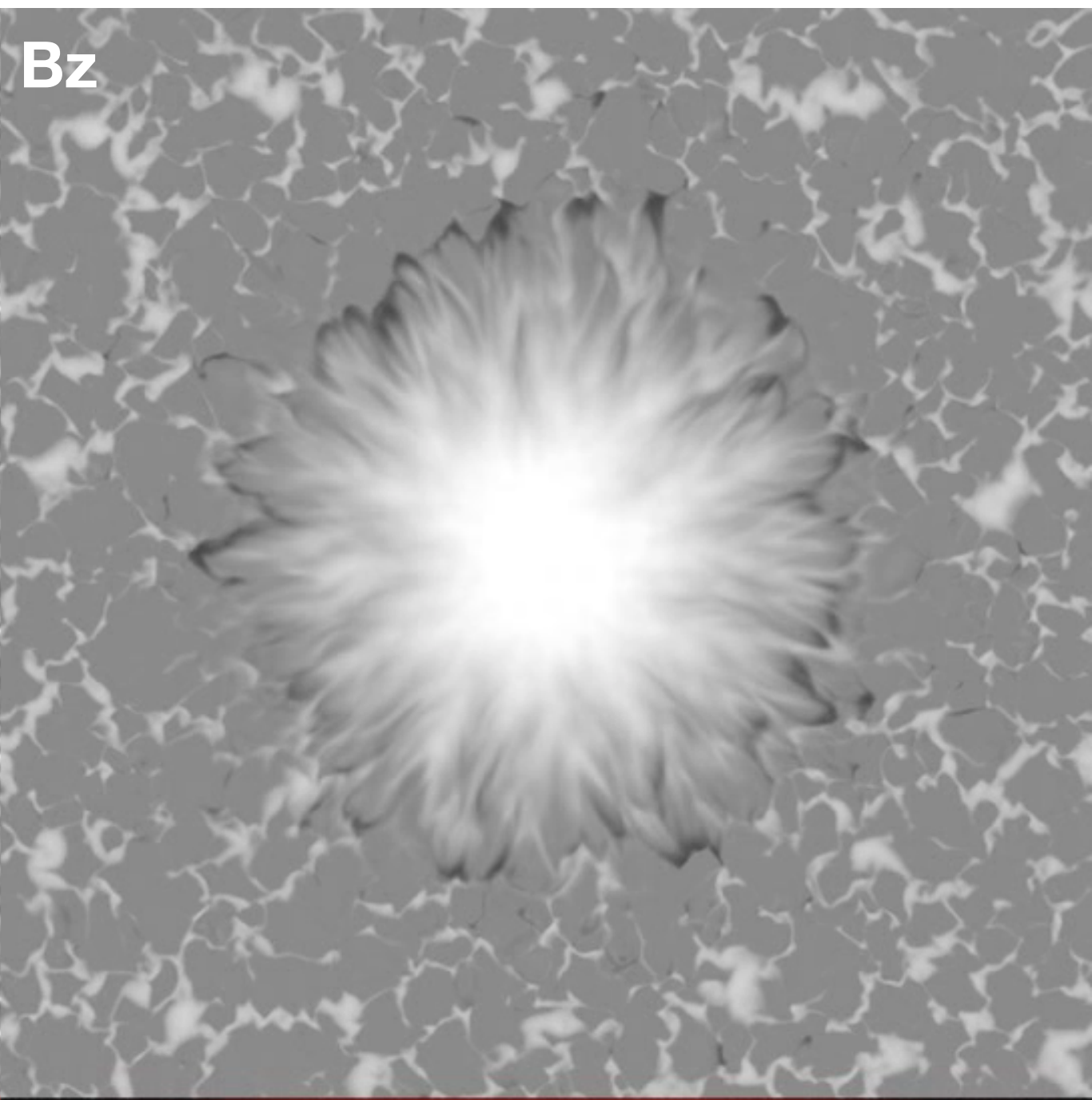
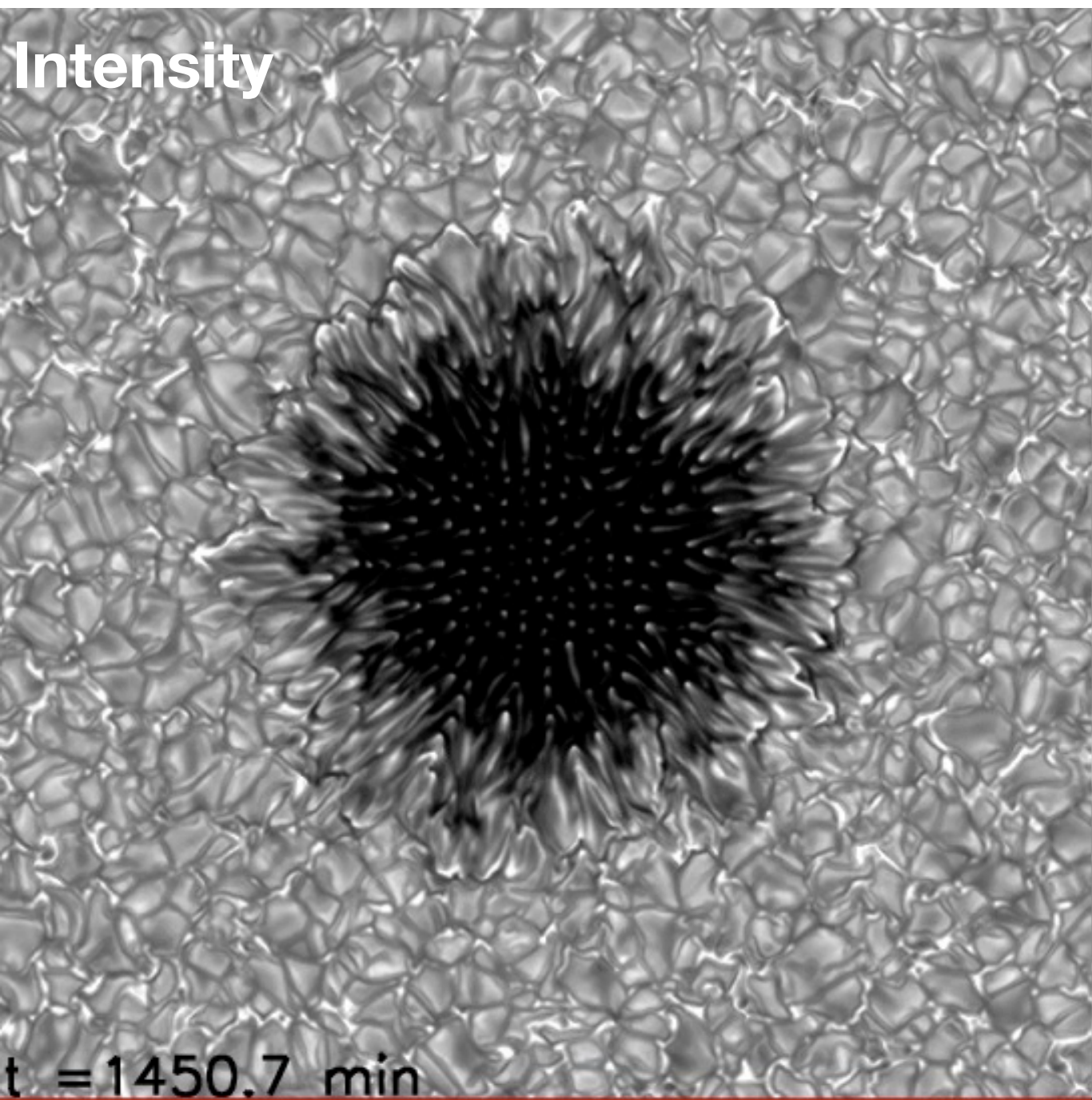
Interpolation from numerical table



RAMENS | 表面对流



RAMENS | 黒点

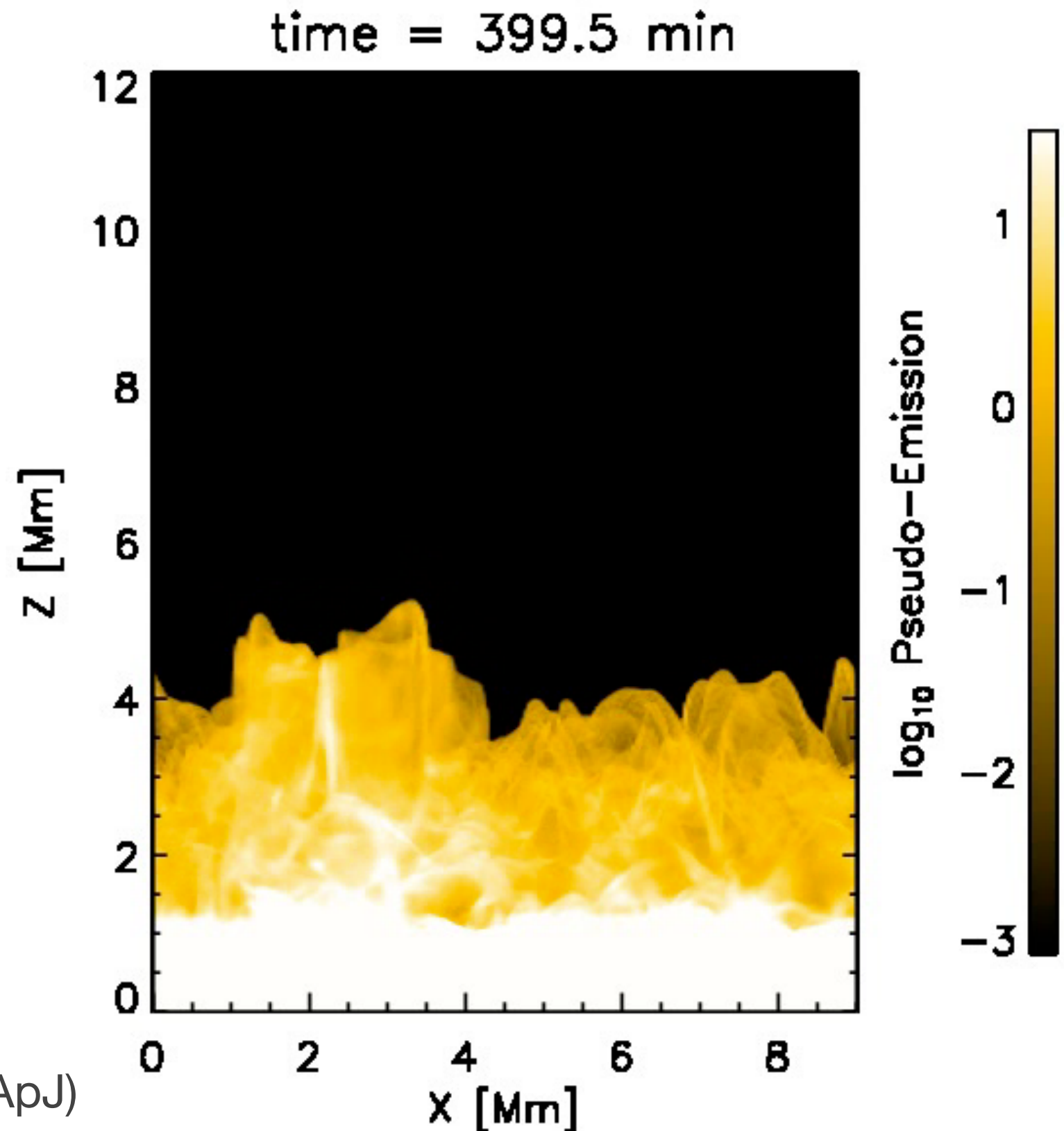


RAMENS | 彩層ジェット

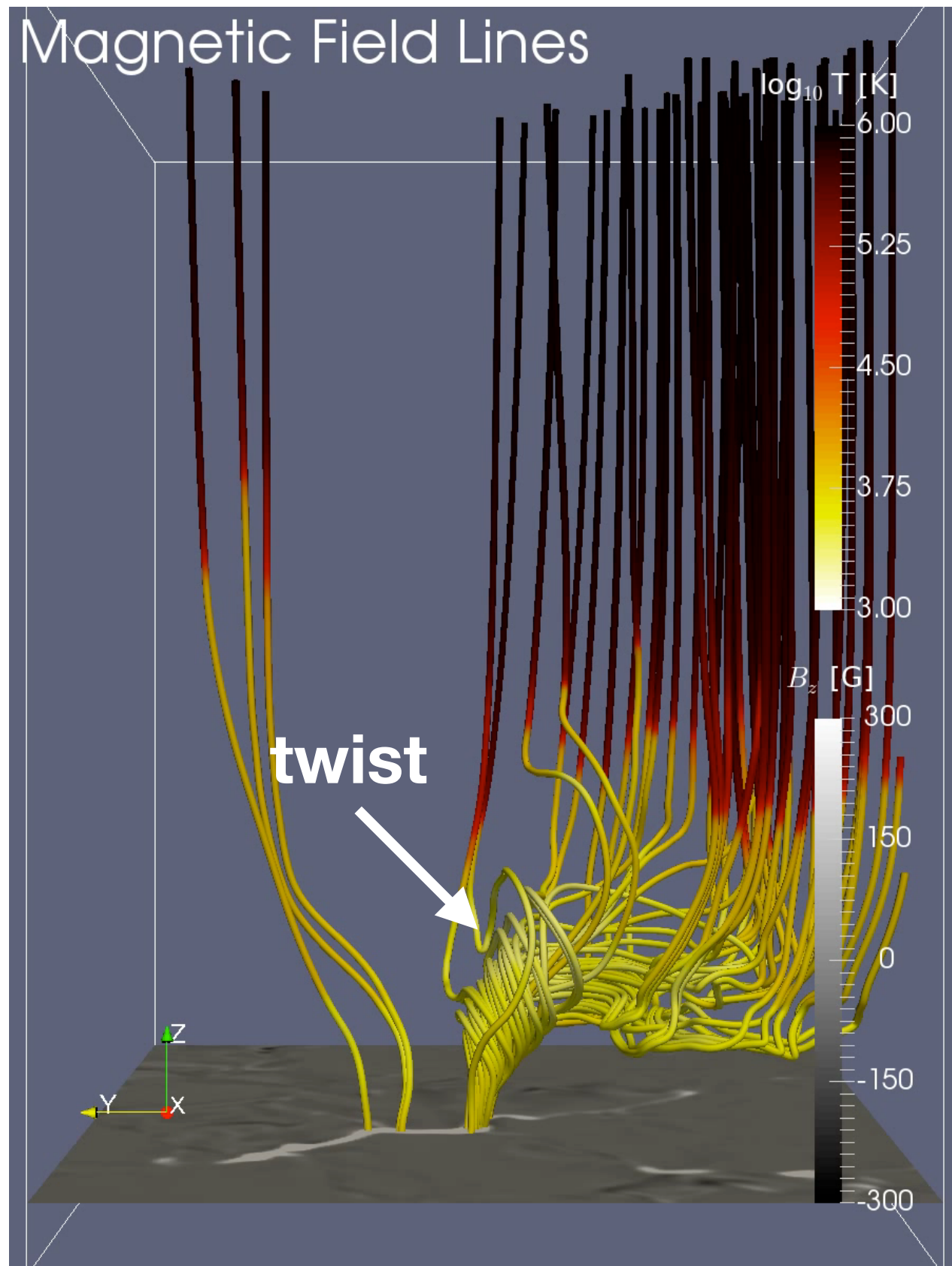
Right: optically thin emission with the Gaussian contribution function $G(T)$ that mimics the chromospheric line emission (~ 10 kK).

$$\epsilon = \int n_e n_H G(T) dl$$

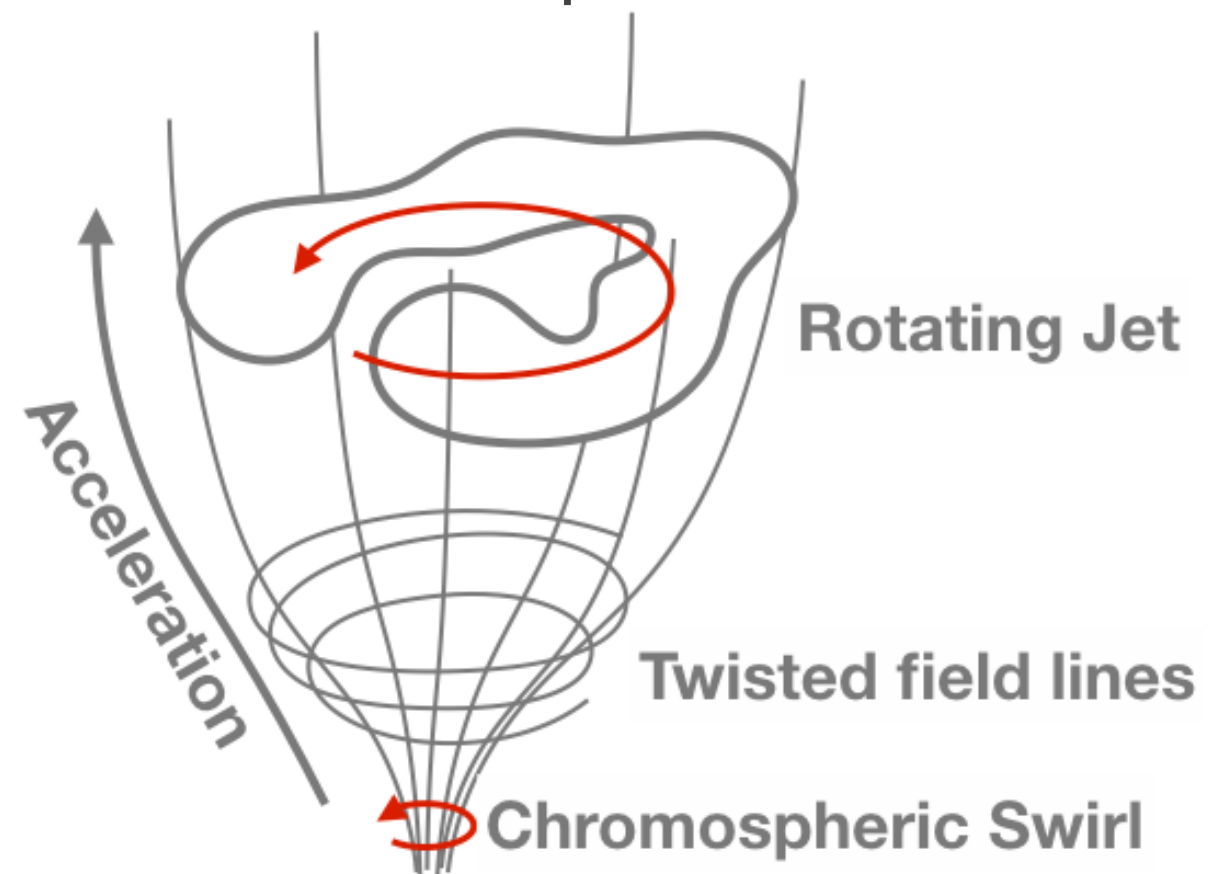
Iijima & Yokoyama (2017, ApJ)



RAMENS | 彩層ジェット

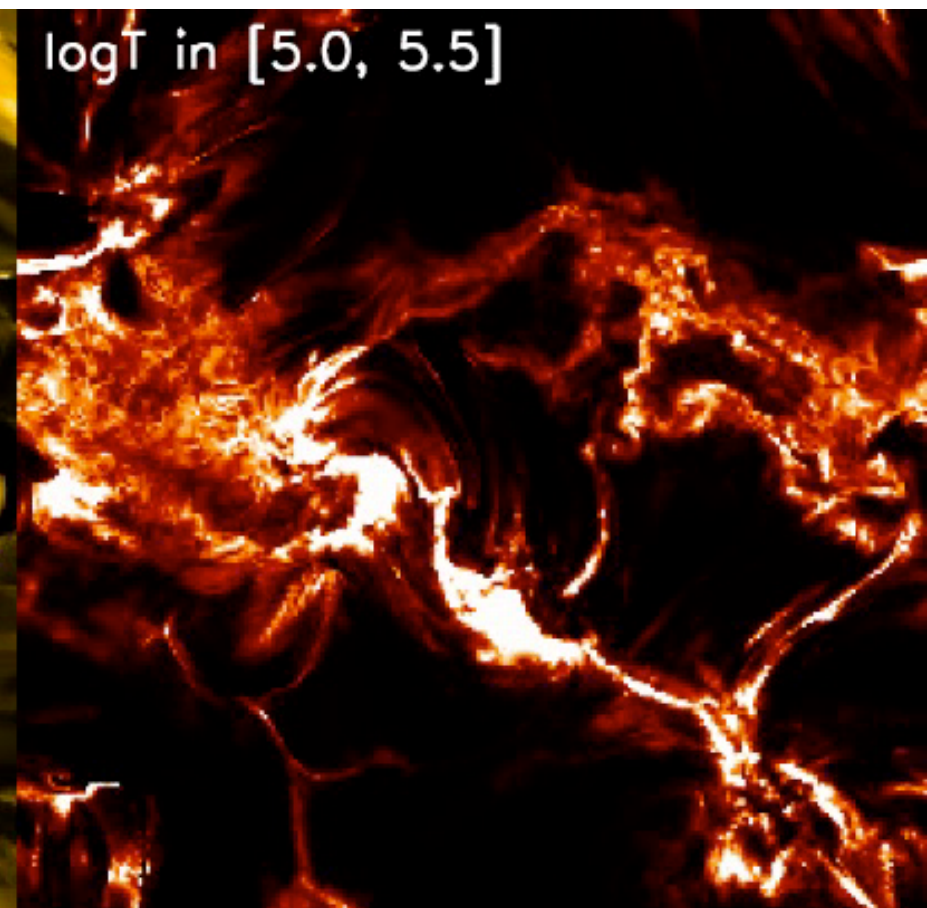
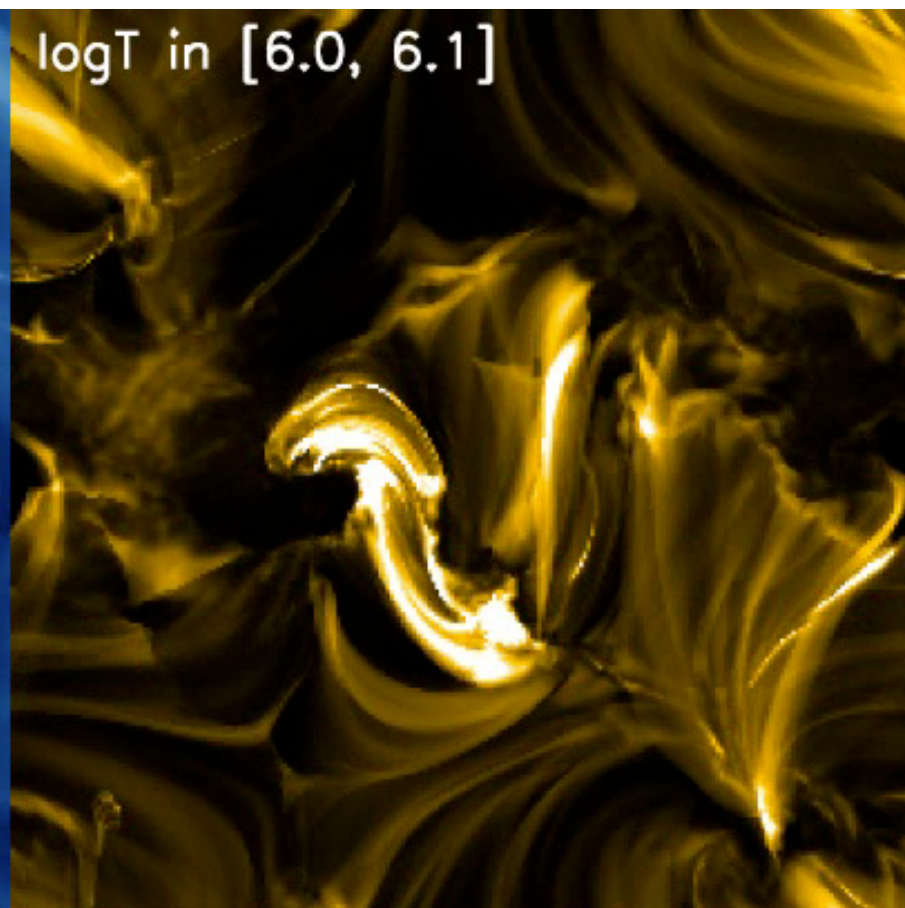
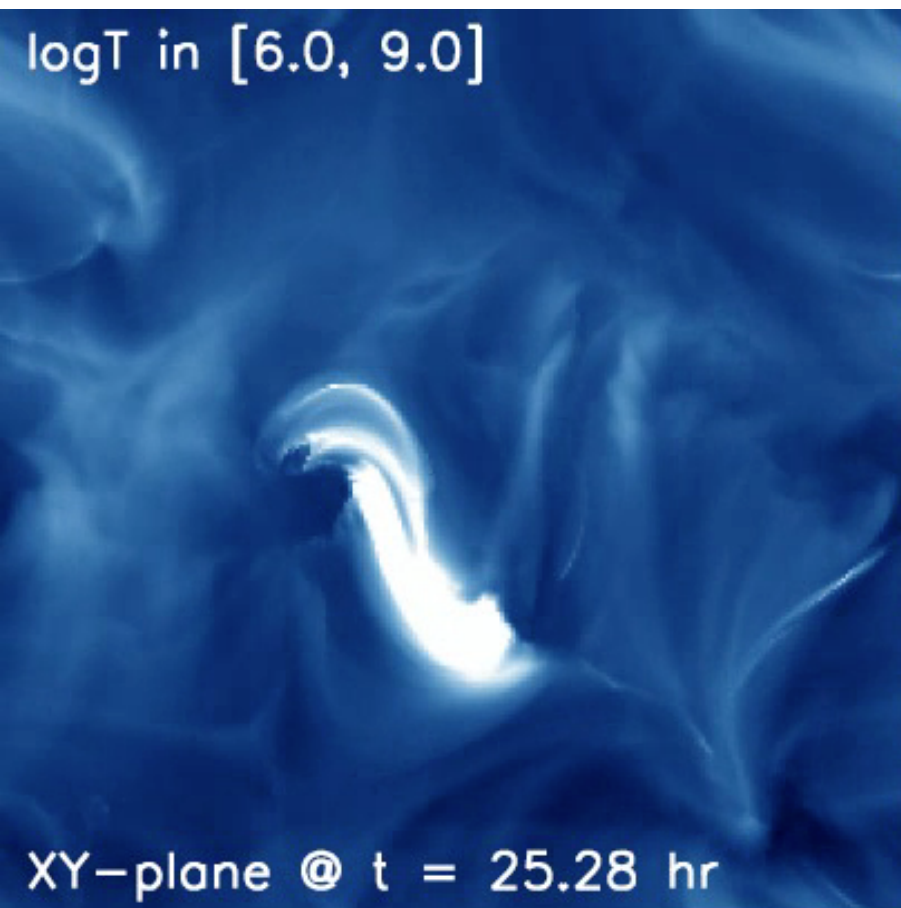


Torsional motion at the photosphere causes the twist in the chromosphere. When twist becomes sufficiently strong, it releases the free energy and accelerates the plasma.



Iijima & Yokoyama (2017, ApJ)

RAMENS | コロナ



アウトライン

- 太陽の大気構造を知るには
- フォワードモデリングによるアプローチ
- **今後の研究課題**

今後の研究課題

- 標準的な彩層・コロナモデルの確立
- 超粒状斑の起源
- 他の恒星への応用・検証範囲拡大

今後の研究課題

- 標準的な彩層・コロナモデルの確立
- 超粒状斑の起源
- 他の恒星への応用・検証範囲拡大

太陽大気の輻射磁気流体モデルの発展

1980年

1990

2000

2010

2020

20XX

三次元光球対流モデルの提案

三次元光球対流モデルの発達

恒星の光球への適用

磁場の効果の考慮

彩層・コロナへの拡張

水素非平衡電離の考慮

観測機器・診断手法の検証への利用

一般化オームの法則

各種高速化手法の発達

?

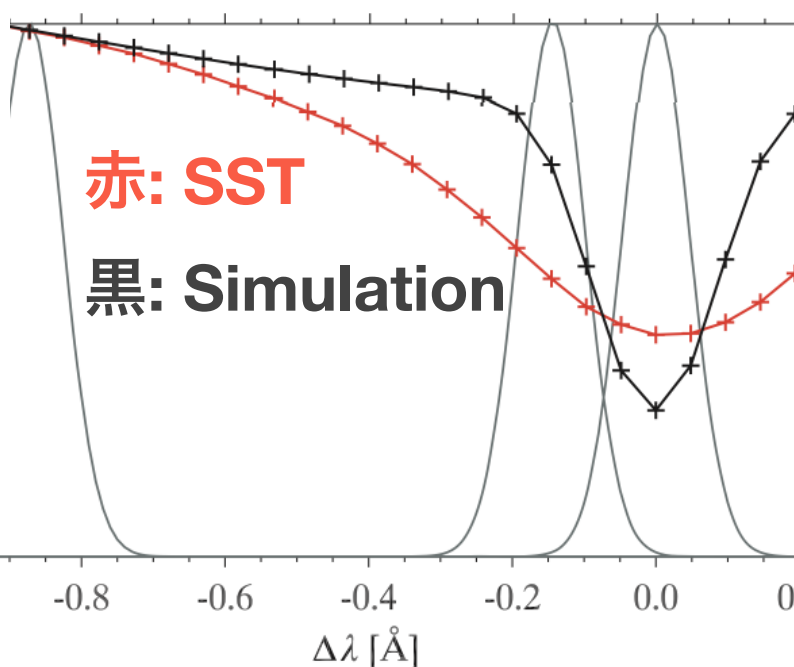
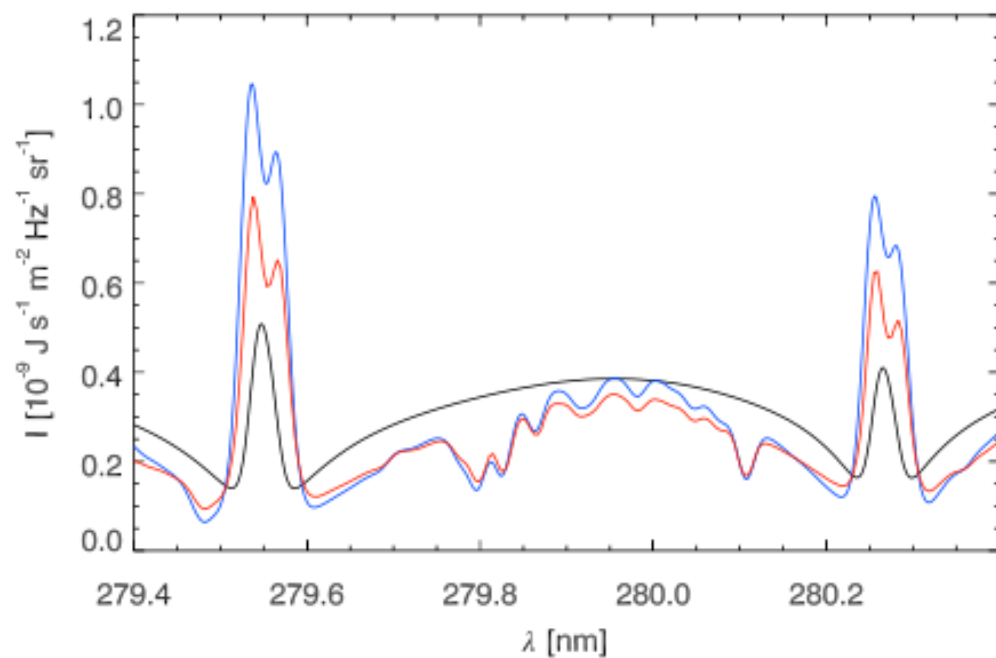
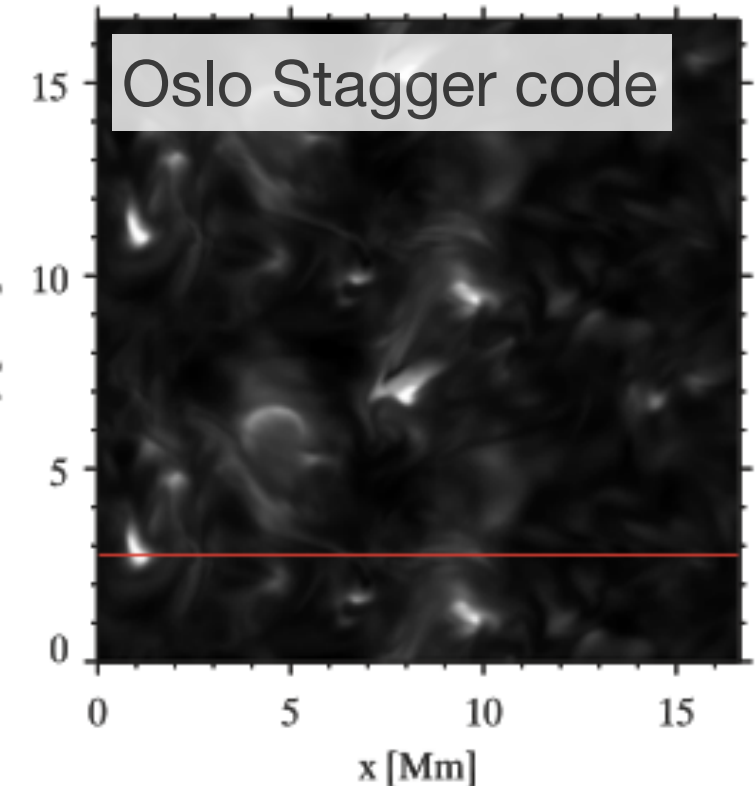
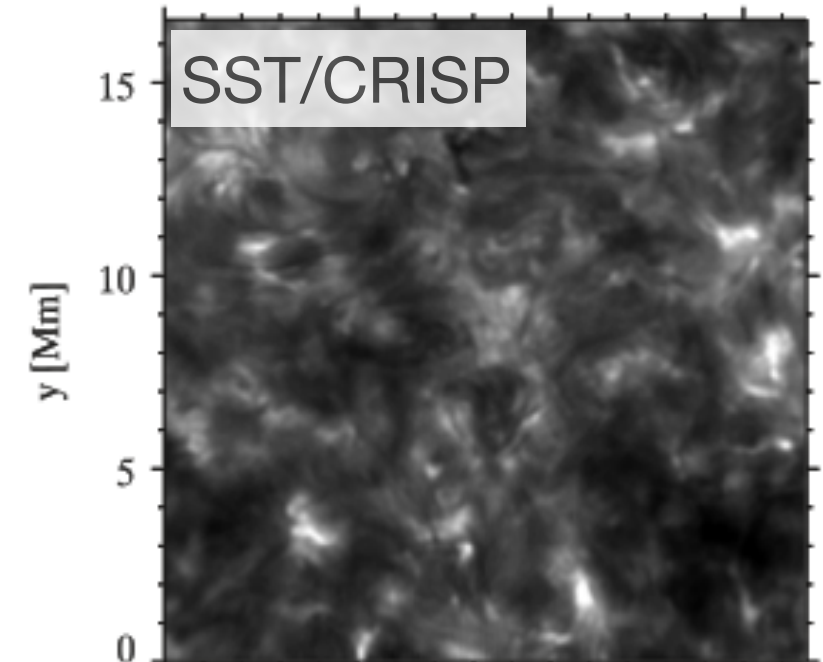
RMHDの課題 | 彩層の平均的輝線幅

Both brightness and Doppler width of Ca II 854.2 nm are smaller than observation.

Possible sources of discrepancy:

- (1) Lack of electron number density (EOS)
- (2) Lack of velocity amplitude (radiative cooling)
- (3) Lack of spatial resolution
- (4) Lack of elemental process (e.g., ambipolar diffusion)

Ca II 8542 Core
(Leenaarts et al., 2009)



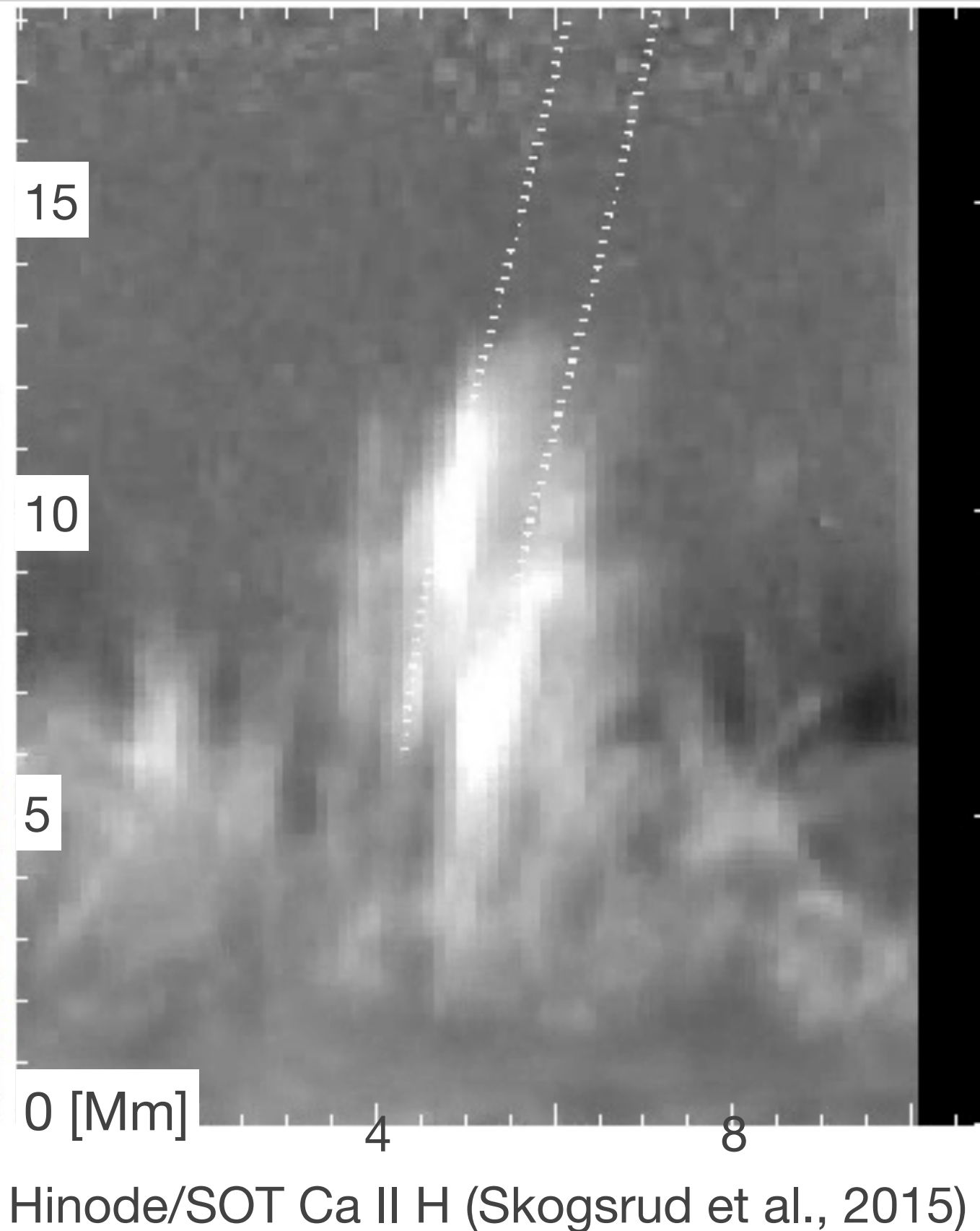
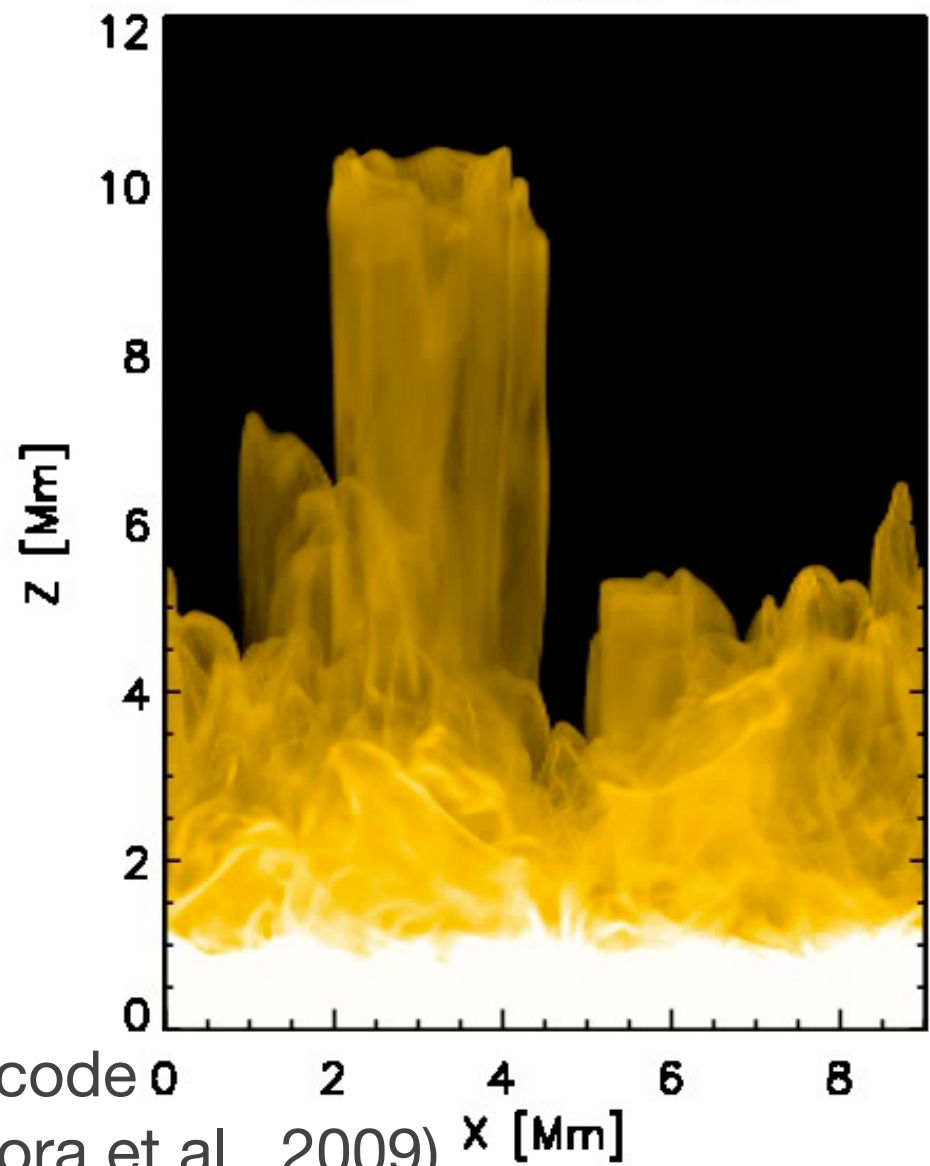
Ca II 854.2 nm
(Leenaarts et al., 2013)

RMHDの課題 | 彩層ジェット

Spicule: need off-limb synthesis

Fibrils: on-disk synthesis

RAMENS
(Iijima & Yokoyama, 2017)
time = 408.0 min



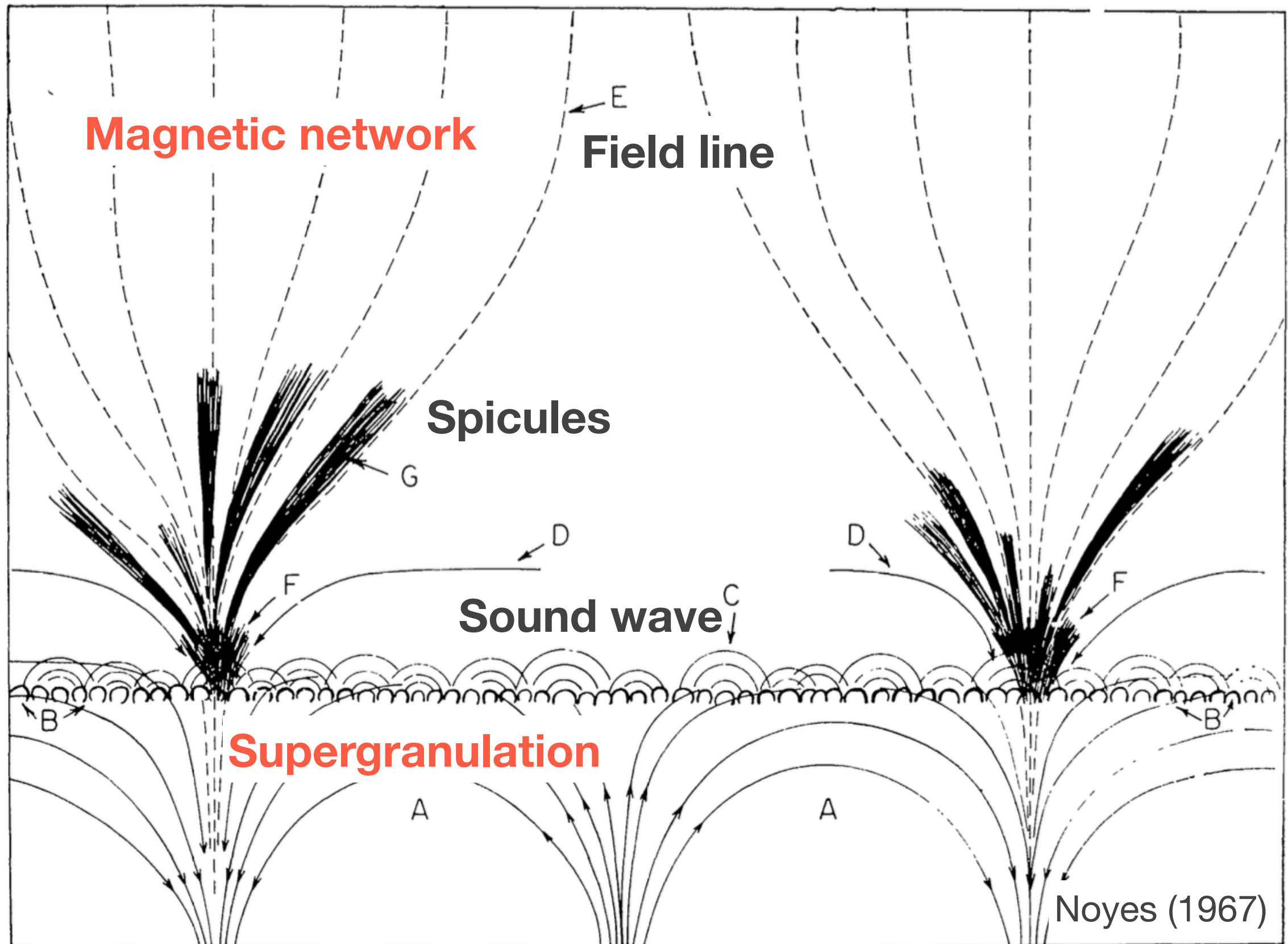
Oslo Stagger code 0
(Martinez-Sykora et al., 2009)

Hinode/SOT Ca II H (Skogsrud et al., 2015)

今後の研究課題

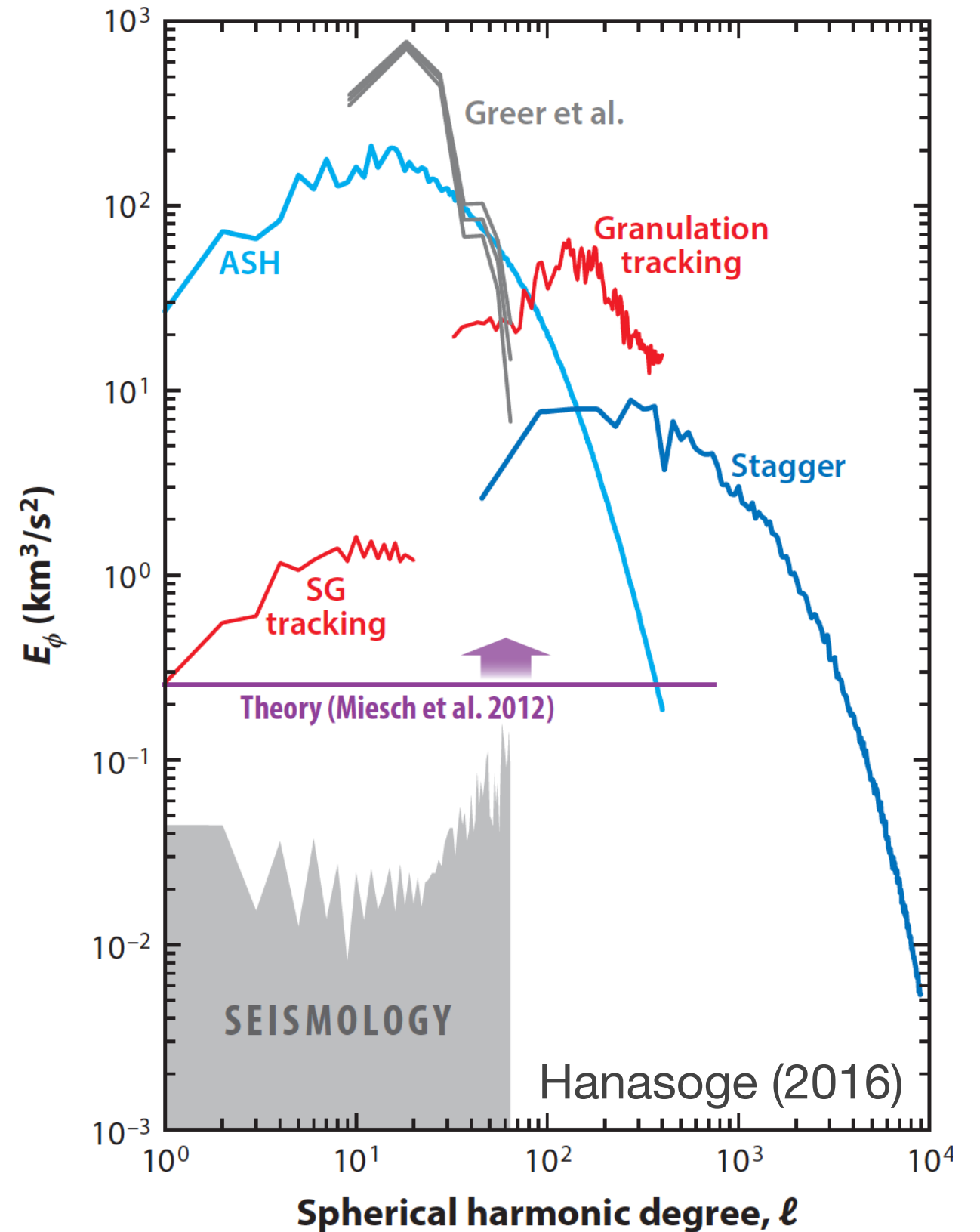
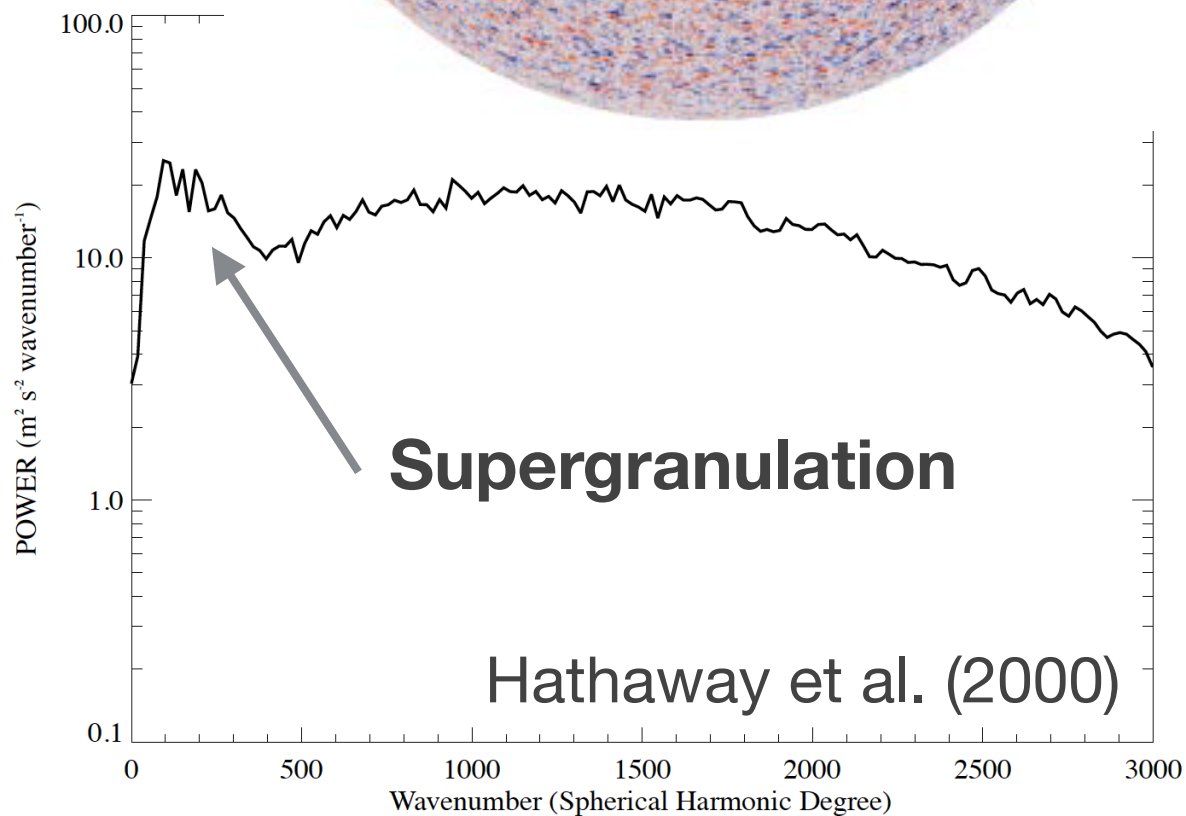
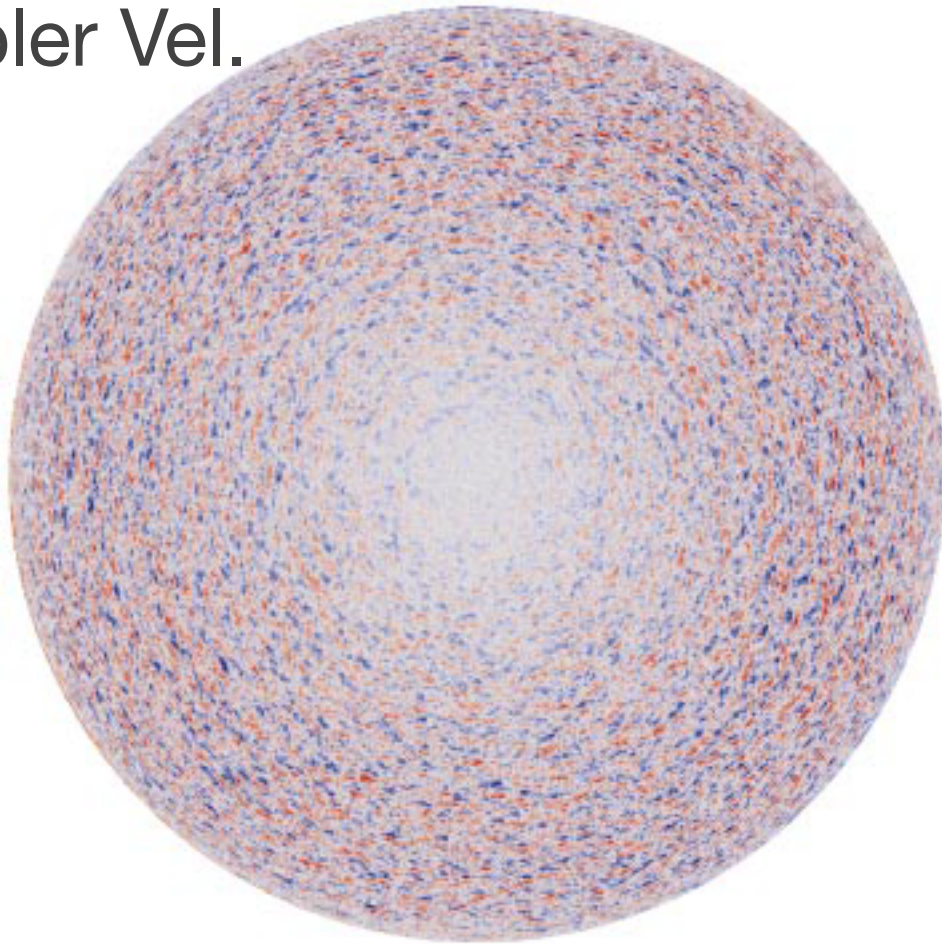
- 標準的な彩層・コロナモデルの確立
- **超粒状斑の起源**
- 他の恒星への応用・検証範囲拡大

RMHDの課題 | 超粒状斑



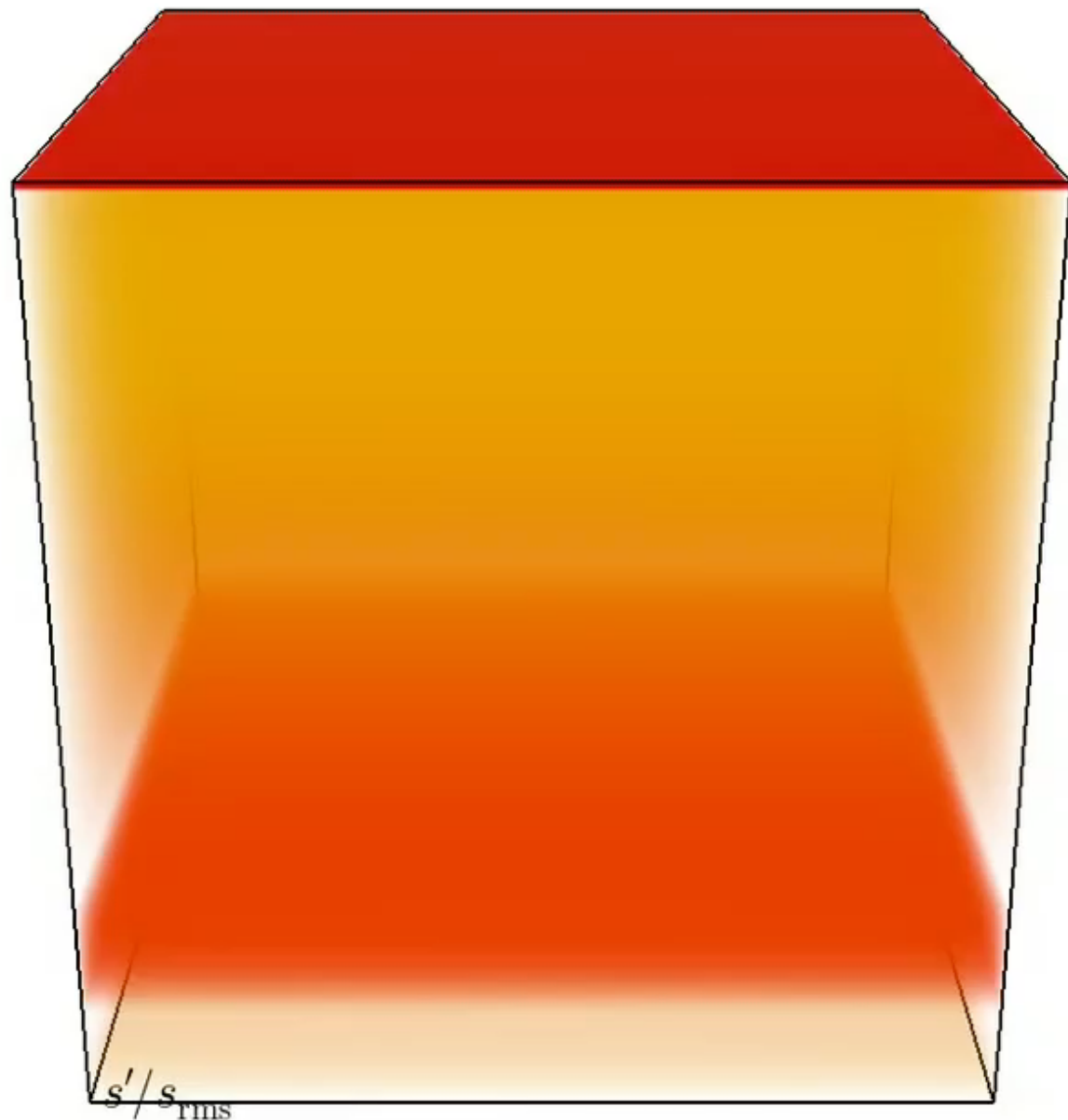
RMHDの課題 | 超粒状斑

Doppler Vel.



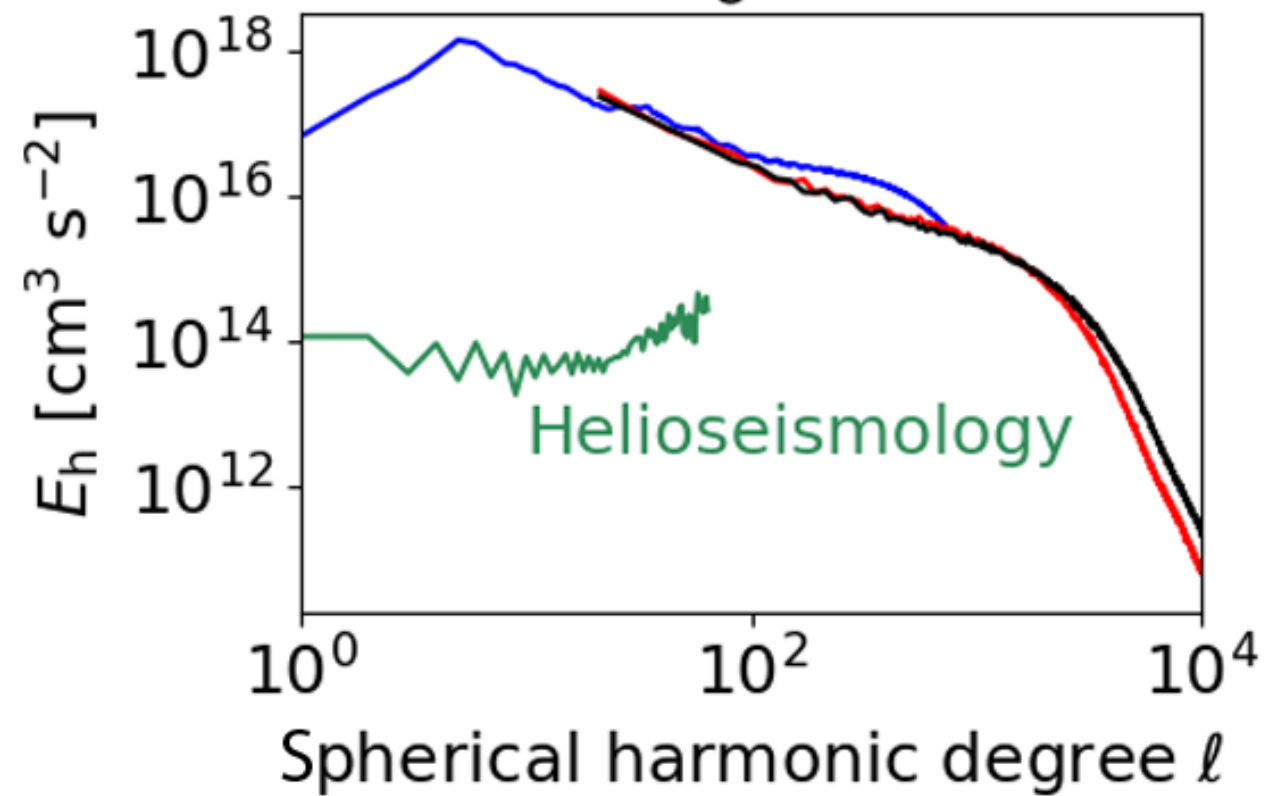
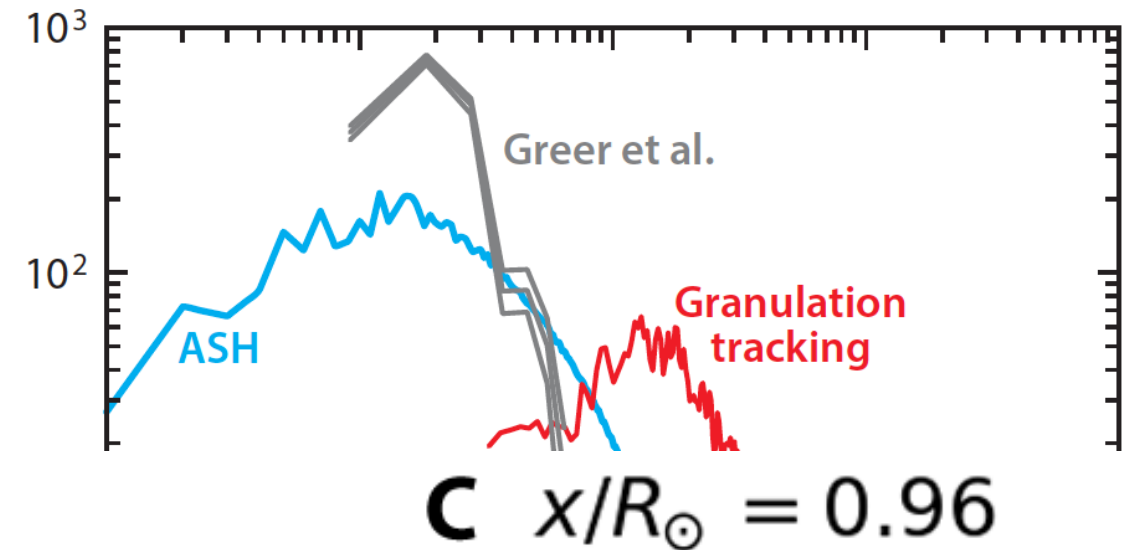
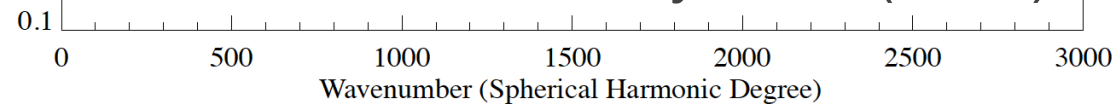
RMHDの課題 | 超粒状斑

Doppler Vel

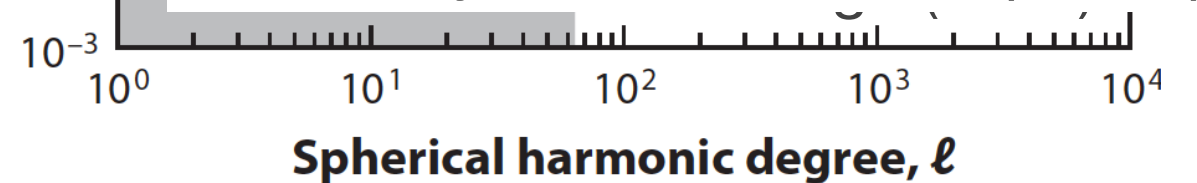


$t=0.00$ [day]

Hathaway et al. (2000)



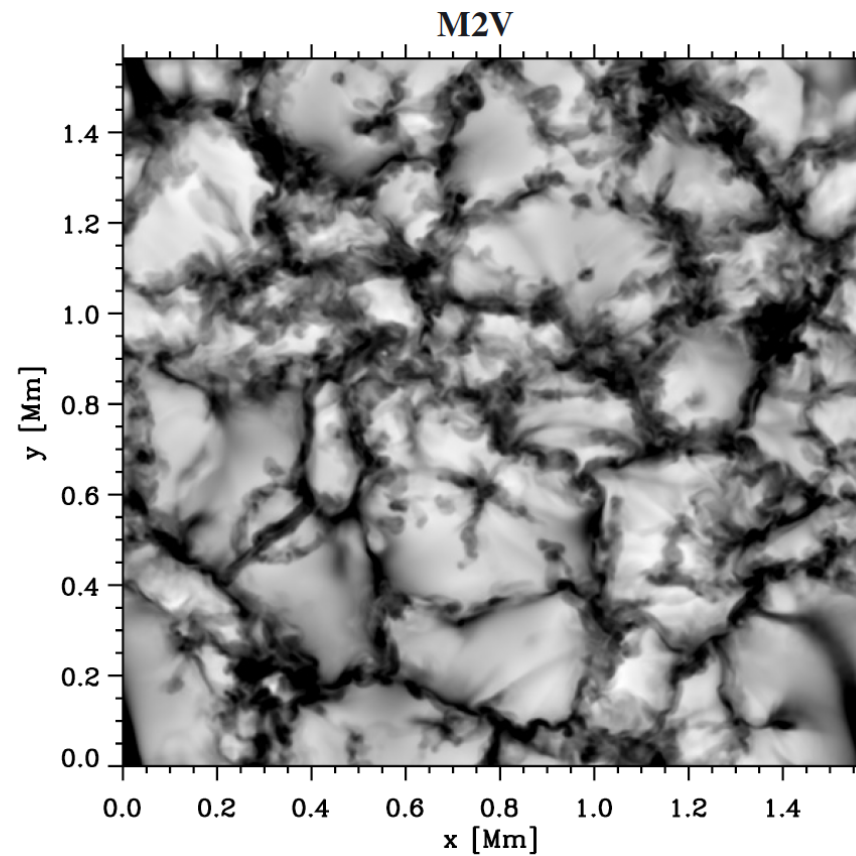
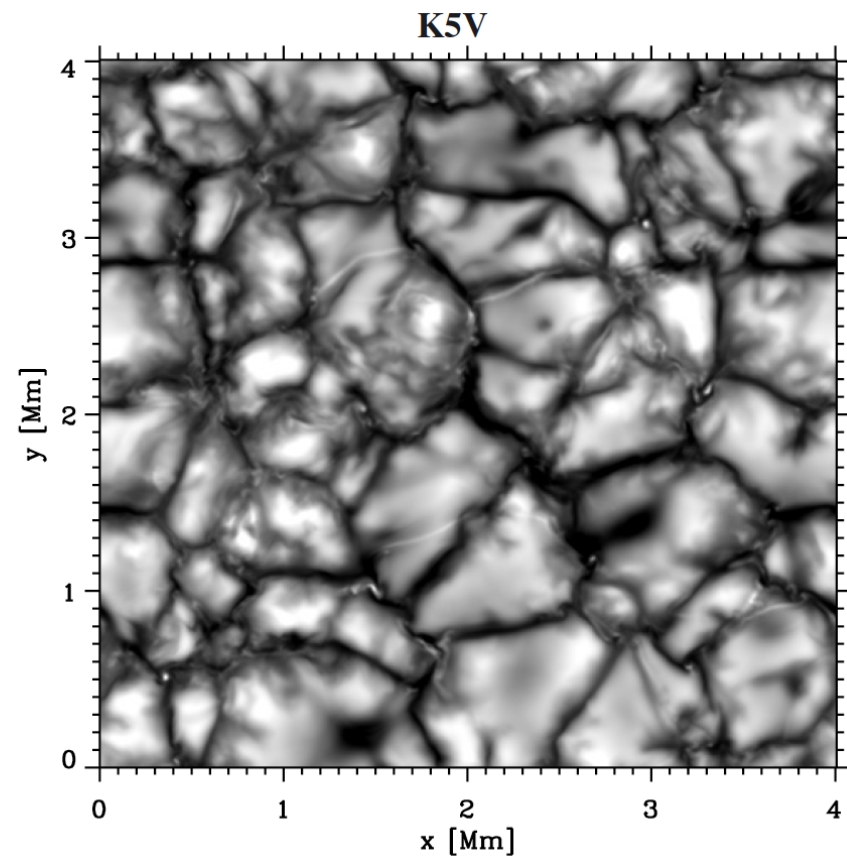
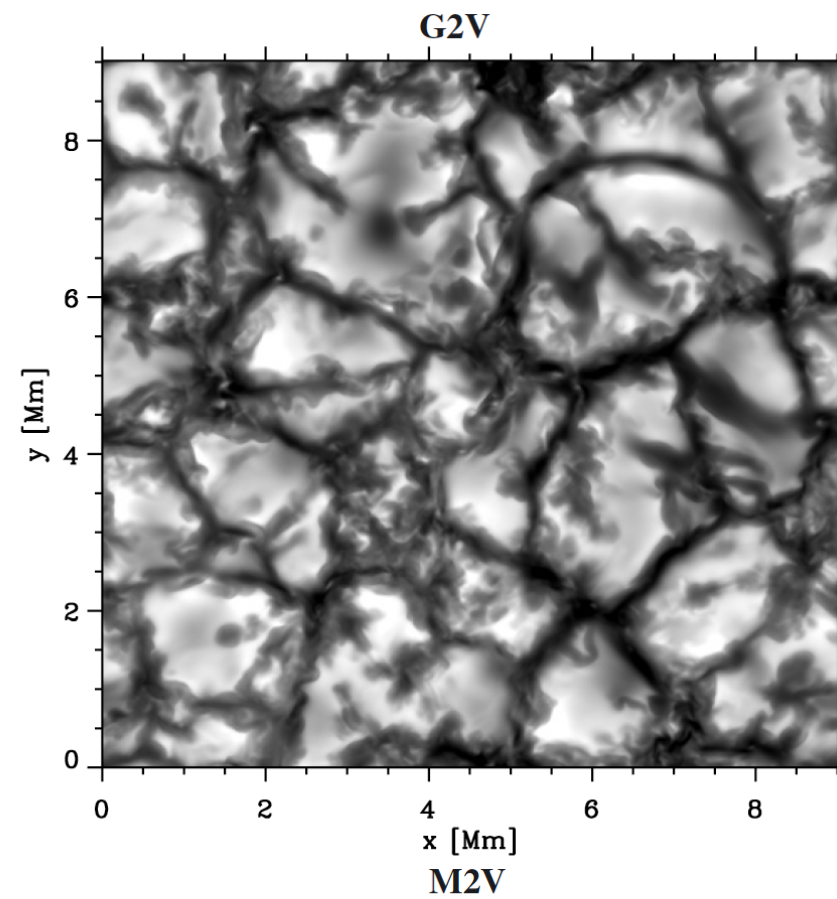
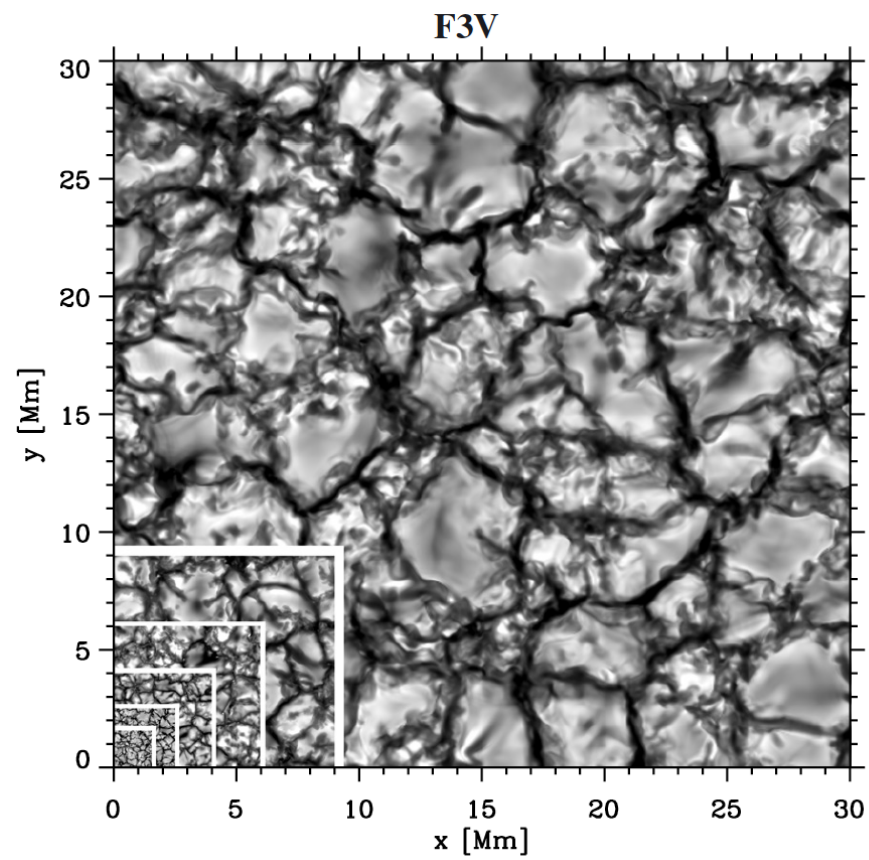
Hotta, Iijima & Kusano (2019)



今後の研究課題

- 標準的な彩層・コロナモデルの確立
- 超粒状斑の起源
- **他の恒星への応用・検証範囲拡大**

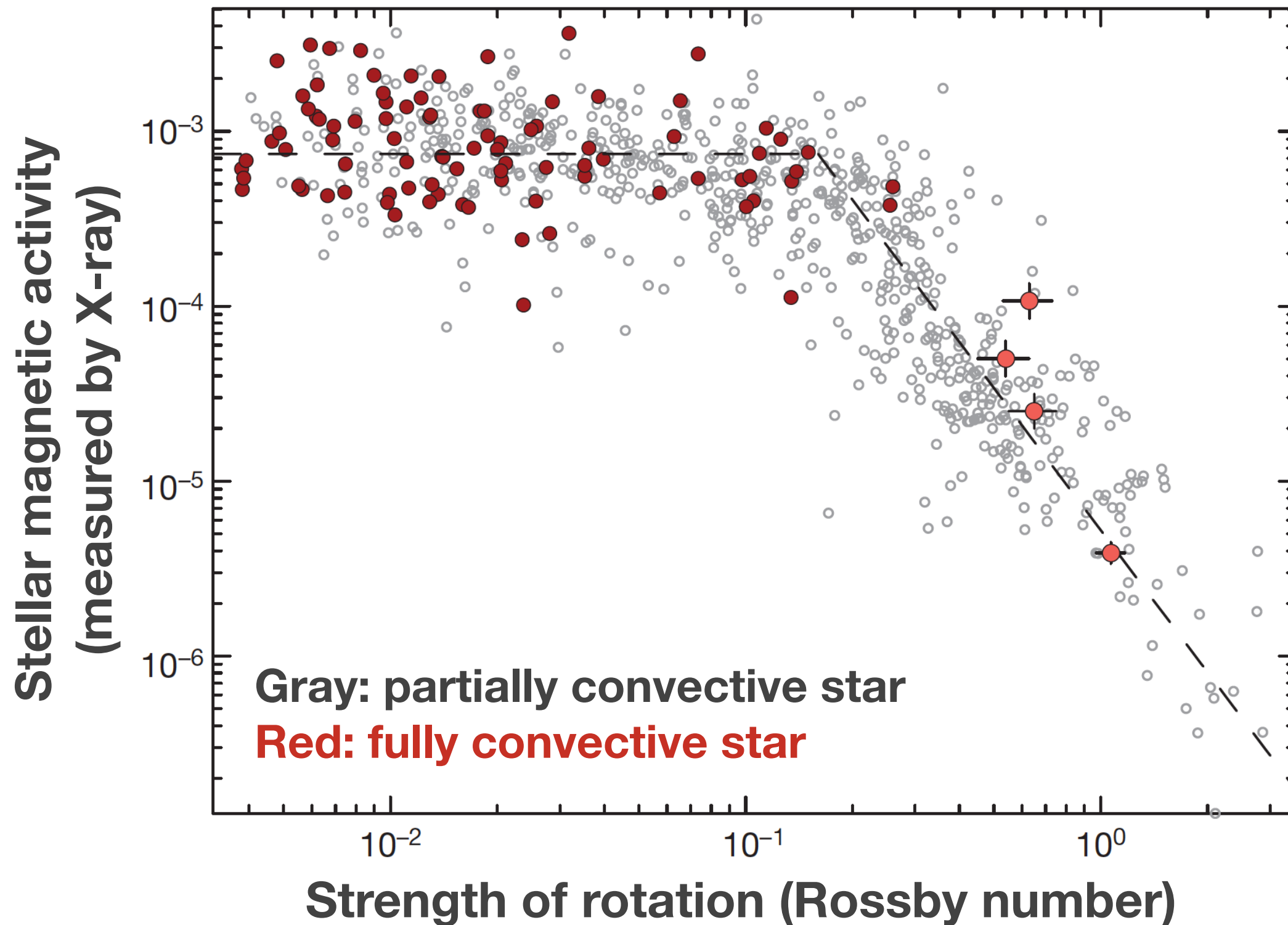
光球RMHD計算の他の恒星への適用



Beeck et al. (2013a)

恒星の自転とX線強度

Wright & Drake (2016)



RMHDの課題 | Ad-hocな取り扱いの除去

Ly- α case:

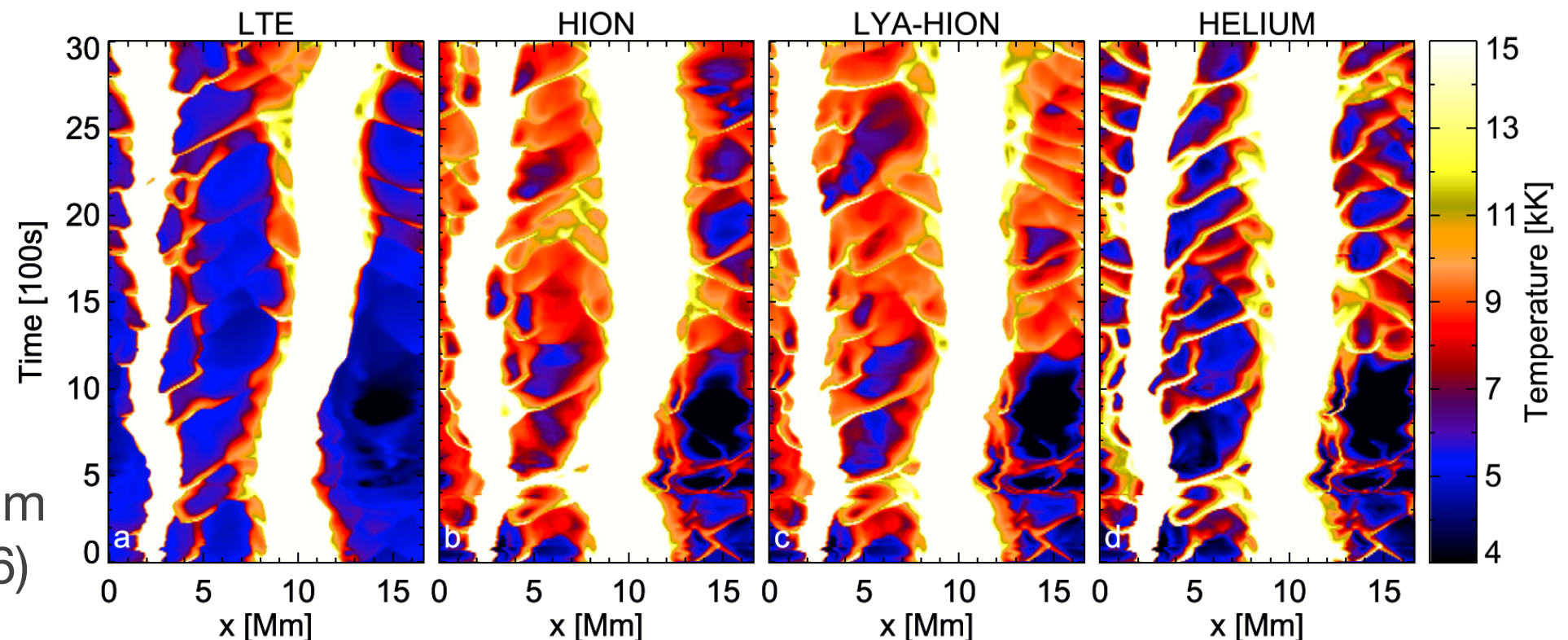
$$R_{21} = A_{21}E(\tau),$$

$$\eta_{\text{Ly}\alpha} = \frac{h\nu_0}{4\pi}n_2R_{21}, \quad \chi_{\text{Ly}\alpha} = \frac{h\nu_0}{4\pi}n_1B_{12}\phi,$$



Solve 3D RTE from η and χ

$$R_{12} = B_{12}J_{\text{Ly}\alpha}. \quad Q_{\text{Ly}\alpha} = h\nu_0(n_1R_{12} - n_2R_{21}),$$



RMHDの課題 | Ad-hocな取り扱いの除去

Ly- α case:

$$R_{21} = A_{21}E(\tau), \quad \leftarrow \text{1D assumption.}$$

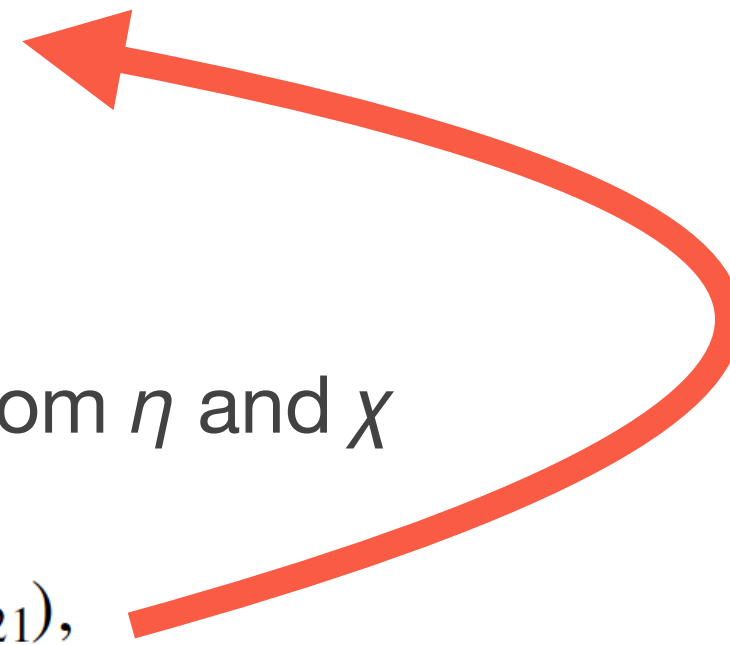
$$\eta_{\text{Ly}\alpha} = \frac{h\nu_0}{4\pi}n_2R_{21}, \quad \chi_{\text{Ly}\alpha} = \frac{h\nu_0}{4\pi}n_1B_{12}\phi,$$



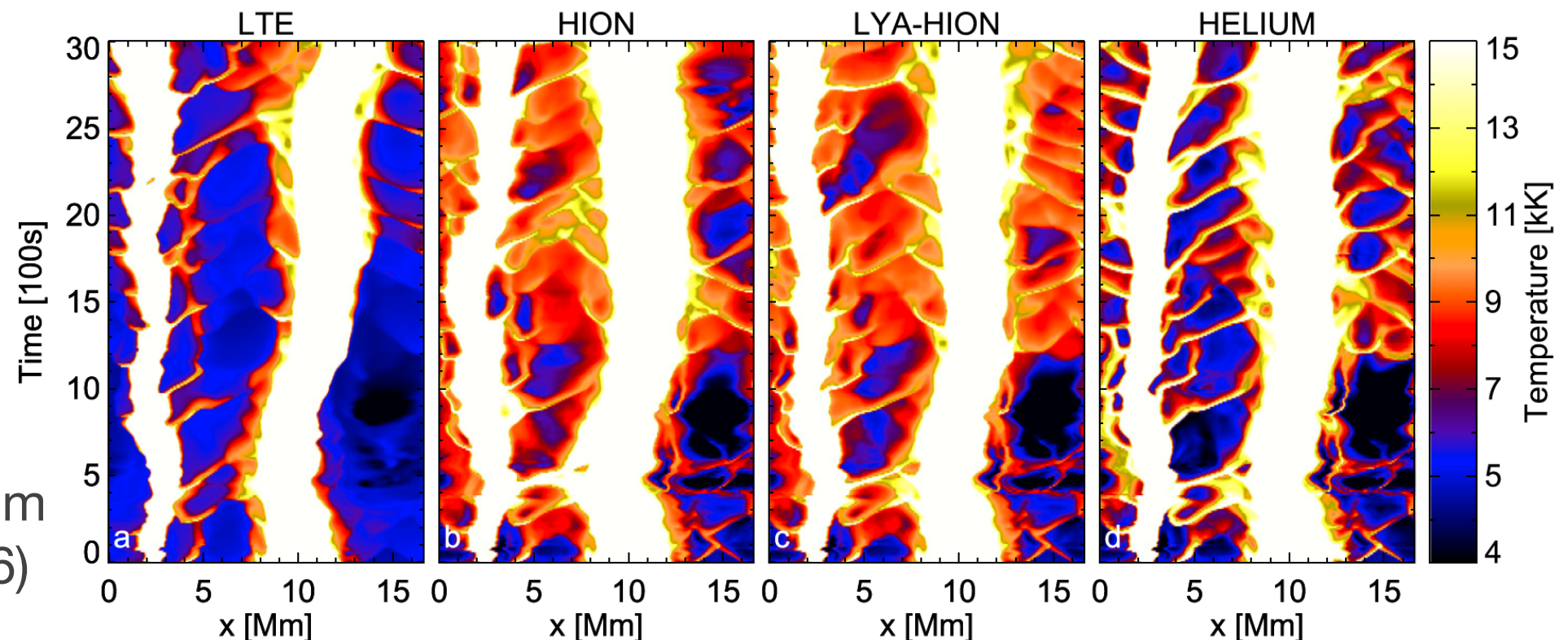
Solve 3D RTE from η and χ

$$R_{12} = B_{12}J_{\text{Ly}\alpha}. \quad Q_{\text{Ly}\alpha} = h\nu_0(n_1R_{12} - n_2R_{21}),$$

Feedback is necessary.

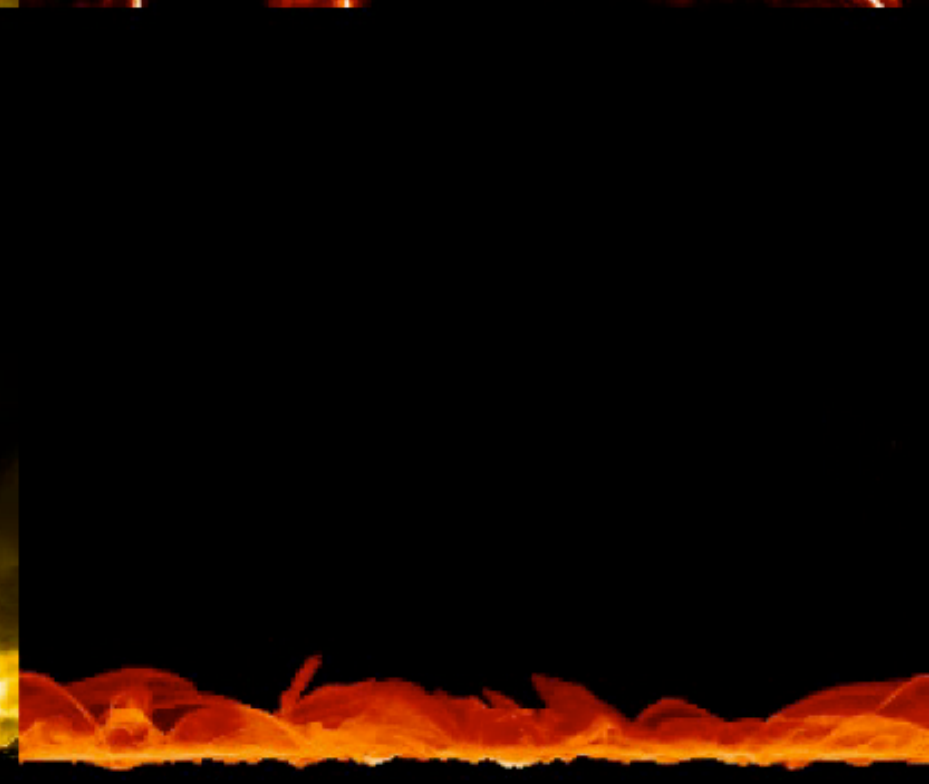
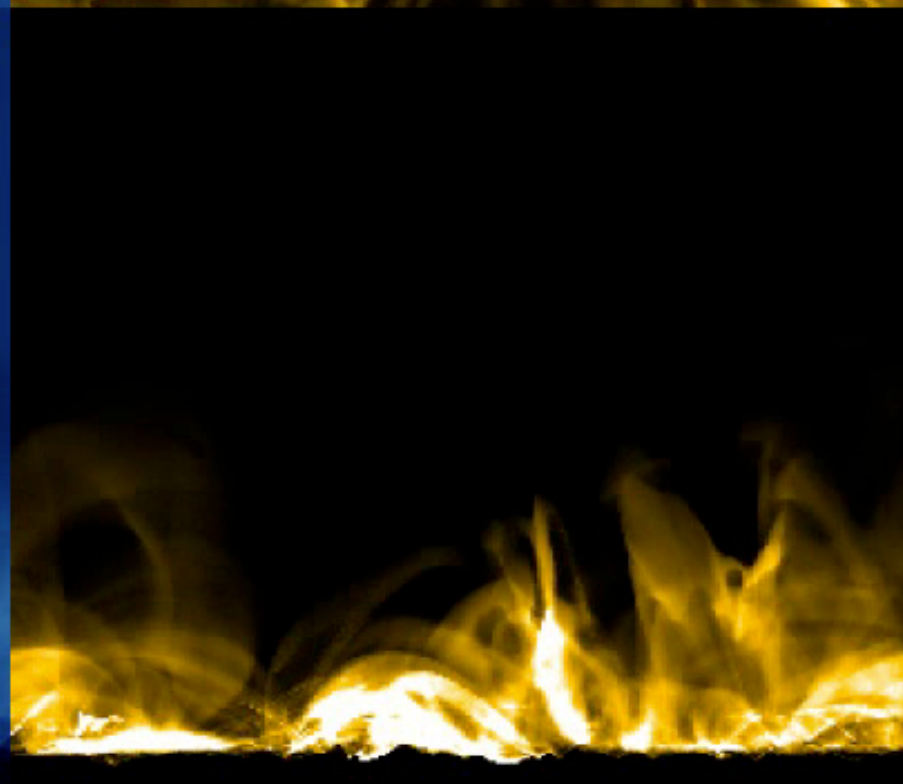
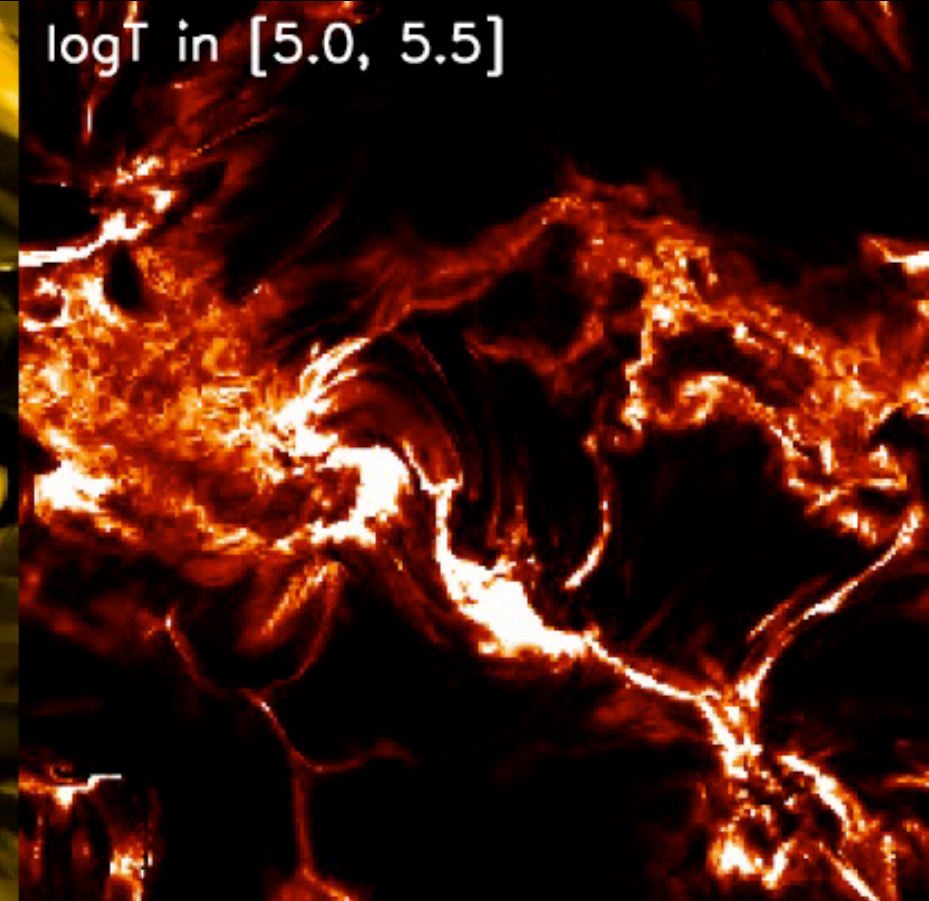
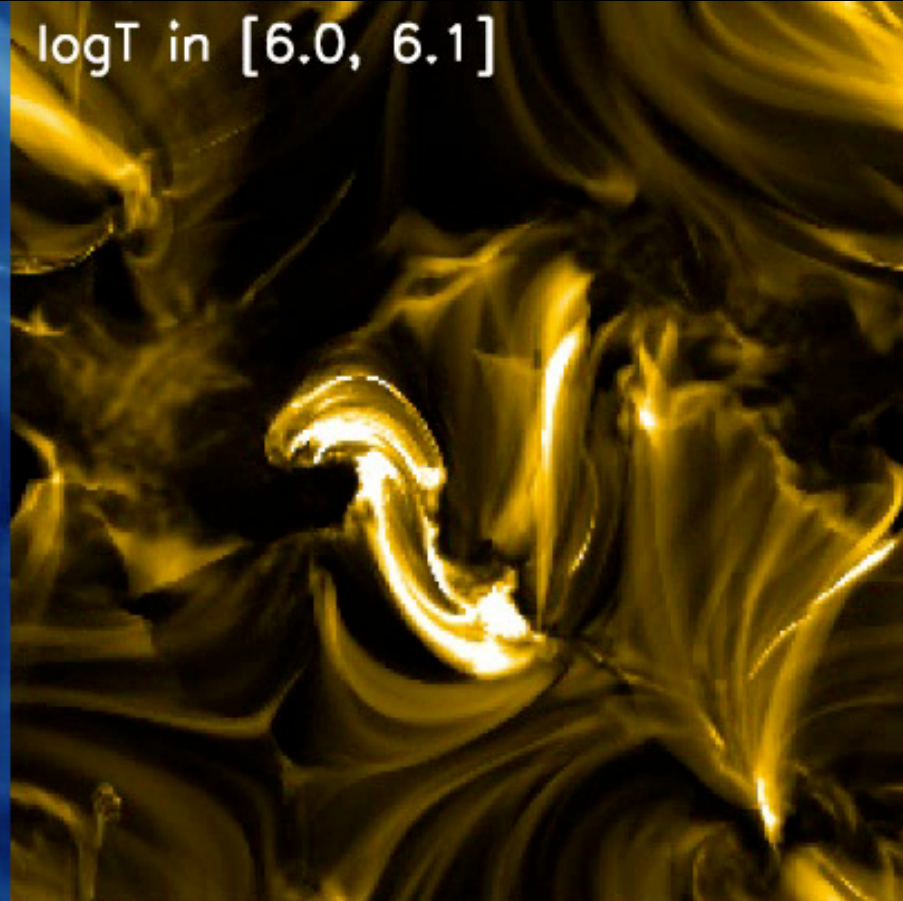
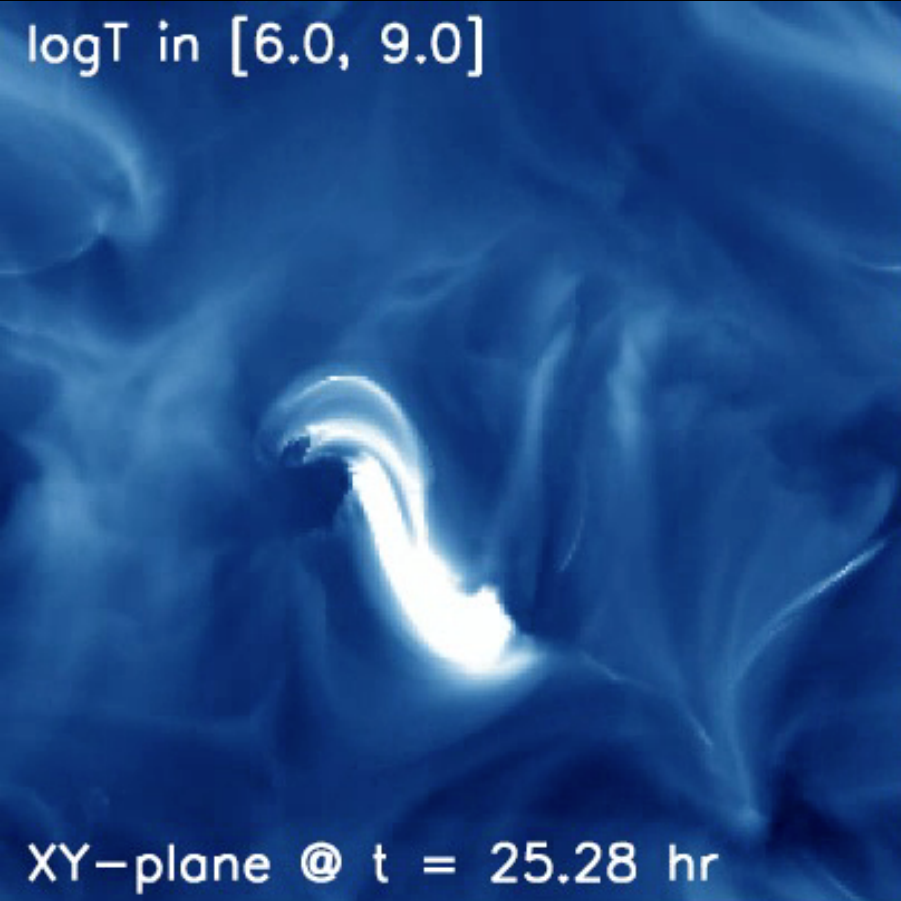


Temp. at $Z = 2.6$ Mm
Golding et al. (2016)



まとめ

- 太陽彩層・コロナの輻射磁気流体モデルはきれいな絵が出て楽しいです。
- きれいな絵が出るだけじゃなくて、いろいろ応用もあります。
- 課題もたくさんあります。



貴重なお時間ありがとうございました。研究楽しんで下さい。